

การประยุกต์ใช้นิวรอลเน็ตเวิร์กเพื่อจำแนกลายวงจรบนแผ่นวงจรพิมพ์
Application of a Neural Network for Classification of PCB's



ยุทธชัย นิลแพทย์
Yutthachai Nilpat

๑

เลขหมู่	QA76.87 ย63 2544 ก.2.
Bib Key	211925
	1 1 0 0 2544

วิทยานิพนธ์วิศวกรรมศาสตรมหาบัณฑิต สาขาวิชาวิศวกรรมไฟฟ้า

มหาวิทยาลัยสงขลานครินทร์

Master of Engineering Thesis in Electrical Engineering

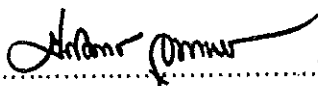
Prince of Songkla University

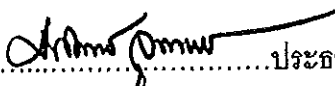
2544

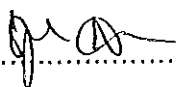
ชื่อวิทยานิพนธ์ การประยุกต์ใช้นิวรอลเน็ตเวิร์กเพื่อจำแนกลายวงจรบนแผ่นวงจรพิมพ์
ผู้เขียน นายยุทธชัย นิลแพทย์
สาขาวิชา วิศวกรรมไฟฟ้า

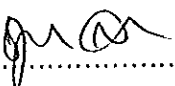
คณะกรรมการที่ปรึกษา

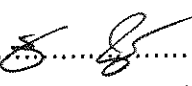
คณะกรรมการสอบ

.....ประธานกรรมการ
(อาจารย์ปราไพทย์ จุฑาทพร)

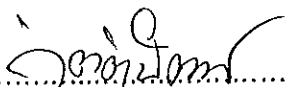
.....ประธานกรรมการ
(อาจารย์ปราไพทย์ จุฑาทพร)

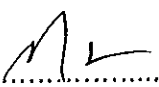
.....กรรมการ
(ผู้ช่วยศาสตราจารย์ ดร.ชูศักดิ์ ลิ้มสกุล)

.....กรรมการ
(ผู้ช่วยศาสตราจารย์ ดร.ชูศักดิ์ ลิ้มสกุล)


.....กรรมการ
(ผู้ช่วยศาสตราจารย์ เลียง คูบุรต์ถ์)

.....กรรมการ
(ผู้ช่วยศาสตราจารย์ เลียง คูบุรต์ถ์)

.....กรรมการ
(ผู้ช่วยศาสตราจารย์ ดร.กิตติพัฒน์ ตันตระกูลโรจน์)

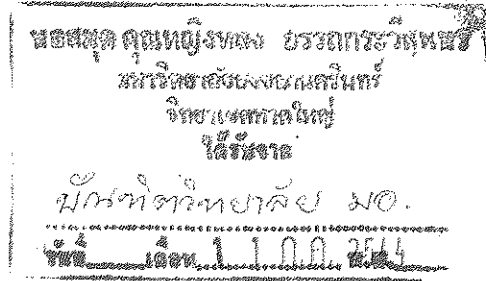
.....กรรมการ
(อาจารย์ วีระพันธุ์ มุสิกสาร)

บัณฑิตวิทยาลัย มหาวิทยาลัยสงขลานครินทร์ อนุมัติให้รับวิทยานิพนธ์ฉบับนี้เป็นส่วน
หนึ่งของการศึกษาตามหลักสูตรวิศวกรรมศาสตรมหาบัณฑิต สาขาวิชาวิศวกรรมไฟฟ้า


.....
(รองศาสตราจารย์ ดร.ปิติ ทฤษฎีคุณ)

คณบดีบัณฑิตวิทยาลัย

ชื่อวิทยานิพนธ์ การประยุกต์ใช้นิวรอลเน็ตเวิร์กเพื่อจำแนกลายวงจรมบนแผ่นวงจรมพิมพ์
ผู้เขียน นายยุทธชัย นิลแพทย์
สาขาวิชา วิศวกรรมไฟฟ้า
ปีการศึกษา 2543



บทคัดย่อ

วิทยานิพนธ์ฉบับนี้ เป็นรายงานการศึกษาวิจัยวิธีการจำแนกลายวงจรมพิมพ์ โดยนำนิวรอลเน็ตเวิร์กมาประยุกต์ใช้ในการจำแนกลายวงจรมพิมพ์ ในการศึกษาวิจัยมีการลำดับการทำงานดังนี้คือ รับภาพลายวงจรมพิมพ์ โดยจะรับภาพเข้ามาแบบ bitmap file โดยกล้อง CCD ขนาดของภาพที่ได้คือ 320 x 240 จุด แล้วจึงนำภาพที่ได้ผ่านกระบวนการปรับปรุงภาพอย่างง่ายนั้นคือการเพิ่มหรือลดความสว่างของภาพ การกระทำดังกล่าวจะขึ้นอยู่กับภาพที่รับมาได้ว่าเป็นอย่างไร จากนั้นจึงทำการตัดภาพพื้นหลังทิ้งให้เหลือภาพในแบบขาว-ดำ โดยใช้ภาพลายวงจรมพิมพ์ทั้งหมด 8 แบบ แบ่งเป็น 2 ประเภทคือลายวงจรมพิมพ์เป็นลายทองแดงกับแบบที่ทำการเคลือบลายทองแดงแล้ว โดยใช้ใช้นิวรอลเน็ตเวิร์กแบบแพร่กลับทำการเรียนรู้ และสุดท้ายให้นิวรอลเน็ตเวิร์กทำการจำแนก การใช้นิวรอลเน็ตเวิร์กในการศึกษานี้ได้ทำการปรับจำนวนของชั้นซ่อนและจำนวนเซลล์ในแต่ละชั้นซ่อนโดยใช้ค่าที่ต่างๆ กันด้วย การปรับค่าต่างๆ ภายในนิวรอลเน็ตเวิร์กเพื่อศึกษาว่าค่าองค์ประกอบของนิวรอลเน็ตเวิร์กแบบใดที่จะให้ผลการจำแนกได้ดี

ก่อนที่จะใช้นิวรอลเน็ตเวิร์กกับลายวงจรมพิมพ์จริงได้ทำการทดลองรับภาพลายวงจรมพิมพ์บนกระดาษแล้วพบว่าอัลกอริทึมสามารถจำแนกได้ ผลที่ได้จากการจำแนกพบว่านิวรอลเน็ตเวิร์กแบบแพร่กลับ โดยใช้ชั้นซ่อน 1 ชั้น มีจำนวนเซลล์ในชั้นซ่อน 10,000 และ 50,000 เซลล์ ในกรณีที่ภาพลายวงจรมพิมพ์เป็นลายเส้นทองแดงขนาดไม่น้อยกว่า 1/32 นิ้ว สามารถจำแนกลายวงจรมพิมพ์ได้ค่าความถูกต้องได้ 83.3 เปอร์เซ็นต์ ส่วนภาพลายวงจรมพิมพ์ที่ทำการเคลือบสารสะท้อนแสงแล้ว ที่ 1 ชั้นซ่อน มีจำนวนเซลล์ 10,000 และ 50,000 เซลล์ จะได้ความถูกต้องอยู่ที่ 56.7 เปอร์เซ็นต์ เพื่อให้มีความถูกต้องสูงขึ้น ต้องทำการเรียนรู้กับจำนวนจุดผิดพลาดสูงขึ้น โดยต้องใช้จุดผิดพลาดในการเรียนรู้สูงกว่า 23040 จุด

Thesis Title Application of a Neural Network for Classification of PCB's
Author Mr.Yutthachai Nilpat
Major Program Electrical Engineering
Academic Year 2000

Abstract

This thesis presents a procedure for classification of printed circuit boards (PCB's) through the application of neural networks. A PCB image would first be captured through a CCD and input to a computer as a bitmap file with a resolution of 320x240 pixels. A simple enhancement was then applied to the image using contrast adjustment. The image was then extracted for its copper traces, abandoning the image background, and saved as a black and white image. Eight samples of both coated (glossy) and non-coated (non-glossy) PCB's were used in the study. A back-propagation neural network was used in the training stage. Experiments were carried out using neural network with many different hidden layers and attempts were made to fine-tune the neural network for best performance.

It was found success when we test with image in paper before used neural network with PCB's. It was found that a 10,000-cells, 50,000-cells neural network with a single hidden layer gave the best performance. For non-coated (non-glossy) PCB's, a classification success rate of 83.3% was obtained. For coated (glossy) PCB's, a classification success rate of only 56.7% could be achieved. You should be used incorrect pixel more than 23040 pixel for high classification success rate.

กิตติกรรมประกาศ

ขอแสดงความขอบพระคุณ อาจารย์ปราโมทย์ จุฑาทพร ประธานกรรมการที่ปรึกษาที่ได้กรุณาให้การสนับสนุนในด้านต่างๆเป็นอย่างดีไม่ว่าจะเป็นการให้คำปรึกษา การแนะนำความรู้ในด้านต่างๆ เอกสารข้อมูล อุปกรณ์ในการทำวิจัยต่างๆ รวมทั้งกำลังใจในการแก้ปัญหาตลอดจนช่วยตรวจแก้ไขวิทยานิพนธ์ให้ดำเนินไปอย่างสมบูรณ์

ขอขอบพระคุณ ผู้ช่วยศาสตราจารย์ ดร.ชูศักดิ์ ลิ้มสกุล และผู้ช่วยศาสตราจารย์ เสียง คุณบุรต์ ที่ได้ให้คำแนะนำที่เป็นประโยชน์ต่อกรวิจัยและการช่วยเหลือในการจัดหาอุปกรณ์ต่างๆ สำหรับการทำวิจัยตลอดจนช่วยตรวจแก้ไขวิทยานิพนธ์ให้ดำเนินไปอย่างสมบูรณ์

ขอขอบพระคุณอาจารย์ผู้สอบวิทยานิพนธ์ทุกท่านที่ได้ให้ข้อคิดเห็นและข้อเสนอแนะที่ดีเพื่อนำไปใช้ในโอกาสต่อไป

ขอขอบพระคุณ อาจารย์ และ บุคลากรในภาควิชาวิศวกรรมไฟฟ้าทุกท่านที่ให้คำปรึกษาและความช่วยเหลือในด้านต่างๆที่สำคัญจนสำเร็จลุล่วง

ขอขอบพระคุณ บัณฑิตวิทยาลัย มหาวิทยาลัยสงขลานครินทร์ วิทยาเขตหาดใหญ่ ที่ให้การสนับสนุนทุนในการทำวิจัย

ขอขอบคุณ เพื่อนและรุ่นพี่นักศึกษาปริญญาโทภาควิชาวิศวกรรมไฟฟ้าทุกท่านที่ได้ให้คำแนะนำ คำปรึกษาและกำลังใจเป็นอย่างดีมาโดยตลอด

และที่สำคัญที่สุด ข้าพเจ้าขอโน้มรำลึกถึงพระคุณของ บิดามารดา และครอบครัวที่ส่งเสริมและสนับสนุนข้าพเจ้าในทุกๆเรื่องตลอดมาจนสำเร็จการศึกษา

ยุทธชัย นิลแพทย์

สารบัญ

	หน้า
บทคัดย่อ.....	(3)
Abstract.....	(4)
กิตติกรรมประกาศ.....	(5)
สารบัญ.....	(6)
รายการตาราง.....	(9)
รายการภาพประกอบ.....	(11)
ตัวย่อและสัญลักษณ์.....	(13)
บทที่	
1 บทนำ.....	1
1.1 บทนำต้นเรื่อง.....	1
1.2 ความสำคัญและที่มาของหัวข้อวิจัย.....	1
1.3 การตรวจเอกสาร.....	2
1.4 วัตถุประสงค์การวิจัย.....	3
1.5 ขอบเขตของการวิจัย.....	3
1.6 ขั้นตอนและวิธีดำเนินการวิจัย.....	3
1.7 ประโยชน์ที่คาดว่าจะได้รับการวิจัย.....	3
2 ภาพและการปรับปรุงภาพลายวงจรมิติ.....	5
2.1 ความเบื้องต้น.....	5
2.2 ภาพลายวงจรมิติในรูปแบบของ BMP ไฟล์.....	5
2.3 การปรับปรุงภาพ.....	8
2.3.1 การแบ่งภาพ.....	8
2.3.2 การปรับความสว่างของภาพ.....	10
2.3.3 การปรับค่าความต่างกันในภาพ.....	10

	หน้า
3 ทฤษฎีนิเวศวิทยาแบบแพร์กัลป์.....	12
3.1 ความเบื้องต้น.....	12
3.2 นิเวศวิทยาแบบแพร์กัลป์.....	12
3.3 นิเวศวิทยาแบบแพร์กัลป์.....	18
3.3.1 ที่มาของนิเวศวิทยาแบบแพร์กัลป์.....	18
3.3.2 ฟังก์ชันอินทรีย์.....	19
3.3.3 ดัชนีที่สมรรถนะ.....	21
3.3.4 โครงสร้างและสถาปัตยกรรม.....	25
4 การออกแบบ.....	27
4.1 ความเบื้องต้น.....	27
4.2 อุปกรณ์ที่ใช้ในการทดลอง.....	27
4.3 การออกแบบกระบวนการจำแนก.....	27
4.3.1 การออกแบบการรับภาพหลายวงจรพิกเซลจากกล้อง CCD.....	28
4.3.2 การออกแบบการปรับปรุงภาพหลายวงจรพิกเซล.....	29
4.4 การออกแบบนิเวศวิทยาแบบแพร์กัลป์.....	30
4.4.1 นิเวศวิทยาแบบแพร์กัลป์ในส่วนการส่งค่าไปข้างหน้า.....	30
4.4.2 นิเวศวิทยาแบบแพร์กัลป์ในส่วนการแพร์กัลป์ของค่าความผิดพลาด.....	32
4.4.3 นิเวศวิทยาแบบแพร์กัลป์ในส่วนการปรับค่าน้ำหนัก.....	33
4.5 สรุปการออกแบบระบบการทำงาน.....	34
4.5.1 การทำการเรียนรู้ข้อมูลใหม่.....	34
4.5.2 การทำการเรียนรู้ข้อมูลเพิ่มเติมจากที่มีอยู่แล้ว.....	34
4.5.3 การทำการจำแนก.....	34
5 ผลการทดลอง.....	35
5.1 ผลการปรับปรุงภาพ.....	35
5.2 ผลการใช้นิเวศวิทยาแบบแพร์กัลป์.....	38
5.2.1 ผลจากการใช้นิเวศวิทยาแบบแพร์กัลป์ในส่วนของการเรียนรู้.....	38
5.2.2 ผลจากการใช้นิเวศวิทยาแบบแพร์กัลป์ในส่วนของการทดสอบจำแนก.....	42
6 วิจารณ์และสรุป.....	75

บรรณานุกรม.....	76
ภาคผนวก.....	79
ภาคผนวก ก โปรแกรมการทำงานในส่วนต่างๆ ของนิรอลเน็ตเวอร์ก.....	79
ภาคผนวก ข ศัพท์บัญญัติ.....	102
ประวัติผู้เขียน.....	104

รายการภาพประกอบ

ภาพประกอบ	หน้า
2-1 แสดงรูปแบบของภาพที่จะนำมาประมวลผลในแบบเมทริกซ์	5
2-2 แสดงลักษณะการอ้างอิงตำแหน่งแต่ละจุดบนภาพ	6
2-3 แสดงภาพขาวดำเมื่อจะนำข้อมูลภาพไปประมวลผล	7
2-4 แสดงลำดับการอ่านข้อมูลภาพจากไฟล์	8
2-5 แสดง Histogram ของภาพ	9
3-1 แสดงรายละเอียดของเซลล์ประสาทพร้อมด้วยหน้าที่ของส่วนต่างๆ ในเซลล์ประสาท	13
3-2 แสดงรูปแบบของความทรงจำระยะยาวในรูปของการจดจำแบบภาพถ่าย	15
3-3 แสดงรูปแบบการมองนิเวศของคอมพิวเตอร์	16
3-4 แสดงนิเวศเน็ตเวิร์กแบบแพร่กลับ 1 ชั้นซ่อน	19
3-5 แสดงการตอบสนองของของ binary sigmoid transfer function	.20
3-6 แสดงการตอบสนองของของ bipolar sigmoid transfer function	.20
4-1 แสดงรูปแบบการทำงานโดยรวมของการจำแนกลายวงจรมิมพ์	28
4-2 แสดงรูปแบบการส่งค่าไปข้างหน้าของนิเวศเน็ตเวิร์ก 2 ชั้นซ่อน	31
5-1 แสดงผลจากการทำ thresholding ค่าเดียวต่อภาพ จากภาพบนกระดาษ	35
5-2 แสดงผลจากการทำ thresholding ค่าเดียวต่อภาพ จากภาพลายวงจรรจริง	36
5-3 แสดงผลจากการทำ thresholding สองค่าต่อภาพ	37
5-4 แสดงผลจากการทำ brightness	38
5-5 แสดงผลจากการรู้เข้าของค่าสัมบูรณ์ความผิดพลาด	39
5-6 แสดงภาพลายวงจรมิมพ์ที่ใช้ในการทดสอบกับโครงข่าย	40
5-7 แสดงข้อมูลจากตาราง 5-4 เมื่อนำมาแสดงเป็นกราฟ	43
5-8 แสดงข้อมูลจากตาราง 5-5 เมื่อนำมาแสดงเป็นกราฟ	44
5-9 แสดงข้อมูลจากตาราง 5-6 เมื่อนำมาแสดงเป็นกราฟ	45
5-10 แสดงข้อมูลจากตาราง 5-7 เมื่อนำมาแสดงเป็นกราฟ	46
5-11 แสดงข้อมูลจากตาราง 5-8 เมื่อนำมาแสดงเป็นกราฟ	47
5-12 แสดงข้อมูลจากตาราง 5-9 เมื่อนำมาแสดงเป็นกราฟ	48
5-13 แสดงข้อมูลจากตาราง 5-10 เมื่อนำมาแสดงเป็นกราฟ	49
5-14 แสดงข้อมูลจากตาราง 5-11 เมื่อนำมาแสดงเป็นกราฟ	50

ภาพประกอบ	หน้า
5-15 แสดงข้อมูลจากตาราง 5-12 เมื่อนำมาแสดงเป็นกราฟ	51
5-16 แสดงข้อมูลจากตาราง 5-13 เมื่อนำมาแสดงเป็นกราฟ	52
5-17 แสดงข้อมูลจากตาราง 5-14 เมื่อนำมาแสดงเป็นกราฟ	53
5-18 แสดงข้อมูลจากตาราง 5-15 เมื่อนำมาแสดงเป็นกราฟ	54
5-19 แสดงข้อมูลจากตาราง 5-16 เมื่อนำมาแสดงเป็นกราฟ	55
5-20 แสดงข้อมูลจากตาราง 5-17 เมื่อนำมาแสดงเป็นกราฟ	56
5-21 แสดงข้อมูลจากตาราง 5-18 เมื่อนำมาแสดงเป็นกราฟ	57
5-22 แสดงข้อมูลจากตาราง 5-19 เมื่อนำมาแสดงเป็นกราฟ	58
5-23 แสดงข้อมูลจากตาราง 5-20 เมื่อนำมาแสดงเป็นกราฟ	59
5-24 แสดงข้อมูลจากตาราง 5-21 เมื่อนำมาแสดงเป็นกราฟ	60
5-25 แสดงข้อมูลจากตาราง 5-22 เมื่อนำมาแสดงเป็นกราฟ	61
5-26 แสดงข้อมูลจากตาราง 5-23 เมื่อนำมาแสดงเป็นกราฟ	62
5-27 แสดงข้อมูลจากตาราง 5-24 เมื่อนำมาแสดงเป็นกราฟ	63
5-28 แสดงข้อมูลจากตาราง 5-25 เมื่อนำมาแสดงเป็นกราฟ	64

ตัวย่อและสัญลักษณ์

α	=	อัตราการเรียนรู้
δ_x	=	ค่าความไวที่จะนำไปคำนวณในส่วนของ การแพร่กลับ
Δv_x	=	ค่าน้ำหนักของชั้นซ่อนที่ 1
Δw_x	=	ค่าน้ำหนักของชั้นเอาต์พุต
CCD	=	classical chromodynamics
$F(x)$	=	ค่าเฉลี่ยของความผิดพลาดกำลังสอง
G_0	=	ค่าระดับเทาของวัตถุหลังจากทำ thresholding
G_b	=	ค่าระดับเทาของพื้นหลัง หลังจากทำ thresholding
LMS	=	least mean square
PCB's	=	printed circuit boards
T	=	ค่า threshold
W	=	เมตริกซ์น้ำหนัก
a	=	ค่าเอาต์พุตที่ได้จากการ feedforward ของรอบนั้นๆ
b	=	ค่าไบอัส
brightness	=	ค่าความสว่างที่เพิ่มให้กับภาพ
contrast	=	ค่าตัวเลขที่ใช้ในการเพิ่มความแตกต่างของค่าระดับเทาในภาพให้มี ค่าความแตกต่างกันมากขึ้น
e	=	ค่าความผิดพลาด
f	=	การทำอนุพันธ์
g_i	=	ค่าระดับเทาของ pixel ก่อนผ่านกระบวนการ brightness
S_i^m	=	ความไวที่เปลี่ยนเทอมที่ i ของอินพุตชั้นที่ m
t	=	ค่าเป้าหมาย
V_{oi}	=	ค่าไบอัส
V_{ij}	=	ค่าน้ำหนักในชั้นนั้นๆ
X_i	=	คือค่าของเซลล์ในชั้นอินพุตจำนวน i เซลล์
Z_{in_j}	=	ค่าที่ได้จากการคูณน้ำหนักกับอินพุต
Z_j	=	ค่าในชั้นซ่อนที่ต้องการแพร่กลับมีจำนวน j เซลล์

บทที่ 1

บทนำ

1.1 บทนำต้นเรื่อง

การทำงานทุกประเภท จะต้องมีการตรวจสอบคุณภาพของผลผลิตที่ได้จากการทำงานเช่น กุ้งก็ต้องมีการคัดขนาด คอมพิวเตอร์ก็ต้องมีการผ่านขั้นตอนการตรวจสอบคุณภาพ การเรียนก็มีการสอบประเมินผล ฯลฯ จะเห็นได้ว่าการตรวจสอบคุณภาพผลของงานนั้นๆ เป็นสิ่งที่ผู้ผลิตโดยทั่วไปให้ความสำคัญเป็นอันดับแรก ๆ ในระบบการผลิตลายวงจรบนแผ่นวงจรพิมพ์ของบริษัทและ โรงงานต่าง ๆ ก็เช่นกัน ต้องมีการตรวจเช็คความถูกต้องของผลงานที่ได้ผลิตมา ในที่นี้ก็คือสายทองแดงของวงจรไฟฟ้าบนแผ่นวงจรพิมพ์ ซึ่งจะนำไปใช้ในการประกอบกับอุปกรณ์ทางไฟฟ้าและอิเล็กทรอนิกส์หรือสิ่งอื่น เพื่อจะได้ประกอบเป็นชิ้นงานสำเร็จรูปต่อไป ในการตรวจหาจุดบกพร่องของลายวงจรพิมพ์ที่สามารถยอมรับได้นี้ก็เพื่อที่จะได้รู้ว่ามี ส่วนใดของลายวงจรบ้างที่แตกต่างไปจากลายวงจรต้นแบบ เช่น เชื่อมต่อกันผิดไปจากต้นแบบ หรือลายวงจรบางแห่งขาดไป ไม่มีการเชื่อมต่อกันเหมือนต้นแบบ ในการตรวจเช็คตรงนี้ยังใช้มนุษย์ในการทำงานอยู่ ซึ่งสามารถเกิดความผิดพลาดได้ง่าย ผลงานจากการทำวิทยานิพนธ์นี้จะทำให้มีแนวทางที่จะช่วยในการจำแนกนี้ จะทำให้การจำแนกรวดเร็ว และมีประสิทธิภาพมากยิ่งขึ้น

1.2 ความสำคัญและที่มาของหัวข้อวิจัย

การศึกษานี้ เป็นการออกแบบวิธีการที่จะช่วยในการจำแนกความถูกต้องของลายวงจรบนแผ่นวงจรพิมพ์ (printed circuit boards : PCBs) ที่ผลิตในปริมาณที่มากพอสมควร โดยส่วนใหญ่จะเป็นการผลิตแผ่นวงจรพิมพ์เพื่อใช้ในงานอุตสาหกรรม ในการวิจัยจะรับข้อมูลของลายวงจรพิมพ์เข้ามาในแบบของข้อมูลภาพ (bitmap file) ซึ่งจะเป็ไฟล์ภาพที่มีนามสกุล BMP จากนั้นจึงนำข้อมูลภาพเหล่านั้นมาทำการปรับปรุงภาพโดยการตัดพื้นหลังของภาพออก ให้เหลือเฉพาะข้อมูลภาพที่เป็นเส้นของลายวงจรพิมพ์ แล้วจึงนำข้อมูลภาพที่เหลือไปทำการสอนให้โครงข่ายประสาทเทียมแบบแพร่กลับ (backpropagation neural network) รู้จัก โดยที่โครงข่ายประสาทเทียมจะทำการคำนวณหาค่าน้ำหนักในแต่ละเซลล์ของทุกๆ ชั้นซ่อน (hidden layer) โดยการเรียนรู้ด้วยตัวเอง เมื่อถึงเวลาที่จะนำไปใช้งานจริง ก็จะนำค่าของน้ำหนักที่ผ่านการเรียนรู้แล้ว ไปใช้ในการจำแนกว่าข้อมูลภาพลายวงจรที่เข้ามาใหม่แตกต่างไปจากต้นแบบที่ได้รับการเรียนรู้มาหรือไม่ ถ้าแตกต่างก็ต้องพิจารณาว่าค่าของความแตกต่างนั้นสามารถยอมรับได้หรือไม่ ผลที่ได้รับจาก

งานวิจัยนี้สามารถนำไปช่วยในการทำการตรวจสอบความถูกต้องของลายวงจรมบนแผ่นวงจรพิมพ์ในระบบการผลิตแผ่นวงจรพิมพ์ได้

1.3 การตรวจเอกสาร

1.3.1 ในงานของ Henry A. Rowley (1998) ได้นำเสนอการตรวจหาภาพใบหน้าที่เหมือนกัน โดยการใช้วีรอลเน็ตเวอร์กในการทำงานเพื่อค้นหารูปต้นแบบว่าเป็นรูปหน้าของใคร ในขั้นตอนการรับภาพเข้ามาจะเป็นรับภาพระดับเทาขนาด 20X20 จุดต่อภาพ นำภาพที่ได้ไปทำการปรับปรุงภาพด้วยการเพิ่มความแตกต่างระหว่างจุดขาวและดำที่มีในภาพ จากนั้นจึงนำภาพไปแบ่งเป็นขนาดต่างๆ คือ 10X10 , 5X5 และ 20X5 เพื่อใช้ในการเรียนรู้และตรวจหาของวีรอลเน็ตเวอร์ก จุดเด่นของงานวิจัยนี้คือสามารถค้นหภาพที่มีลักษณะของหน้ามนุษย์ทั่วไปคือมีองค์ประกอบของใบหน้า (ตา , จมูก , ปาก) ครบถ้วน แม้ว่าจะเป็นภาพวาดรูปคล้ายคน ข้อจำกัดที่ผู้วิจัยบอกไว้คือเวลาที่ใช้ในการเรียนรู้และการตรวจหาภาพหน้านั้นยังใช้เวลามากอยู่ และยังมีควมผิดพลาดในการตรวจหาที่สูง

1.3.2 จากงานของ Kraison Aunchalevarapan (1999) มีการนำเสนอการตรวจดูว่ามีลายวงจรมบส่วนใดบนแผ่นวงจรพิมพ์ที่ผิดพลาดไปในการทำการผลิต โดยการวัดค่าของสนามแม่เหล็กที่เกิดจากลายวงจรมบแบบต่างๆ ในแบบของสเปคตรัม แล้วนำไปผ่านวีรอลเน็ตเวอร์กเพื่อตรวจหาว่ามีส่วนใดของลายวงจรมบที่ผลิตมาไม่สมบูรณ์ จุดเด่นของการวิจัยนี้คือการประยุกต์ใช้วีรอลเน็ตเวอร์กเพื่อนำมาใช้ในการทำงานจริง แต่บอกเพียงว่าสามารถใช้วีรอลเน็ตเวอร์กในการใช้งานได้จริงเท่านั้น ไม่ได้กล่าวว่ขนาดของเส้นลายวงจรมบที่มีขนาดเท่าใด

1.3.3 การประมวลผลภาพเชิงตัวเลข (กิตติ ไพฑูรย์วัฒนกิจ และ สาธิต อินทจักร์, 2538) ในบทความนี้ได้นำเสนอวิธีการหาขอบภาพ ซึ่งเป็นขั้นตอนหนึ่งในหลายขั้นตอนของการประมวลผลภาพในระดับต่ำที่มีความสำคัญมากขั้นตอนหนึ่ง ในการที่จะทำให้คอมพิวเตอร์สามารถเข้าใจข้อมูลภาพที่ต้องเข้าไปใช้งานนั้นมันได้ ในงานวิจัยนี้ผู้ทำวิจัยได้นำเสนอวิธีการหาขอบภาพด้วยวิธีต่างๆ ที่เป็นที่ยอมรับใช้กันทั่วไปในการประมวลผลภาพ เช่นการหาขอบภาพโดยวิธี Sobel, Marr-Hildreth, Canny, Gabor, Relaxation เป็นต้น ซึ่งวิธีการเหล่านี้ผู้วิจัยได้กล่าวถึงผลที่ได้จากการวิจัยรวมทั้งมีการเปรียบเทียบข้อดีและข้อเสียของแต่ละวิธีด้วย

1.3.4 จากการทดสอบทางทฤษฎีการปรับปรุงภาพของ กนกศักดิ์ เอี่ยมโสภาส (2535) โดยมีวัตถุประสงค์เพื่อใช้ในงานที่เกี่ยวข้องกับการเกษตร แต่ได้มีบางส่วนของงานวิจัยที่ต้องใช้วิธีการทาง image processing เข้ามาช่วย จึงมีการบรรยายถึงทฤษฎีและหลักการเบื้องต้นที่เกี่ยวข้องกับ

image processing ซึ่งมีขั้นตอนของการปรับปรุงภาพที่ดีและมีการบรรยายถึงผลการใช้งานของการปรับปรุงภาพในลักษณะต่างๆ

1.4 วัตถุประสงค์การวิจัย

1.4.1 เพื่อศึกษาและนำเทคโนโลยีทางด้านนิวรอลเน็ตเวิร์ก มาประยุกต์ใช้ในการจำแนกความถูกต้องของลายวงจรบนแผ่นวงจรพิมพ์

1.4.2 เพื่อหาจุดบกพร่องของลายวงจรและจำแนกแผ่นวงจรพิมพ์ที่ใช้งานได้กับใช้งานไม่ได้

1.5 ขอบเขตของการวิจัย

1.5.1 งานวิจัยนี้จะใช้โปรแกรมคอมพิวเตอร์ นิวรอลเน็ตเวิร์ก แบบ backpropagation ในการจำแนกความถูกต้องของลายวงจรบนแผ่นวงจรพิมพ์

1.5.2 ลายวงจรที่อยู่บนแผ่นวงจรพิมพ์สามารถจำแนกได้ครั้งละ 1 ด้าน

1.5.3 การรับภาพลายวงจรจากแผ่นวงจรพิมพ์จะใช้กล้อง CCD ที่มีความละเอียด 320x240 pixel

1.5.4 ภาพลายวงจรบนแผ่นวงจรพิมพ์จะถูกมองแบบ 2 มิติ

1.5.5 ขนาดของเส้นลายวงจรที่เล็กที่สุดที่สามารถจำแนกได้คือ 1/32 นิ้ว

1.6 ขั้นตอนและวิธีดำเนินการวิจัย

1.6.1 ออกแบบโปรแกรมในการรับภาพลายวงจร

1.6.2 เขียนโปรแกรมในการปรับปรุงภาพ

1.6.3 ออกแบบโปรแกรมนิวรอลเน็ตเวิร์ก

1.6.4 เขียนโปรแกรมในการจัดระเบียบข้อมูลภาพเพื่อให้สามารถใช้กับนิวรอลเน็ตเวิร์กได้

1.6.5 ทดลองใช้โปรแกรมกับลายวงจรที่มีอยู่บนกระดาษ และปรับปรุงให้ได้ผลที่ดี โดยปรับปรุงความสว่างของแสง ความละเอียดของภาพ ข้อจำกัดของขนาดของแผ่น pcb

1.6.6 ทดลองใช้โปรแกรมกับลายวงจรที่มีอยู่บนแผ่น pcb และปรับปรุงให้ได้ผลที่ดีพอ

1.6.7 ทดลองใช้โปรแกรมกับแผ่น pcb สีอื่น และรูปแบบอื่นๆ

1.6.8 วิเคราะห์และสรุปผลการทดลอง

1.7 ประโยชน์ที่คาดว่าจะได้รับจากการวิจัย

1.7.1 ได้รับความรู้ในการนำนิวรอลเน็ตเวิร์กมาประยุกต์ใช้ในงานจริง

1.7.2 สามารถนำระบบการทำงานของงานวิจัยนี้ไปปรับใช้ได้กับงานวิจัยอื่นที่เกี่ยวข้องกับ
ภาพ 2 มิติ

บทที่ 2

ภาพและการปรับปรุงภาพลายวงจรมิมพ์

2.1 ความเบื้องต้น

เนื่องจากข้อจำกัดต่างๆ ของอุปกรณ์รับภาพต่างๆ ที่มีอยู่ ทำให้ภาพที่รับเข้ามาจากอุปกรณ์รับภาพทั้งหลาย เป็นภาพที่มีองค์ประกอบอื่นๆ ที่ไม่ต้องการในการใช้งาน เช่น ภาพพื้นหลังของลายวงจรมิมพ์ สิ่งรบกวนที่เกิดจากการถ่ายภาพ ฯลฯ สิ่งเหล่านี้ไม่เป็นที่ต้องการในการจำแนกความถูกต้องของลายวงจรมิมพ์ ในบทนี้จะนำเสนอทฤษฎีและวิธีการปรับปรุงภาพลายวงจรมิมพ์ ซึ่งการปรับปรุงภาพลายวงจรมิมพ์ก่อนที่จะนำไปใช้ในการจำแนกความถูกต้องนั้นเป็นขั้นตอนที่สำคัญมากในการที่จะช่วยให้การจำแนกมีความถูกต้องมากที่สุด

2.2 ภาพลายวงจรมิมพ์ในรูปแบบของ BMP file

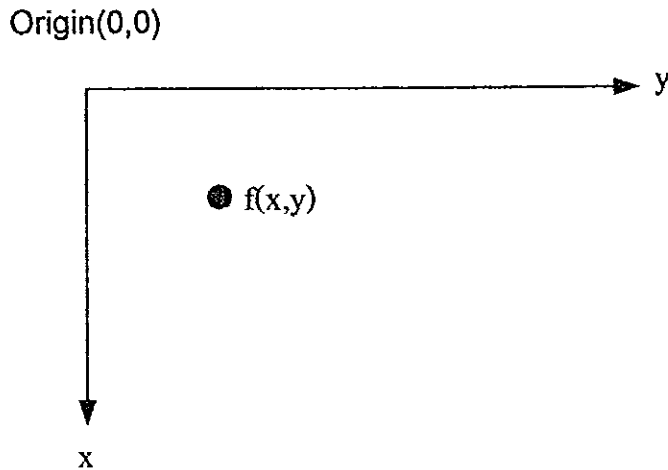
ในการรับภาพลายวงจรมิมพ์นั้นจะใช้อุปกรณ์รับภาพใดๆ ก็ได้ที่สามารถรับภาพเป็นภาพระดับเทา (gray scale) และทำการเก็บภาพที่ได้ในรูปแบบ Bitmap File (.BMP) จากนั้นจึงสามารถนำไปทำการปรับปรุงภาพต่อไป ภาพที่รับมาเพื่อนำมาประมวลผลด้วยคอมพิวเตอร์นั้นจะถูกแทนด้วยตัวเลขที่อยู่ในรูปของเมทริกซ์ขนาด $n \times m$ ดังภาพประกอบ 2-1

$$image = \begin{bmatrix} i(1,1) & i(1,2) & \dots & i(1,M) \\ i(2,1) & i(2,2) & \dots & i(2,M) \\ \vdots & \vdots & & \vdots \\ i(N,1) & i(N,2) & \dots & i(N,M) \end{bmatrix}$$

ภาพประกอบ 2-1 แสดงรูปแบบของภาพที่จะนำมาประมวลผลในรูปแบบเมทริกซ์

ซึ่งภาพที่ได้จากอุปกรณ์รับภาพจะอยู่ในรูปแบบระนาบสองมิติคือแกน x และ y สิ่ง que แสดงอยู่ในแต่ละตำแหน่งของคู่อันดับในเมทริกซ์ภาพคือค่าความเข้มของภาพในจุดนั้นนั้น ในกรณีที่เป็นภาพสีก็สามารถแสดงได้ถึง 256 สี โดยทั่วไปแล้วจะมีค่าความเข้มของภาพระดับเทาที่เป็นไปได้อยู่ 256 ระดับ ซึ่งจะทำให้ค่าของระดับเทาที่แสดงในภาพจะอยู่ในช่วง 0 ถึง 255 โดยใช้ 8 บิต ($2^8 = 256$) สำหรับเก็บข้อมูลภาพในแต่ละจุด ในกรณีที่ต้องการภาพที่มีความละเอียดสูงๆ ก็จะต้องการจำนวนบิตสำหรับเก็บข้อมูลเพิ่มขึ้นไปคืออาจจะเป็น 16 หรือ 24 บิต

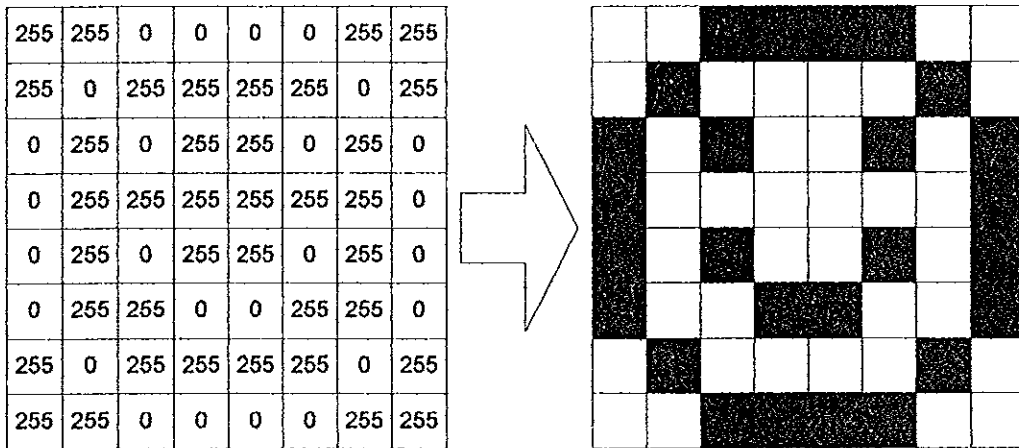
โดยค่าระดับความเข้มในแต่ละจุดของภาพก็จะเป็น 2^{16} และ 2^{24} ตามลำดับ โดยที่ภาพที่รับเข้ามา มีจุดเริ่มต้นของคู่ลำดับอยู่ที่มุมบนด้านซ้าย ดังภาพประกอบ 2-2



ภาพประกอบ 2-2 แสดงลักษณะการอ้างอิงตำแหน่งแต่ละจุดบนภาพ

สิ่งที่สำคัญมากในการที่ผู้ใช้คอมพิวเตอร์จะสามารถสื่อสารกับคอมพิวเตอร์ได้ง่ายขึ้น ก็โดยการใช้สิ่งที่เราเรียกว่าไอคอน (icon) ไม่ว่าจะเป็นภาพสีหรือภาพระดับเทาก็ตาม ไอคอนเหล่านี้จะเป็นไฟล์ภาพในแบบ bitmap file ซึ่งสามารถแสดงได้หลายรูปแบบเช่น .RLE, .TIFF, .TGA, .PCX, .PNG, .BMP, .PCD และ .GIF ในงานวิจัยนี้จะขกกล่าวถึงเฉพาะรูปแบบของ .BMP ที่เป็นภาพระดับเทาเท่านั้น

ภาพแบบ .BMP ที่อยู่ในแบบขาวดำนั้นมีรูปแบบที่ต้องทำความเข้าใจเพื่อที่จะนำไปใช้ในการทำงานหรือประมวลผลด้วยคอมพิวเตอร์ต่อไป คือข้อมูลภาพที่ได้จะมีลักษณะเป็นภาพขาว-ดำ ที่มีความเข้มของสีดำและสีขาวไม่เท่ากันเราเรียกว่า ระดับเทา(gray level) พิกเซลที่มีค่าระดับเทาเป็น 0 คือสีดำ เมื่อเพิ่มค่าระดับเทาขึ้นเรื่อยๆ ค่าระดับเทาที่เรามองว่าเป็นจุดที่ขาวที่สุดคือค่าระดับเทาที่ 255 ซึ่งก็จะเห็นเป็นสีขาว ซึ่งจะแสดงเปรียบเทียบกันดังภาพประกอบ 2-3 รูปแบบของไฟล์ .BMP นี้ไม่สามารถทำการเก็บข้อมูลโดยมีการบีบอัดได้ เนื่องจากเป็นไฟล์ที่มีรูปแบบของข้อมูลภาพในแต่ละจุดที่อยู่ในภาพนั้นโดยมีส่วนที่เรียกว่า header ของภาพ จำนวน 54 ไบต์ อยู่ที่ส่วนแรกของไฟล์ภาพ ในส่วน header นี้จะเป็นการแสดงถึงลักษณะและรายละเอียดของภาพ เช่น เป็นภาพชนิดใด มีขนาดของภาพแบบกว้างเท่าไรและยาวเท่าไร ฯลฯ ส่วนต่างๆเหล่านี้ แสดงในตาราง 2-1



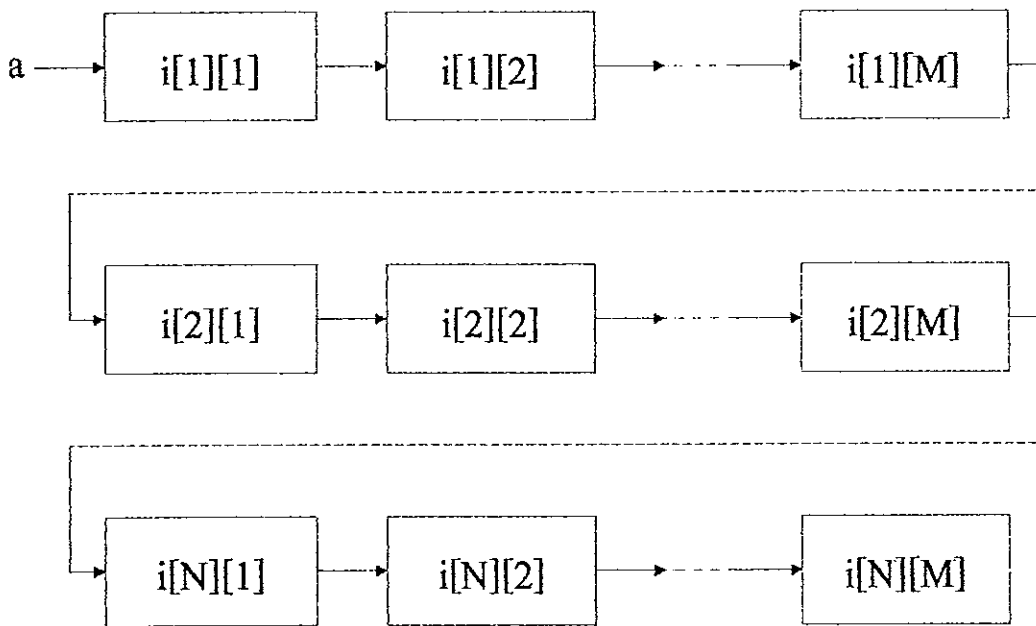
ภาพประกอบ 2-3 แสดงภาพขาวดำเมื่อจะนำข้อมูลภาพไปประมวลผล

ตาราง 2-1 แสดงรูปแบบของ header ของข้อมูลภาพแบบ BMP

Data	Description
WORD Type;	File type. Set "BMP"
DWORD Size;	Size in BYTES of the file.
DWORD Reserved;	Reserved. Set to zero.
DWORD Offset;	Offset to the data.
DWORD headerSize;	Size of rest of header. Set to 40.
DWORD Width;	Width of bitmap in pixels.
DWORD Height;	Height of bitmap in pixels.
WORD Planes;	Number of planes. Set to 1.
WORD BitsPerPixel;	Number of bits per pixel.
DWORD Compression;	Compression. Usually set to 0.
DWORD SizeImage;	Size in Bytes of the bitmap.
DWORD XpixelsPerMeter;	Horizontal pixels per meter.
DWORD YpixelsPerMeter;	Vertical pixels per meter.
DWORD ColorsUsed;	Number of colors used.
DWORD ColorsImportant;	Number of "important" colors.

(ที่มา : Rimmer , 1993 : 116)

การอ่านข้อมูลภาพที่มีอยู่ในแบบ .BMP ก็สามารถทำได้สะดวก ด้วยการอ่านข้อมูลที่มีอยู่ใน header จากนั้นก็ทำการอ่านข้อมูลภาพตามลำดับที่เรียงกันอยู่ในไฟล์ ตำแหน่งของแต่ละจุดบนภาพเราจะรู้ได้จากขนาดของภาพในแนวตั้งและแนวนอน ขนาดของแต่ละจุดของภาพแล้วจึงทำการอ่านข้อมูลภาพทีละตำแหน่งตามลำดับดังภาพประกอบ 2-4 แล้วจึงนำข้อมูลภาพที่อ่านได้นั้นเก็บไว้ในหน่วยความจำแบบเมทริกซ์ขนาด $n \times m$ ดังที่ได้กล่าวไว้ข้างต้น



ภาพประกอบ 2-4 แสดงลำดับการอ่านข้อมูลภาพจากไฟล์

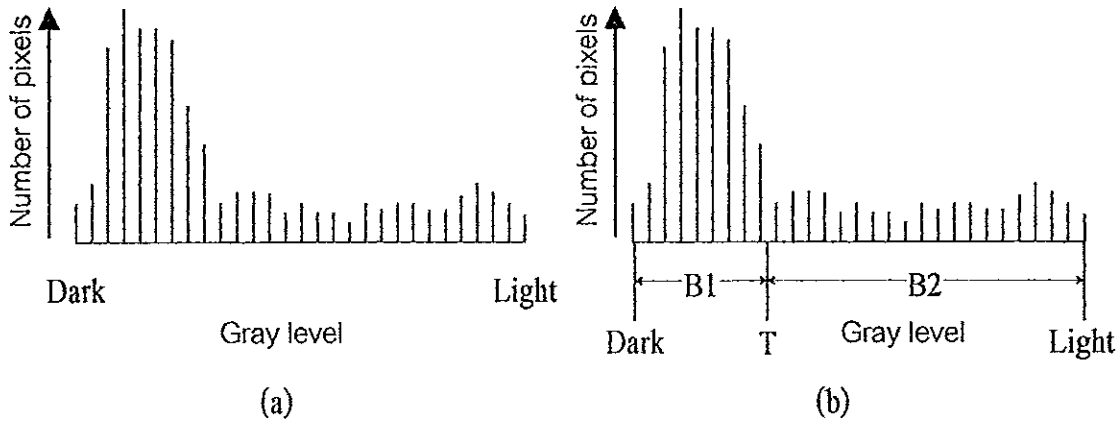
2.3 การปรับปรุงภาพ

2.3.1 การแบ่งภาพ

ในงานวิจัยนี้ คำว่า segmentation หมายถึงการแบ่งแยกส่วนที่เป็นวัตถุที่อยู่ภายในรูปภาพนั้นออกมาจากส่วนที่เป็นพื้นหลังของภาพ วิธีการแบ่งภาพหรือ image segmentation นั้นถือได้ว่าเป็นขั้นตอนที่สำคัญมากของงาน image processing เพราะจะทำให้เราได้รูปวัตถุที่เราสนใจหรือต้องการเพื่อนำไปใช้งานและสามารถทำงานในขั้นต่อไปได้ หลักการเบื้องต้นของ image segmentation คือการใช้คุณสมบัติของค่าระดับเทาในแต่ละจุดของภาพมาใช้งาน คุณสมบัติที่กล่าวถึงคือ ความไม่ต่อเนื่อง (discontinuity) และความคล้ายคลึงกัน (similarity)

วิธีการที่จะใช้ในการทำ image segmentation ในงานวิจัยนี้คือการทำ thresholding การทำงานของวิธีนี้คือการแบ่ง histogram ของภาพระดับเทานั้นเป็นส่วนๆ โดย

เลือกใช้ค่า threshold (T) ที่เหมาะสมดังแสดงในภาพประกอบ 2-5 จะเห็นว่า histogram ที่แสดงนั้นจะแบ่งแยกให้เห็นชัดว่ามีส่วนใดของภาพบ้างที่เป็นวัตถุและมีส่วนใดที่เป็นพื้นหลังของภาพ



ภาพประกอบ 2-5 (a) แสดง histogram ของภาพ

(b) แสดงการเลือกค่า threshold ของภาพ

จากภาพประกอบ 2-5 แสดง histogram thresholding ซึ่งมีจุดภายในภาพในส่วนที่เป็นพื้นหลังจำนวนมากที่เป็นส่วนมืด และส่วนน้อยที่เหลือจะเป็นส่วนสว่างของภาพ ค่า T ที่เลือกนั้นจะถูกเลือกเพื่อให้ส่วน $B2$ ในภาพประกอบ 2-5 มีค่าระดับเทาใกล้เคียงกับส่วนที่เป็นพื้นหลังมากที่สุด และส่วน $B1$ ซึ่งเป็นส่วนของวัตถุ การเปลี่ยนแปลงค่าระดับเทาในภาพโดยใช้ค่า threshold เป็นจุดแบ่งแยกนั้น ถือว่าเป็นขอบเขตของวัตถุในรูปภาพ การหาวัตถุที่มีอยู่ในภาพทั้งในแนวตั้งและแนวนอนสามารถทำได้โดยใช้รูปแบบของการคำนวณดังต่อไปนี้

$$g(x,y) = \begin{cases} G_0 & \text{if } f(x,y) > T \\ G_b & \text{if } f(x,y) \leq T \end{cases} \quad (2-1)$$

โดยที่	$f(x,y)$	คือค่าระดับเทาของภาพต้นฉบับ
	$g(x,y)$	คือค่าระดับเทาของภาพหลังจากการทำ thresholding
	T	คือค่า threshold
	G_0	คือค่าระดับเทาของวัตถุหลังจากทำ thresholding
	G_b	คือค่าระดับเทาของพื้นหลัง หลังจากทำ thresholding

วิธีการปรับปรุงภาพวิธีนี้ จะเป็นการนำค่าระดับเทาของทุก pixel มาเปรียบเทียบกับค่า threshold ที่ตั้งไว้ ถ้าค่าระดับเทามีค่ามากกว่าค่า threshold ค่าระดับเทาที่ pixel นั้น จะถูกเปลี่ยนค่าเป็น G_0 ถ้าน้อยกว่าหรือเท่ากับค่า threshold ให้เปลี่ยนค่าที่ pixel นั้นเป็น G_0

2.3.2 การปรับความสว่างของภาพ

การปรับความสว่างของภาพหรือ brightness correction วิธีนี้จะเป็นการเพิ่มความสว่างให้กับภาพ เพื่อให้สามารถมองเห็นระดับต่างๆ ของภาพ ซึ่งจะมีรูปแบบในการคำนวณดังนี้

$$S_i = g_i + \text{brightness} \quad \dots(2-2)$$

โดยที่ S_i คือค่าระดับเทาของ pixel หลังจากผ่านกระบวนการ brightness
 g_i คือค่าระดับเทาของ pixel ก่อนผ่านกระบวนการ brightness
 brightness คือค่าความสว่างที่เพิ่มให้กับภาพ

2.3.3 การปรับค่าความต่างกันในภาพ

การปรับค่าความต่างกันในภาพหรือ contrast correction วิธีนี้เป็นวิธีการที่จะเพิ่มค่าความสว่างและความมืดให้กับภาพ เมื่อเปรียบเทียบกับค่าเฉลี่ยของระดับเทาภายในภาพ โดยมีวิธีการคำนวณดังนี้

$$S_i = \text{contrast} * (g_i - \text{average}) + \text{average} \quad \dots(2-3)$$

โดยที่ S_i คือค่าระดับเทาของ pixel หลังจากผ่านกระบวนการ contrast
 g_i คือค่าระดับเทาของ pixel ก่อนผ่านกระบวนการ contrast
 average สามารถคำนวณได้จาก

$$\bar{g}_i = \frac{1}{N_x N_y} \sum_{x=0}^{N_x} \sum_{y=0}^{N_y} F(x, y) \quad \dots(2-4)$$

contrast คือค่าตัวเลขที่ใช้ในการเพิ่มความแตกต่างของค่าระดับเทาในภาพให้มีค่าความแตกต่างกันมากขึ้น

จะเห็นว่าวิธีการคำนวณก็คือ จะหาค่าเฉลี่ยของระดับเทาทั้งภาพ นำค่าเฉลี่ยที่ได้ไป
ลบกับค่าระดับเทาในทุก pixel จากนั้นนำมาคูณกับค่า contrast (ซึ่งการคูณจะเป็นการเพิ่มค่า
จากการลบให้มากขึ้น จะมีผลต่อความสว่างและความมืดของ pixel) แล้วจึงนำมารวมกับค่า
เฉลี่ย

บทที่ 3

ทฤษฎีนิเวศวิทยาของระบบประสาทกลับ

3.1 ความเบื้องต้น

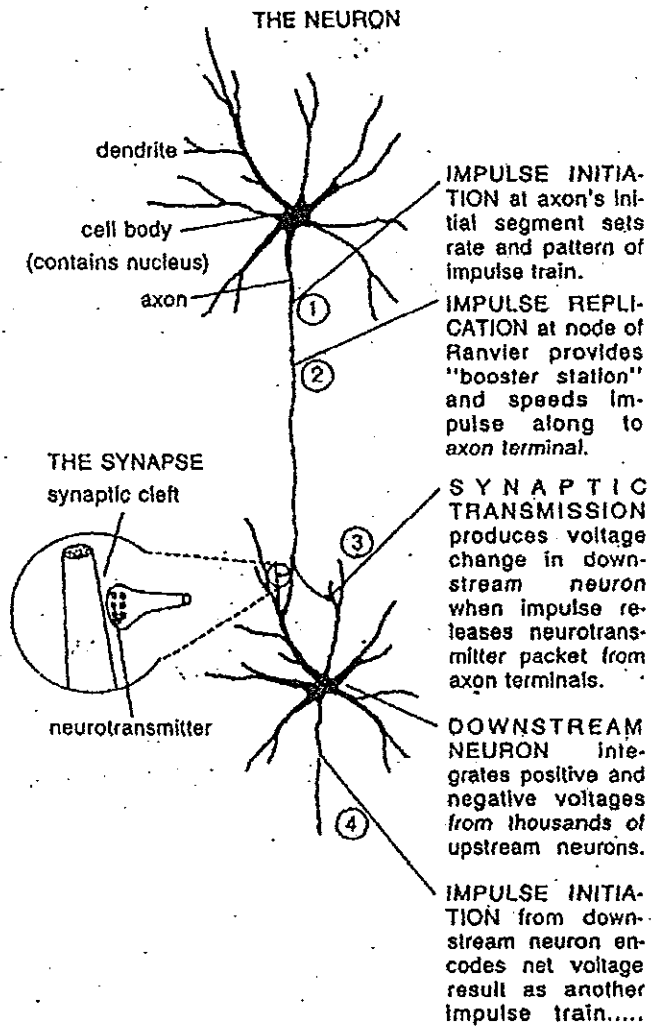
ในปัจจุบันถ้ามีความต้องการที่จะใช้งานคอมพิวเตอร์ที่มีความสามารถในการคำนวณที่รวดเร็วมาก ก็จะต้องนึกถึง super computer, คอมพิวเตอร์ที่มีความเร็วสูงๆ หรือไม่ก็เป็นเครื่องมือที่มีชิพประมวลผลที่มีความสามารถทำงานในด้านการคำนวณโดยเฉพาะ แต่ยังมีงานบางอย่างที่ต้องการความยืดหยุ่นในการทำงานสูง ระบบนี้ยังสามารถที่จะปรับตัวให้สามารถรับรู้สภาพที่เปลี่ยนแปลงได้ สิ่งนี้เป็นประโยชน์อย่างมากในการแก้ปัญหาอีกหลายประเภทที่คอมพิวเตอร์ไม่เหมาะสมจะนำมาใช้งาน วิธีการนี้จะทำหน้าที่คล้ายกับสมองของมนุษย์ในรูปแบบของอาร์ติฟิเชียลนิวรัลเน็ตเวิร์ก (artificial neural network หรือ ANN) อันเป็นการลอกเลียนการทำงานของเซลล์ประสาท (nerve cells) ซึ่งมีชื่อเรียกอีกอย่างหนึ่งว่านิวรอน (neuron) จึงมีความจำเป็นที่จะต้องกล่าวถึงพื้นฐานอย่างสั้นๆ ว่านิวรอนนั้นทำงานอย่างไรในรูปแบบของสรีรวิทยาประสาท (neurophysiology) เพื่อเป็นความรู้เบื้องต้นที่สำคัญก่อนที่จะมีการนำไปประยุกต์ใช้งานต่อไป

3.2 นิวรัลเน็ตเวิร์ก

เรื่องราวของนิวรัลเน็ตเวิร์กมีพื้นฐานมาจากนิวรอนที่เป็นของจริงในสมองมนุษย์ ดังนั้นจึงควรจะทราบว่าในการทำงานจริงของนิวรอนหรือเซลล์ประสาทภายในสมองนั้นทำงานกันอย่างไรเสียก่อน

นิวรอนหรือเซลล์ประสาทในสมองของมนุษย์นั้นจะมีหน้าที่หลักสองประการคือทำการคำนวณ และทำการส่งผลที่ได้จากการคำนวณไปยังอีกปลายหนึ่งของเซลล์ประสาทอย่างรวดเร็ว เพื่อให้สามารถส่งผลดังกล่าวไปยังเซลล์อื่นๆ ได้อย่างทัน่วงที่ ซึ่งทั้งหมดนี้จะทำงานโดยอาศัยหลักการทางไฟฟ้า รูปร่างลักษณะของนิวรอนจะแสดงในภาพประกอบ 3-1 ซึ่งจะมีลักษณะคล้ายกับต้นไม้ที่ปราศจากใบ แต่มีกิ่งและรากที่เชื่อมโยงด้วยลำต้น ส่วนของลำต้นนี้เรียกว่าแอกซอน (axon) ในแอกซอนของเซลล์ประสาทจะมีความยาวเพียงหนึ่งมิลลิเมตรเท่านั้น แต่ก็มีบางนิวรอนที่มีแอกซอนที่ยาวมากๆ ตั้งแต่ห้าทศวรรษจนถึงล้านเท่าก็มี การส่งความรู้สึกต่างๆ ก็จะมีอยู่ในรูปของสัญญาณไฟฟ้า เมื่อร่างกายสัมผัสวัตถุสิ่งใดก็จะเกิดสัญญาณไฟฟ้าในรูปแบบของอิมพัลส์

(impulse) ที่มีแรงเคลื่อนไฟฟ้าเพียง 1/10 โวลต์ มีช่วงกว้างของพัลส์เท่ากับ 1/1000 วินาที โดยจะวิ่งไปโมเอ็กซ์ซอนด้วยความเร็ว 500 กิโลเมตรต่อชั่วโมง



ภาพประกอบ 3-1 แสดงรายละเอียดของเซลล์ประสาท

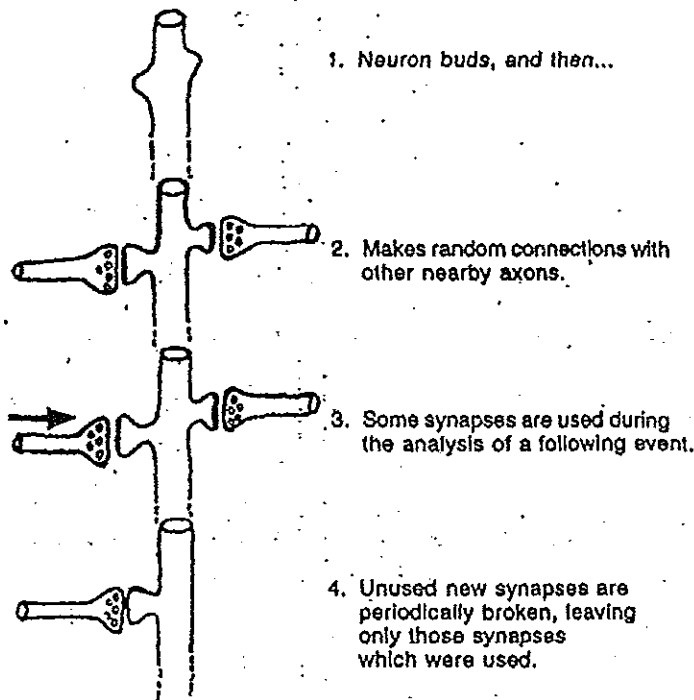
พร้อมด้วยหน้าที่ของส่วนต่างๆ ในเซลล์ประสาท

(ที่มา : Chester, 1993 : 37)

การทำงานของกระแสสัญญาณไฟฟ้าของเซลล์ประสาทจากภาพประกอบ 3-1 จะเริ่มที่ส่วนแรกของซอกเมนตเซต ซึ่งจะทำหน้าที่กำหนดอัตราความเร็วและรูปลักษณะของกระแสอิมพัลส์ดังแสดงไว้ด้วยหมายเลข 1 จากนั้นส่วนต่างๆ จะเป็นเสมือนสถานีทวนสัญญาณพร้อม

กับแรงความเร็วของอิมพัลส์ให้ไปสู่จุดหมายปลายทางที่เรียกว่าอีกซอนเทอร์มินอล (หมายเลข 2) ส่วนต่อมาคือ synaptic transmission ดังแสดงในหมายเลข 3 เป็นส่วนที่ทำการเปลี่ยนแปลงแรงดันที่ตอนปลายของนิวรอน เมื่ออิมพัลส์ปล่อยนิวโรทรานสมิตเตอร์แพคเกจ (neurotransmitter packet) ออกจากอีกซอนเทอร์มินอล ในขั้นตอนสุดท้าย จะเป็นการเริ่มสัญญาณใหม่ตรงส่วนปลายของนิวรอนในรูปแรงดันสุทธิ (net voltage result) เพื่อที่จะเป็นจุดเริ่มต้นของนิวรอนถัดไป ในส่วนของการส่งสัญญาณอิมพัลส์ภายในร่างการนั้นจะอาศัยการส่งสัญญาณต่อกันเป็นทอดๆ ของเซลล์ต่อไปเรื่อยๆ จากเซลล์หนึ่งไปยังอีกเซลล์หนึ่งโดยมีประสาทที่เชื่อมโยงตัวทรานสดิวเซอร์ (transducer) ในผิวหนังเข้ากับสมอง อิมพัลส์จะส่งต่อกันได้จะอาศัยสารเคมีที่มีประจุไฟฟ้าเป็นตัวกระตุ้น ในส่วนที่เป็นรอยต่อระหว่างเซลล์ประสาทสองเซลล์เรียกว่าซินแนปส์ (synapse) ส่วนสิ่งที่ก่อให้เกิดอาการเช่นนี้คือ การเปลี่ยนแปลงของแรงดันในขณะใดขณะหนึ่งซึ่งส่งผลทางเคมีอีกที ส่วนนิวโรทรานสมิตเตอร์จะเป็นสารเคมีอย่างหนึ่งที่จะเป็นตัวก่อให้เกิดการเปลี่ยนแปลงแรงดันในตอนปลายของเซลล์ประสาท ด้วยเหตุนี้การทำงานของยาระงับปวดหรือยานอนหลับจะอาศัยหลักของการเข้ามาแทรกแซงกระบวนการทางเคมีที่มีหน้าที่ในการเชื่อมโยงเซลล์ประสาทสองเซลล์ตรงจุดที่เรียกว่าซินแนปส์ ด้วยการลดหรือเพิ่มความเข้มในการเชื่อมโยง (strength of connection) ดังกล่าว

การเรียนรู้และความทรงจำเป็นคุณสมบัติที่สำคัญที่สุดในการนำมาใช้งาน การเรียนรู้ของมนุษย์ไม่ได้เกิดจากการเปลี่ยนแปลงทางเคมีชีวภาพเพียงอย่างเดียว แต่ต้องมีการเปลี่ยนแปลงทางด้านกายวิภาค (anatomical alterations) ควบคู่ไปด้วย ซึ่งการเปลี่ยนแปลงทางกายวิภาคนี้จะไม่เกิดกับนิวรอนหรือซินแนปส์เพียงตัวเดียวหรือจุดเดียว คือจะเกิดกับหลายๆ นิวรอนพร้อมๆ กัน เมื่อถึงเวลาหนึ่งนิวรอนก็จะหมดหน้าที่ไป แต่การลบเลือนของความทรงจำจะไม่เหมือนกับการสลายไปของนิวรอน นิวรอนตัวหนึ่งจะร่วมงานกับนิวรอนอีกหลายตัวเพื่อก่อให้เกิดรูปแบบของความทรงจำสำหรับเรื่องใดเรื่องหนึ่งขึ้นในสมอง หมายความว่าความจำในเรื่องหนึ่งๆ มักเกิดจากการเปลี่ยนแปลงของนิวรอนหลายๆ ตัว และจะเกิดในส่วใดส่วหนึ่งของสมอง โดยแต่ละส่วของสมองจะแบ่งหน้าที่และความถนัดในเรื่องที่ต่างกันออกไป



ภาพประกอบ 3-2 แสดงรูปแบบของความทรงจำระยะยาวในรูปของการจดจำแบบภาพถ่าย
(ที่มา : Chester, 1993 : 40)

จากภาพประกอบ 3-2 จะเป็นรูปแบบของความทรงจำระยะยาวในการจดจำภาพถ่าย ซึ่งต้องอาศัยตัวนิรeronเป็นกลไกสำคัญ 4 ขั้นตอนด้วยกันคือ

1. นิรeronแตกหน่อออกมา
2. หน่อที่แตกออกมาจะต่อกับแอกซอนที่อยู่ใกล้ โดยไม่มีกฎเกณฑ์ที่แน่นอน

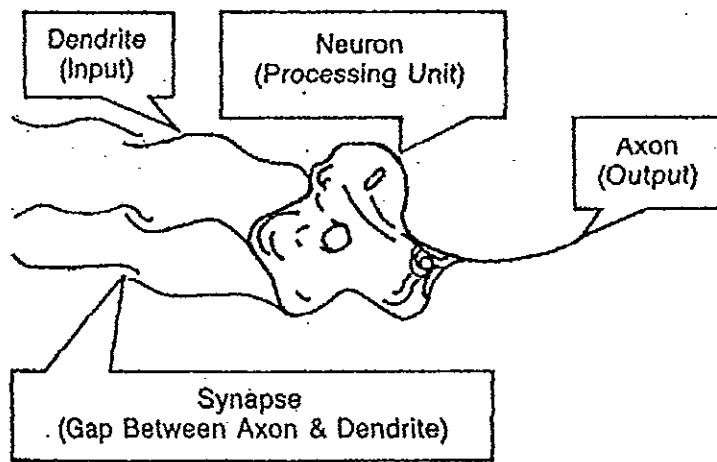
(random connections)

3. ซินแนปส์บางตัวจะวิเคราะห์เหตุการณ์ในขณะใดขณะหนึ่ง

4. แสดงการหลุดร่วงของซินแนปส์ที่ไม่ได้ใช้งาน ซึ่งการหลุดร่วงนี้จะเกิดขึ้นเป็นครั้งคราวไป คงเหลือแต่ซินแนปส์ที่ยังคงใช้งานเท่านั้น

ทั้งหมดนี้เป็นการมองเห็นระบบของนิรeronในทางสรีรวิทยาประสาทอย่างคร่าวๆ ต่อมาผู้ที่พยายามที่จะลอกเลียนพฤติกรรมของนิรeronทั้งในรูปของฮาร์ดแวร์และซอฟต์แวร์ในรูปของคอมพิวเตอร์ เพราะพฤติกรรมทางสมองแบบนี้สามารถทำให้สิ่งที่คอมพิวเตอร์ทำได้ยากหรือไม่ได้เลยให้เป็นไปได้ โดยการมองนิรeronในแบบที่แสดงดังภาพประกอบ 3-3 จะเป็นนิรeronตัว

เดียวที่มีส่วนเดินไดรต์ (dendrites) เป็นส่วนรับข้อมูลแบบหลายช่องทาง และมีแอกซอนเป็นส่วนที่นำข้อมูลออกเพียงทางเดียว ในทางปฏิบัติแล้วนิวรอนตัวนี้จะทำงานเชื่อมโยงกับนิวรอนตัวอื่นๆ อีกหลายตัวโดยใช้พัลส์ทางไฟฟ้าเพื่อทำให้เอาต์พุตมีอิทธิพลต่อไปยังนิวรอนตัวอื่นๆ การมองนิวรอนในทัศนยะของคอมพิวเตอร์นั้นจะประกอบไปด้วย อินพุต โปเรสเซซิงยูนิต และเอาต์พุต พร้อมทั้งช่องซินแนปส์ที่เป็นช่องว่างระหว่างแอกซอนกับเดินไดรต์ นอกจากนี้ยังสามารถฝึกนิวรอนแต่ละตัวให้เพิ่มหรือลดหรือเป็นทางผ่านของอินพุตต่างๆ รวมทั้งปิดกั้นไม่ให้อินพุตผ่านไปยังเซลล์หรือนิวรอนอื่นๆ ได้ ส่วนกิจกรรมของนิวรอนนั้นจะขึ้นกับความเป็นมาในอดีตว่าได้รับการฝึกฝนมาเช่นไร



ภาพประกอบ 3-3 แสดงรูปแบบการมองนิวรอนของคอมพิวเตอร์
(ที่มา : Tager, 1994 : 22)

สรุปได้ว่านิวรอนเหล่านี้คือรากฐานระบบประสาทของมนุษย์รวมทั้งการทำหน้าที่ในด้านการคิดคำนึงต่างๆด้วย จำนวนนิวรอนที่มีอยู่ในสมองของมนุษย์นั้นมีมากมายเหลือเกิน แต่ถ้าจะดูเฉพาะบริเวณที่เรียกว่าคอร์เทกซ์นั้นจะมีนิวรอนประมาณ 10^{10} ตัว โดยนิวรอนแต่ละตัวจะเชื่อมโยงกับนิวรอนตัวอื่นอีกนับพันตัว เชื่อกันว่าความรู้ทั้งหมดของมนุษย์จะเก็บไว้ในจุดเชื่อมโยง (connections) ต่างๆ และขึ้นอยู่กับความเข้มของการเชื่อมโยงด้วย สิ่งเหล่านี้ทำให้มนุษย์สามารถเรียน คิด จดจำ หรือระลึกถึงสิ่งที่จำไว้ เพื่อที่จะสามารถนำไปใช้ประโยชน์ได้อย่างฉับพลัน จึงเป็นความมหัศจรรย์ที่คอมพิวเตอร์ไม่สามารถทำได้

นิวรอนเน็ตเวิร์กในทัศนยะของคอมพิวเตอร์นั้นจะประกอบไปด้วย หน่วยโปรเซสซิงที่เชื่อมโยงกันหลายตัว ทำงานในลักษณะขนานกับไปคล้ายกับนิวรอนในสมองของมนุษย์ เพื่อ

แปลงข้อมูลจากรูปแบบหนึ่งไปสู่อีกรูปแบบหนึ่ง การใช้นิวรอลเน็ตเวิร์กนี้จะเป็นไปรูปแบบของการสอนให้คอมพิวเตอร์เรียนรู้แทนที่จะเป็นการป้อนโปรแกรมให้กับคอมพิวเตอร์ จุดมุ่งหมายของการสอนนิวรอลเน็ตเวิร์กหรือการป้อนข้อมูลที่ต้องการให้คอมพิวเตอร์เรียนรู้คือการทำให้ระบบคอมพิวเตอร์นี้สามารถแสดงคำตอบในรูปแบบที่ต้องการได้ ซึ่งก็จะเป็นการป้อนข้อมูลที่ถือว่ารู้อยู่แล้วเข้าไปให้นิวรอลเน็ตเวิร์ก พร้อมด้วยค่าเอาต์พุตที่ต้องการให้นิวรอลเน็ตเวิร์กนั้นแสดงออกมา จากนั้นนิวรอลเน็ตเวิร์กจะทำการคำนวณและปรับค่าตัวเลขน้ำหนักเองโดยใช้กฎเกณฑ์ต่างๆ เข้าช่วย จนกระทั่งเอาต์พุตที่ได้ออกมานั้นถูกต้องแม่นยำอยู่ในเกณฑ์ที่น่าพอใจ ส่วนตัวเลขที่เป็นกลไกที่ทำให้นิวรอลเน็ตเวิร์กสามารถเรียนรู้และจดจำได้นั้นจะอยู่ในรูปที่เรียกว่า เมตริกส์น้ำหนักของรอยต่อระหว่างเซลล์ประสาท ลักษณะการทำงานแบบนี้จะทำให้ผู้ใช้นิวรอลเน็ตเวิร์กสามารถที่จะป้อนข้อมูลใหม่ๆ เข้าไปแล้วปล่อยให้มันเป็นหน้าที่ของนิวรอลเน็ตเวิร์กชนิดนั้นๆ ที่จะหาทางที่จะจัดการปรับตัวเพื่อที่จะหาคำตอบนั้นๆ เอง ความก้าวหน้าของนิวรอลเน็ตเวิร์กในปัจจุบันเป็นไปอย่างรวดเร็ว ทำให้สามารถแก้ปัญหาให้กับงานบางประเภทที่ไม่สามารถทำได้ในอดีตเช่น ความสามารถในการรับข้อมูลที่ไม่สมบูรณ์แล้วสามารถทำงานได้จนสัมฤทธิ์ผลและให้คำตอบในแบบที่ผู้ใช้งานพึงพอใจ คุณสมบัติที่สำคัญของนิวรอลเน็ตเวิร์กมี 3 ประการคือ การทำงานในหน่วยโปรเซสซึ่งแบบขนาน ทำให้เกิดความรวดเร็วในการคำนวณและสามารถฝึกฝนเป็นโครงข่ายแบบนี้ได้, ความสมบูรณ์สมบัตินในการทำงานในแง่ที่ว่าถ้ามีส่วนใดส่วนหนึ่งเสียไปก็ยังมีส่วนที่เหลือทำหน้าที่คำนวณต่อไปได้ (fault tolerant) และความสามารถในการจัดการข้อมูลที่หลากหลายได้ แต่จะต่างกับการทำงานของคอมพิวเตอร์คือ คอมพิวเตอร์สามารถให้คำตอบจากการคำนวณที่มีความละเอียดแม่นยำสูง ดังเปรียบเทียบไว้ในตาราง 3-1

รูปแบบของนิวรอลเน็ตเวิร์กส่วนใหญ่จะมีองค์ประกอบที่สำคัญเช่น รูปแบบการเรียนรู้ภายในส่วนโปรเซสซึ่ง มีการบวก การคูณ การลบตัวเลขบรรจุอยู่ หน่วยโปรเซสซึ่งในนิวรอลเน็ตเวิร์กจะทำงานสัมพันธ์กันโดยขึ้นกับการเชื่อมโยงกันหมดทุกส่วนหรือเชื่อมโยงเพียงบางส่วนก็ได้ การสร้างนิวรอลเน็ตเวิร์กต้องเริ่มด้วยการพิจารณาจาก เรื่องของการเชื่อมต่อกันภายใน (interconnection) และ สถาปัตยกรรมที่สนับสนุนการสร้างนิวรอลเน็ตเวิร์กให้เป็นไปได้

ตาราง 3-1 แสดงข้อแตกต่างของการคิดแบบนิวรอลเน็ตเวิร์กกับการคิดของคอมพิวเตอร์

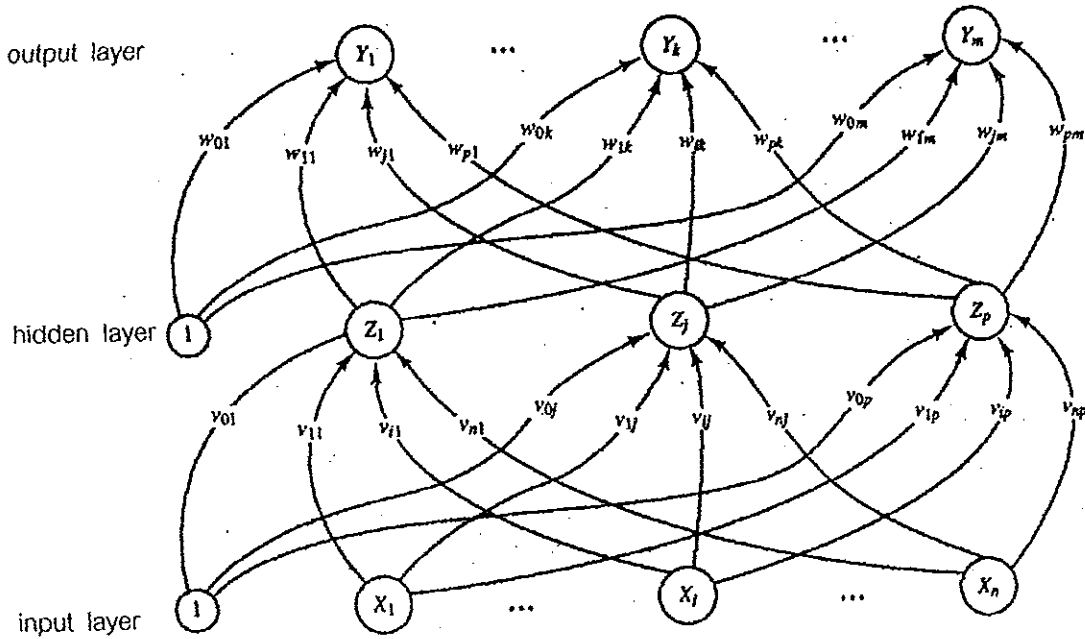
Computer	Neural Networks
Process digital data in binary form.	Process analog signals that fluctuate continuously.
Make yes/no decisions based on mathematical or logical functions.	Make weighted decisions based on fuzzy, incomplete and contradictory data.
Rigidly structured sequence of operations with predictable results.	Independently formulated methods of data processing.
Definitive answers, given enough time.	Approximate answers to highly complex problems.
Sort large data bases for exact matches.	Sort large data bases for close matches.
Specific data storage.	Associative data storage.

(ที่มา : Nelson, 1991 : 68)

3.3 นิวรอลเน็ตเวิร์กแบบแพร่กลับ (Backpropagation Neural Network) [Fausett , 1994]

3.3.1 ที่มาของนิวรอลเน็ตเวิร์กแบบแพร่กลับ

ในปี ค.ศ.1970 ได้เริ่มมีการนำนิวรอลเน็ตเวิร์กมาใช้กันแต่เป็นแบบที่มีชั้นซ่อนเพียงชั้นเดียว จากนั้นได้มีผู้วิจัยได้ทำการเรียนรู้แบบเป็นวงรอบขึ้นมา โดยในช่วงแรกมีชื่อที่ใช้เรียกรูปแบบนี้ว่า backpropagation of errors หรือ generalized delta rule ซึ่งวิธีนี้จะเป็นการนำค่าความผิดพลาดที่เอาต์พุตกลับมาใช้ในการคำนวณภายในระบบอีกครั้ง โดยทั่วไปธรรมชาติของการเรียนรู้ในนิวรอลเน็ตเวิร์กแบบแพร่กลับนี้จะประกอบไปด้วยสองส่วนหลักคือ ส่วนของการเรียนรู้ และส่วนของการทดลองนำไปใช้งานจริง



ภาพประกอบ 3-4 แสดงนิเวศน์เวิร์กแบบแพร่กลับ 1 ชั้นซ่อน

3.3.2 ฟังก์ชันโอนย้าย (Transfer Function)

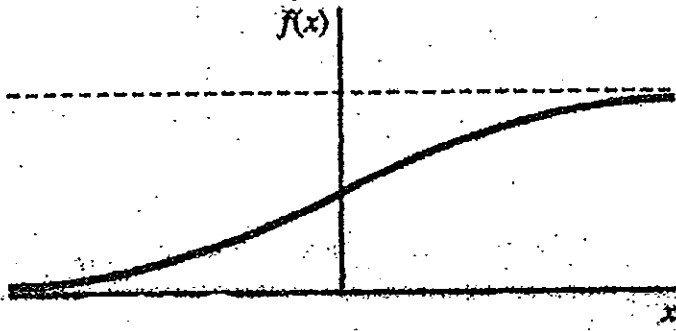
ฟังก์ชันโอนย้ายเป็นขั้นตอนหนึ่งที่ต้องใช้ในการผ่านค่า เพื่อที่จะปรับค่าให้อยู่ในช่วงใดช่วงหนึ่งก่อนที่จะนำไปใช้งานในขั้นต่อไป ฟังก์ชันโอนย้ายที่ใช้สำหรับนิเวศน์เวิร์กแบบแพร่กลับนี้ มีอยู่ 2 ประเภทคือ binary sigmoid function และ bipolar sigmoid function

3.3.2.1 Binary Sigmoid Transfer Function เป็นหนึ่งในหลายๆ ชนิดของฟังก์ชันโอนย้ายที่ใช้งานกันอยู่ในนิเวศน์เวิร์ก ซึ่งผลที่ได้จากการผ่านค่าเข้าไปในฟังก์ชันโอนย้ายนั้นจะอยู่ในช่วง 0 ถึง 1 โดยมีขั้นตอนการทำงานภายในฟังก์ชันโอนย้ายดังนี้

$$f_1(x) = \frac{1}{1 + \exp(-x)} \quad \dots(3-1)$$

และ หลังจากที่ทำอนุพันธ์สมการ (3-1) แล้วจะได้

$$f_1'(x) = f_1(x)[1 - f_1(x)] \quad \dots(3-2)$$



ภาพประกอบ 3-5 แสดงการตอบสนองของ binary sigmoid transfer function

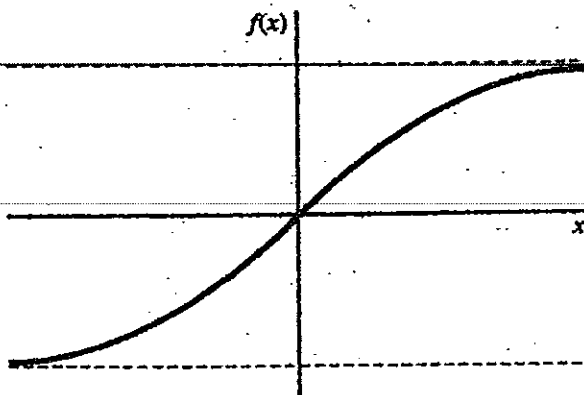
(ที่มา : Fausett, 1994 : 293)

3.3.2.2 Bipolar Sigmoid Transfer Function เป็นฟังก์ชันโอนย้ายอีกชนิดหนึ่งที่เป็นที่นิยมใช้กันมากในโครงข่ายประสาทเทียมแบบแพร่กลับ ซึ่งผลที่ได้จากการผ่านค่าเข้าไปในฟังก์ชันโอนย้ายนั้นจะอยู่ในช่วง -1 ถึง 1 โดยมีขั้นตอนการทำงานภายในฟังก์ชันโอนย้ายดังนี้

$$f_2(x) = \frac{2}{1 + \exp(-x)} - 1 \quad \dots(3-3)$$

และ หลังจากที่ทำอนุพันธ์สมการ (3-3) แล้วจะได้

$$f_2'(x) = \frac{1}{2} [1 + f_2(x)][1 - f_2(x)] \quad \dots(3-4)$$



ภาพประกอบ 3-6 แสดงการตอบสนองของ bipolar sigmoid transfer function

(ที่มา : Fausett, 1994 : 294)

3.3.3 ดัชนีชี้สมรรถนะ

ในนิเวศน์เน็ตเวิร์กแบบแพร่กลับนี้จะใช้อัลกอริทึมการประมาณค่า และดัชนีชี้สมรรถนะคือค่าเฉลี่ยกำลังสองของความผิดพลาด ในการแพร่กลับนั้น การหาค่าอนุพันธ์ของความผิดพลาดเมื่อเทียบกับน้ำหนักสำหรับนิเวศน์เน็ตเวิร์กแบบชั้นเดียวจะไม่ซับซ้อนมากนัก แต่ในนิเวศน์เน็ตเวิร์กที่มากกว่า 1 ชั้นขึ้นไป อนุพันธ์ระหว่างน้ำหนักกับค่าความผิดพลาดของโครงข่ายจะมีความซับซ้อนมากขึ้น การคำนวณจึงต้องมีการใช้กฎลูกโซ่ (chain rule) เข้าช่วย อัลกอริทึมการแพร่กลับสำหรับโครงข่ายหลายชั้น จะได้ดัชนีสมรรถนะเช่นเดียวกับอัลกอริทึม LMS (least mean square algorithm) คือค่าเฉลี่ยของความผิดพลาดกำลังสอง ซึ่งจะมีวิธีการคำนวณดังนี้

เมื่อให้กลุ่มข้อมูลในการเรียนรู้และเป้าหมายคือ $\{p_1, t_1\}, \{p_2, t_2\}, \dots, \{p_q, t_q\}$ เมื่อป้อนอินพุตให้กับโครงข่าย เอาต์พุตของโครงข่ายจะถูกเปรียบเทียบกับค่าเป้าหมาย อัลกอริทึมจะทำการปรับค่าต่างๆ ของโครงข่าย เพื่อให้ค่าเฉลี่ยของความผิดพลาดกำลังสองมีค่าน้อยที่สุด โดยที่ค่าเฉลี่ยของความผิดพลาดกำลังสองคือ

$$F(x) = E[e^2] = E[(t - a)^2] \quad \dots(3-5)$$

ถ้าโครงข่ายมีหลายเอาต์พุต สมการทั่วไปของโครงข่ายจาก (3-5) จะได้

$$F(x) = E[e^T e] = E[(t - a)^T (t - a)] \quad \dots(3-6)$$

เหมือนกับ LMS อัลกอริทึม จะสามารถประมาณค่าเฉลี่ยของความผิดพลาดกำลังสองได้เท่ากับ

$$F(x) = (t(k) - a(k))^T (t(k) - a(k)) = e^T(k) e(k) \quad \dots(3-7)$$

เมื่อทราบดังนี้ การประมาณค่าเฉลี่ยของความผิดพลาดกำลังสองของน้ำหนักคือ

$$w_{i,j}^m(k+1) = w_{i,j}^m(k) - \alpha \frac{\partial F}{\partial w_{i,j}^m} \quad \dots(3-8)$$

ในส่วนขอค่าไบอัสคือ

$$b_i^m(k+1) = b_i^m(k) - \alpha \frac{\partial F}{\partial b_i^m} \quad \dots(3-9)$$

กฎลูกโซ่ (chain rule) เป็นกฎที่ใช้สำหรับการคำนวณอนุพันธ์สำหรับโครงข่ายหลายชั้น เพราะค่าความผิดพลาดเป็นฟังก์ชันโดยอ้อมของน้ำหนักในชั้นซ่อน การคำนวณค่าอนุพันธ์สามารถทำได้โดยใช้กฎลูกโซ่นี้ ถ้าฟังก์ชัน f มีความชัดเจนว่าขึ้นอยู่กับตัวแปร n แล้ว จะต้องมีการหาค่าอนุพันธ์ของ f เมื่อเทียบกับตัวแปรตัวที่สามคือ w จะได้ว่า

$$\frac{\partial f(n(w))}{\partial w} = \frac{\partial f(n)}{\partial n} \times \frac{\partial n(w)}{\partial w} \quad \dots(3-10)$$

เราสามารถใช้หลักการนี้กับสมการที่ (3-8) และ (3-9) จะได้เป็นสมการที่ (3-11) และ (3-12) ตามลำดับดังนี้

$$\frac{\partial F}{\partial w_{i,j}^m} = \frac{\partial F}{\partial n_i^m} \times \frac{\partial n_i^m}{\partial w_{i,j}^m} \quad \dots(3-11)$$

$$\frac{\partial F}{\partial b_i^m} = \frac{\partial F}{\partial n_i^m} \times \frac{\partial n_i^m}{\partial b_i^m} \quad \dots(3-12)$$

สำหรับเทอมที่สองของสมการที่ (3-11) และ (3-12) สามารถหาได้ง่ายเพราะชัดเจนว่าอินพุตของชั้นที่ m จะขึ้นอยู่กับค่าน้ำหนักและค่าไบอัสของชั้นนั้น

$$n_i^m = \sum_{j=1}^{s^{m-1}} w_{i,j}^m a_j^{m-1} + b_i^m \quad \dots(3-13)$$

ดังนั้น

$$\frac{\partial n_i^m}{\partial w_{i,j}^m} = a_j^{m-1}, \quad \frac{\partial n_i^m}{\partial b_i^m} = 1 \quad \dots(3-14)$$

ถ้าจะให้ว่า s_i^m คือความไวของ F ที่เปลี่ยนแปลงที่ i ของอินพุตชั้นที่ m จะได้

$$s_i^m = \frac{\partial F}{\partial n_i^m} \quad \dots(3-15)$$

และสมการที่ (3-11) และ (3-12) จะเขียนได้เป็น

$$\frac{\partial F}{\partial w_{i,j}^m} = s_i^m a_j^{m-1} \quad \dots(3-16)$$

$$\frac{\partial F}{\partial b_i^m} = s_i^m \quad \dots(3-17)$$

เราจะได้สมการของ steepest descent ดังนี้

$$w_{i,j}^m(k+1) = w_{i,j}^m(k) - \alpha s_i^m a_j^{m-1} \quad \dots(3-18)$$

$$b_i^m(k+1) = b_i^m(k) - \alpha s_i^m \quad \dots(3-19)$$

เมื่อ s^m หมายถึงความไวของชั้นที่ m นั้นจะสามารถคำนวณความไวได้จากชั้นที่ $m+1$ ได้ดังนี้

$$\begin{aligned} \frac{\partial n_i^{m+1}}{\partial n_j^m} &= \frac{\partial \left(\sum_{l=1}^n w_{i,l}^{m+1} a_l^m + b_i^{m+1} \right)}{\partial n_j^m} = w_{i,j}^{m+1} \frac{\partial a_j^m}{\partial n_j^m} \\ &= w_{i,j}^{m+1} \frac{\partial f^m(n_j^m)}{\partial n_j^m} = w_{i,j}^{m+1} \dot{f}^m(n_j^m) \quad \dots(3-20) \end{aligned}$$

เมื่อ

$$\dot{f}^m(n_j^m) = \frac{\partial f^m(n_j^m)}{\partial n_j^m} \quad \dots(3-21)$$

ดังนั้นจะสามารถเขียนสมการของความไวโดยใช้กฎลูกโซ่ได้ดังนี้

$$\begin{aligned} s^m &= \frac{\partial F}{\partial n^m} = \left(\frac{\partial n^{m+1}}{\partial n^m} \right)^T \frac{\partial F}{\partial n^{m+1}} \\ &= \dot{f}^m(n^m) (W^{m+1})^T \frac{\partial F}{\partial n^{m+1}} \end{aligned}$$

$$= \dot{F}^m(n^m)(W^{m+1})^T s^{m+1} \quad \dots(3-22)$$

จะพบว่าความไวของนิเวศคณิตเวกเตอร์แบบแพร่กลับจะเริ่มแพร่จากชั้นสุดท้ายแล้วจึง
ย้อนไปเรื่อยๆ จนถึงชั้นแรกสุดคือ

$$s^m \rightarrow s^{m-1} \rightarrow \dots \rightarrow s^2 \rightarrow s^1 \quad \dots(3-23)$$

เพื่อให้การแพร่กลับสมบูรณ์จึงจะต้องหาค่าความไวของการแพร่กลับในชั้นสุดท้าย

ซึ่งหาได้จาก

$$\begin{aligned} s_i^m &= \frac{\partial F}{\partial n_i^m} = \frac{\partial (t - a)^T (t - a)}{\partial n_i^m} \\ &= \frac{\partial \sum_{j=1}^v (t_j - a_j)^2}{\partial n_i^m} = -2(t_i - a_i) \frac{\partial a_i}{\partial n_i^m} \quad \dots(3-24) \end{aligned}$$

เนื่องจาก

$$\frac{\partial a_i}{\partial n_i^m} = \frac{\partial a_i^m}{\partial n_i^m} = \frac{\partial f^m(n_i^m)}{\partial n_i^m} = \dot{f}^m(n_i^m) \quad \dots(3-25)$$

จะได้ว่า

$$s_i^m = -2(t_i - a_i) \dot{f}^m(n_i^m) \quad \dots(3-26)$$

ดังนั้นจะสามารถสรุปขั้นตอนการแพร่กลับของโครงข่ายได้ดังนี้ เมื่อป้อนอินพุตให้กับ

โครงข่ายจะได้

$$a_0 = p \quad \dots(3-27)$$

$$a^{m+1} = f^{m+1}(W^{m+1}a^m + b^{m+1}) \quad \dots(3-28)$$

จากสมการ (3-28) สำหรับ $m = 0, 2, \dots, m-1$ ฉะนั้น

$$a = a^m \quad \dots(3-29)$$

ขั้นตอนต่อไปเป็นการแพร่ค่าความไวกลับเข้าสู่โครงข่าย

$$s^M = -2F^M(n^M)(t - a) \quad \dots(3-30)$$

$$s^m = F^m(n^m)(W^{m+1})^T s^{m+1} \quad \dots(3-31)$$

จากสมการ (3-31) สำหรับ $m = M-1, \dots, 2, 1$ และท้ายที่สุดจะได้ค่าน้ำหนักและไบอัสเท่ากับ

$$W^m(k+1) = W^m(k) - \alpha s^m (a^{m-1})^T \quad \dots(3-32)$$

$$b^m(k+1) = b^m(k) - \alpha s^m \quad \dots(3-33)$$

โดยที่ s^m_i	คือความไวที่เปลี่ยนเทอมที่ i ของอินพุตชั้นที่ m
α	คืออัตราการเรียนรู้
$F(x)$	คือค่าเฉลี่ยของความผิดพลาดกำลังสอง
e	คือค่าความผิดพลาด
t	คือค่าเป้าหมาย
a	คือค่าเอาต์พุตที่ได้จากการ feedforward ของรอบนั้นๆ
W	คือเมตริกซ์น้ำหนัก
b	คือค่าไบอัส

3.3.4 โครงสร้างและสถาปัตยกรรม

นิวรอลเน็ตเวอร์กแบบนี้เป็นโครงข่ายที่สามารถที่จะมีชั้นซ่อนได้มากกว่าหนึ่งชั้นซ่อน เป็นนิวรอลเน็ตเวอร์กที่ประกอบไปด้วยส่วนหลักๆ 3 ส่วนคือ ชั้นอินพุต (X) ชั้นซ่อน (Z) และชั้นเอาต์พุต (Y) ดังภาพประกอบ 3-4 โครงสร้างการทำงานในส่วนของ การเรียนรู้จะแบ่งออกเป็น 3 ขั้นตอนใหญ่ๆ คือ ขั้นตอนการส่งข้อมูลแพร่ไปข้างหน้า (feedforward) โดยมีข้อมูลอินพุตคือข้อมูลที่ต้องการให้โครงข่ายเรียนรู้ ต่อมาเป็นขั้นตอนของการแพร่กลับโดยนำค่าความผิดพลาดที่ได้

จากการคำนวณครั้งสุดท้ายนำกลับมาใช้คำนวณในการแพร่กลับอีกครั้ง และขั้นตอนสุดท้ายจะเป็นการปรับค่าน้ำหนักในแต่ละชั้นที่ได้จากการคำนวณในรอบนั้น เพื่อให้เป็นค่าน้ำหนักของโครงข่ายในปัจจุบัน

การทำงานของนิวรอลเน็ตเวิร์กแบบแพร่กลับนี้จะต้องมีการเตรียมการหรือต้องการข้อมูลพื้นฐานบางอย่างก่อน จึงจะสามารถทำงานได้ การเตรียมการพื้นฐานดังกล่าวคือ

- ต้องทราบจำนวนของชั้นซ่อน (hidden layer) ที่จะใช้งานก่อน
- ต้องทราบจำนวนเซลล์ในแต่ละชั้นซ่อนว่ามีจำนวนเท่าใด
- ต้องทราบจำนวนเซลล์ของชั้นเอาต์พุต
- ต้องทราบค่าความผิดพลาด (error) เพื่อให้เป็นจุดสิ้นสุดการเรียนรู้ของโครงข่าย

การเรียนรู้ของนิวรอลเน็ตเวิร์กแบบแพร่กลับนี้จะมีการทำงานโดยเริ่มจาก ระบบจะทำการสุ่มค่าน้ำหนักเริ่มต้นสำหรับทุกๆ ชั้นเพื่อใช้ในการคำนวณเสียก่อน จากนั้นจึงรับอินพุต (X) เข้ามา แล้วจึงทำการแพร่อินพุตผ่านค่าน้ำหนักที่มีอยู่แล้วส่งผลไปยังแต่ละเซลล์ของชั้นซ่อนที่ 1 (Z) ก่อนที่จะส่งไปถึงชั้นซ่อนที่หนึ่งได้นั้นต้องมีการผ่านฟังก์ชันโอนย้าย (transfer function) ลึ้นหนึ่งก่อน ในกรณีที่มาชั้นซ่อนมากกว่า 1 ชั้นซ่อน ก็ให้ทำแบบเดิมโดยใช้ข้อมูลเข้าเป็นข้อมูลที่มาจากเอาต์พุตของชั้นก่อนหน้า เมื่อทำการแพร่ไปถึงชั้นซ่อนชั้นสุดท้าย ผลที่ได้ออกมาจากชั้นซ่อนชั้นสุดท้ายนั้นก็จะเป็นชั้นเอาต์พุต (Y_n) ของระบบ จากนั้นจึงนำค่าจากชั้นเอาต์พุตไปเปรียบเทียบกับค่าเป้าหมาย (t_n) ในแต่ละเซลล์ ซึ่งค่าความแตกต่างที่ได้จะหมายถึงค่าความผิดพลาด (error) ของรอบการคำนวณนั้น ค่าความผิดพลาดที่ได้นั้นจะถูกใช้ในการคำนวณในขั้นตอนของการแพร่กลับในภายหลัง โดยใช้ค่าความผิดพลาดมาคำนวณร่วมกับค่าของเซลล์ในแต่ละชั้น ผลที่ได้จากการคำนวณจะนำไปใช้ในการปรับน้ำหนัก w_{jk} และ v_j ดังภาพประกอบ 3-4

บทที่ 4

การออกแบบ

4.1 ความเบื้องต้น

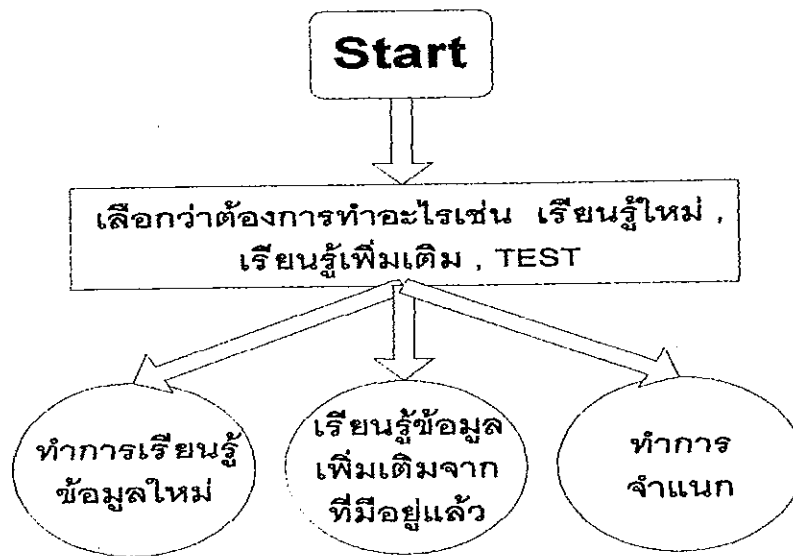
การใช้งานกระบวนการจำแนกลายวงจรพิมพ์ให้ได้ประสิทธิภาพที่ดีนั้น จะขึ้นอยู่กับ อัลกอริทึมของไมโครโพรเซสเซอร์ การปรับปรุงภาพลายวงจรพิมพ์ และความละเอียดของอุปกรณ์รับภาพที่ใช้ในการรับภาพลายวงจรเข้ามา เนื่องจากในการวิจัยนี้ได้จำกัดอุปกรณ์รับภาพเป็น กล้อง CCD ในการออกแบบกระบวนการทำงานทั้งหมดจึงต้องเริ่มที่รับภาพและทำการปรับปรุง ภาพลายวงจรพิมพ์นั้น

4.2 อุปกรณ์ที่ใช้ในการทดลอง

- คอมพิวเตอร์รุ่น เพนเทียม 150 เมกะเฮิร์ซ ที่มีหน่วยความจำแรม 32 เมกะไบต์
- capture TV ยี่ห้อ Tekram รุ่น M205
- กล้อง CCD ที่สามารถรับภาพได้ขนาด 320 x 240 จุด สามารถรับภาพเข้ามา เป็นภาพระดับเทา ซึ่งมีค่าความละเอียดอยู่ที่ 96 จุดต่อนิ้ว

4.3 การออกแบบกระบวนการจำแนก

ในขั้นตอนการออกแบบกระบวนการทั้งหมดมีรูปแบบของการทำงานที่สามารถสรุปได้ 3 รูปแบบคือ ทำการเรียนรู้ข้อมูลใหม่ ทำการเรียนรู้ข้อมูลเพิ่มเติมจากที่มีอยู่แล้วและการทำการ จำแนก ดังภาพประกอบ 4-1 ซึ่งจะแสดงให้เห็นถึงลักษณะงานโดยรวมของการจำแนกลายวงจร พิมพ์ โดยการทำงานของทั้งสามรูปแบบก็ต้องอาศัยขั้นตอนที่สำคัญมาประกอบกัน โดยมีขั้นตอน ในการทำงานที่คล้ายกันดังนี้คือ การรับภาพ ปรับปรุงภาพลายวงจรพิมพ์ การใช้นิวรอลเน็ตเวิร์กเรียนรู้ภาพลายวงจรพิมพ์ และการใช้นิวรอลเน็ตเวิร์กในการจำแนก



ภาพประกอบ 4-1 แสดงรูปแบบการทำงานโดยรวมของการจำแนกลาย วงจรพิมพ์

4.3.1 การออกแบบการรับภาพลายวงจรพิมพ์จากกล้อง CCD

การออกแบบกระบวนการทำงานทั้งหมดจึงต้องเริ่มที่รับภาพและทำการปรับปรุงภาพลายวงจรพิมพ์นั้น จากนั้นจึงจะเริ่มทำงานในส่วนของนิวรอลเน็ตเวิร์กเพื่อการเรียนรู้และจำแนก ในขั้นตอนการรับภาพและปรับปรุงภาพนี้เป็นส่วนที่ต้องพิจารณาด้วยตนเองจะให้ประสิทธิภาพที่ดีกว่าการทำเป็นอัตโนมัติ ด้วยการพิจารณาว่าภาพที่ได้สามารถนำไปใช้เรียนรู้หรือจำแนกได้หรือยัง ถ้ายังนำไปใช้ไม่ได้ก็ต้องผ่านการปรับปรุงภาพด้วยวิธีต่างๆ วิธีใดบ้างที่ต้องใช้ในการปรับปรุงภาพเพื่อให้ภาพนั้นสามารถนำไปใช้ในขั้นตอนต่อไปได้ ความรู้ที่ได้จากบทที่ 2 เกี่ยวกับการรับและปรับปรุงภาพ ได้นำมาสู่การออกแบบในส่วนนี้ ในการรับภาพลายวงจรพิมพ์ต้องรับในขนาด 320 x 240 จุด ซึ่งเป็นภาพระดับเทา เราจึงออกแบบให้เมตริกซ์ที่ใช้ในการทำงานมีขนาดที่เท่ากัน แล้วนำไปเก็บในรูปแบบของไฟล์ข้อมูลหนึ่ง ในส่วนของการรับภาพลายวงจรพิมพ์จะมีขั้นตอนทั้งหมดดังนี้

(1) เปิดแฟ้มข้อมูลภาพ

(2) อ่านข้อมูล header ของภาพและเก็บข้อมูลที่ต้องใช้ในการทำงาน เช่น ขนาดของภาพ (กว้าง, ยาว), ชนิดของภาพ (bmp, tif ฯลฯ), บิตต่อจุด ฯลฯ

(3) อ่านข้อมูลภาพครั้งละแถว นั่นคือครั้งละ 240 จุดภาพ จนครบทั้ง 320 แถว นำไปเก็บในอาร์เรย์แบบเมตริกซ์ เพื่อใช้ในการปรับปรุงภาพต่อไป

(4) ปิดแฟ้มข้อมูลภาพ โดยข้อมูลภาพที่รับเข้ามามีจุดเริ่มต้นของคู่ลำดับอยู่ที่มุมบนด้านซ้าย ซึ่งข้อมูลภาพที่เก็บเข้ามามีค่าจะเรียงจากมุมบนซ้ายไปทางขวา และจากบนลงล่าง

โปรแกรมที่พัฒนาขึ้นนี้เราจะใช้ชื่อว่า โปรแกรมการรับภาพลายวงจรมิติ โดยโปรแกรมจะมีขั้นตอนการทำงานดังที่กล่าวไว้แล้ว

4.3.2 การออกแบบการปรับปรุงภาพลายวงจรมิติ

4.3.2.1 Image Thresholding

ขั้นตอนนี้เป็นการตัดพื้นหลังของลายวงจรมิติ เพื่อให้เหลือเพียงลายวงจรมิติที่เป็นลายทองแดงเท่านั้น ในขั้นตอนนี้อาจจะต้องมีการ thresholding 2 ระดับใน 1 ภาพ เนื่องจากค่าความสว่างที่ให้กับภาพในขณะรับภาพมีค่าไม่เท่ากัน นั่นคือ บางที่มีมืดมาก แต่บางที่สว่างมาก ซึ่งเป็นสิ่งที่เกิดขึ้นได้ ขั้นตอนการทำ image thresholding มีดังนี้

- 1) เปิดไฟล์ภาพที่ต้องการใช้งาน
- 2) เลือกค่า T เพื่อใช้ในการแบ่งภาพพื้นหลังกับลายวงจรมิติออกจากกัน
- 3) แสดงภาพหลังจากทำ thresholding แล้ว เมื่อเห็นว่าภาพที่ได้สามารถแสดงถึงลายวงจรมิติได้ชัดที่สุดแล้วทำข้อ 4) ถ้ายังไม่ดีพอ ทำข้อ 2) อีกครั้ง
- 4) เขียนภาพที่ได้ลงไฟล์
- 5) ปิดไฟล์ที่เปิดทั้งหมด

วิธีการปรับปรุงภาพวิธีนี้ จะเป็นการนำค่าระดับเทาของทุก pixel มาเปรียบเทียบกับค่า threshold ที่ตั้งไว้ ถ้าค่าระดับเทามีค่ามากกว่าค่า threshold ค่าระดับเทาที่ pixel นั้นจะถูกเปลี่ยนค่าเป็น 1 ถ้าน้อยกว่าหรือเท่ากับค่า threshold ให้เปลี่ยนค่าที่ pixel นั้นเป็น 0 จะเห็นว่าผลที่ได้จากการใช้งานจะเป็นภาพแบบไบนารี คือมีเพียงสีขาวและดำเท่านั้นที่แสดงอยู่ในภาพ โปรแกรมที่พัฒนาขึ้นนี้เราจะใช้ชื่อว่า โปรแกรม threshold โดยโปรแกรมจะมีขั้นตอนการทำงานดังที่กล่าวไว้แล้ว

4.3.2.2 Brightness

ขั้นตอนนี้เป็นการเพิ่มหรือลดค่าความสว่างให้กับภาพลายวงจรมิติที่มีอยู่ ใช้สำหรับกรณีที่ภาพที่รับเข้ามามีค่าความสว่างไม่เพียงพอ ขึ้นอยู่กับการสังเกตของผู้ใช้งานเอง

ว่าความสว่างที่มีอยู่นั้นเพียงพอกับการใช้งานหรือไม่ ขั้นตอนนี้ควรทำก่อนการทำ image thresholding ซึ่งมีขั้นตอนการทำงานดังนี้

- 1) เปิดไฟล์ภาพที่ต้องการใช้งาน
- 2) เลือกค่าความสว่างที่ต้องการเพิ่มหรือลดในภาพนั้น
- 3) แสดงภาพหลังจากทำการลดหรือเพิ่มความสว่างให้กับภาพนั้นๆ ถ้าเห็นว่าภาพที่ได้สามารถแสดงถึงลายวงจรพิมพ์ได้ชัดที่สุดแล้วทำข้อ 4) ถ้ายังไม่ดีพอ ทำข้อ 2) อีกครั้ง

4) เขียนภาพที่ได้ลงไฟล์

5) ปิดไฟล์ที่เปิดทั้งหมด

โปรแกรมที่พัฒนาขึ้นนี้เราจะใช้ชื่อว่า โปรแกรม brightness โดยโปรแกรมจะมีขั้นตอนการทำงานดังที่กล่าวไว้แล้ว

4.3.2.3 Contrast Correction

ขั้นตอนนี้เป็นเครื่องมือที่จะช่วยให้ภาพลายวงจรพิมพ์เด่นชัดขึ้น โดยสามารถแบ่งแยกลายวงจรกับภาพพื้นหลังให้ชัดเจนขึ้น โดยใช้การคูณทุกๆ จุดในภาพด้วยค่าค่าหนึ่ง การกระทำต่อภาพด้วยวิธีนี้ ค่าของทุกจุดในภาพจะมีค่าเพิ่มขึ้นเป็นทวีคูณตามค่าที่ได้คูณเข้าไป ซึ่งจะส่งผลให้ค่าระดับเทาในภาพมีความแตกต่างกันมากขึ้น มีขั้นตอนการทำงานดังนี้

1) เปิดไฟล์ภาพที่ต้องการใช้งาน

2) เลือกค่าตัวคูณที่ต้องการใช้ (ควรใช้ค่าไม่เกิน 2)

3) แสดงภาพหลังจากทำการคูณให้กับภาพนั้นๆ เมื่อเห็นว่าภาพที่ได้สามารถแสดงถึงลายวงจรพิมพ์ได้ชัดที่สุดแล้วทำข้อ 4) ถ้ายังไม่ดีพอ ทำข้อ 2) อีกครั้ง

4) เขียนภาพที่ได้ลงไฟล์

5) ปิดไฟล์ที่เปิดทั้งหมด

โปรแกรมที่พัฒนาขึ้นนี้เราจะใช้ชื่อว่า โปรแกรม contrast โดยโปรแกรมจะมีขั้นตอนการทำงานดังที่กล่าวไว้แล้ว

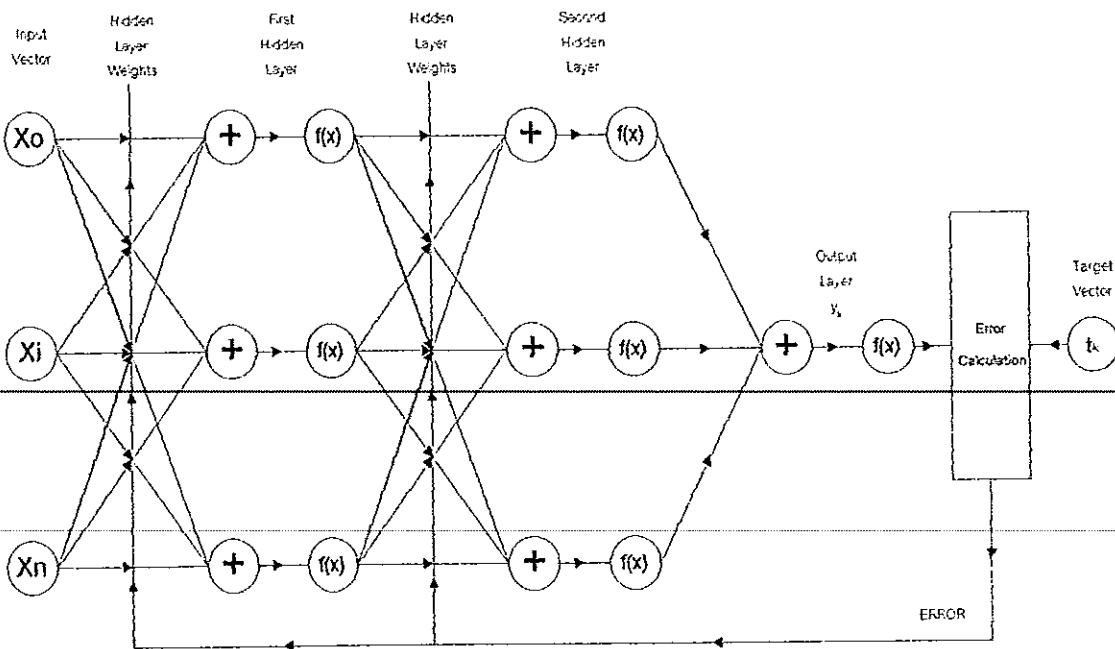
4.4 การออกแบบนิรอลเน็ตเวิร์กแบบแพร่กลับ

4.4.1 นิรอลเน็ตเวิร์กในส่วนของส่งค่าไปข้างหน้า

การออกแบบการทำงานในส่วนนี้จะเป็นส่วนหนึ่งของการทำงานในนิรอลเน็ตเวิร์กแบบแพร่กลับ มีหน้าที่ในการคำนวณด้วยการคูณ การบวกและทำการส่งค่าที่ได้ผ่านฟังก์ชันโอน

ย้าย ทำเช่นนี้ไปจนกระทั่งส่งค่าถึงชั้นเอาต์พุตก็เป็นอันสิ้นสุดขั้นตอนการทำงานของ การส่งค่าไปข้างหน้า (feedforward) โดยโปรแกรมที่พัฒนาขึ้นนี้จะเป็นโครงข่ายประสาทที่สามารถใช้จำนวนของชั้นซ่อนได้ 1-5 ชั้น แต่ในการทดลองจะใช้จำนวนชั้นซ่อน 1-2 ชั้น ดังภาพประกอบ 4-2 ในแต่ละชั้นซ่อนสามารถกำหนดจำนวนเซลล์ได้ 1-120,000 เซลล์ โดยที่มีการรับค่าองค์ประกอบในการทำงานของนิวรอนเน็ตเวิร์กในช่วงของการเรียนรู้ข้อมูลใหม่ คือ ค่าความผิดพลาด (ในการทำการศึกษานี้ใช้ค่าความผิดพลาดที่ 0.13) จำนวนชั้นซ่อน จำนวนเซลล์ในแต่ละชั้นซ่อน

ก่อนที่จะมีการส่งข้อมูลภาพที่ได้จากการรับภาพและปรับปรุงภาพไปให้นิวรอนเน็ตเวิร์กแบบแพร่กลับทำการเรียนรู้และทดสอบนั้น จะต้องมีการจัดเรียงข้อมูลภาพที่ได้ให้อยู่ในรูปแบบของเมตริกซ์ 1 หลักเสียก่อนแล้วจึงส่งไปให้นิวรอนเน็ตเวิร์กทำงานต่อไป เอาต์พุตที่ออกจากนิวรอนเน็ตเวิร์กจะมีขนาด 1 เซลล์เป็นตัวเลขจำนวนจริงที่มีค่าอยู่ในช่วง 0-1 โดยที่ 1 แสดงถึงแผ่นวงจรพิมพ์ที่ดีเหมือนต้นแบบที่ได้เรียนรู้ที่สุด ส่วนค่าเอาต์พุตที่เป็น 0 แสดงถึงแผ่นวงจรพิมพ์ที่ต่างจากต้นแบบที่เรียนรู้ไว้ เมื่อค่าเอาต์พุตที่ได้เกินกว่า 0.6 (เนื่องจาก ที่ค่าเอาต์พุตต่ำกว่า 0.6 อาจจะมีแผ่นลายวงจรพิมพ์ที่เสียถูกจำแนกเป็นแผ่นที่ดี) จึงถือว่าเป็นแผ่นลายวงจรพิมพ์ที่ใช้ได้



ภาพประกอบ 4-2 แสดงรูปแบบการส่งค่าไปข้างหน้าของนิวรอนเน็ตเวิร์ก 2 ชั้นซ่อน

การทำงานของนิวรอลเน็ตเวิร์กแบบแพร่กลับจะมีการออกแบบขั้นตอนในการทำงานดังนี้

1) นำทุกๆ ค่าอินพุตในชั้นนั้น คูณกับค่าน้ำหนักในชั้นนั้น แล้วนำผลที่ได้ทั้งหมดมารวมกันดังสมการที่ (4-1)

$$z_{in_i} = v_{0_i} + \sum_{i=1}^n x_i v_{ij} \quad \dots(4-1)$$

โดยที่	z_{in_i}	หมายถึงค่าที่ได้จากการคูณน้ำหนักกับอินพุต
	v_{0_i}	หมายถึงค่าไบอัส
	x_i	หมายถึงอินพุตที่ใส่เข้าไปคำนวณ
	v_{ij}	หมายถึงค่าน้ำหนักในชั้นนั้นนั้น

2) นำค่าที่ได้จาก 1) ในทุกๆ ค่าไปผ่านฟังก์ชันโอนย้ายเพื่อให้ได้เป็นค่าเอาต์พุตของการส่งค่าไปข้างหน้าของชั้นนั้นๆ

3) เก็บค่าที่ได้จากทุกชั้นไว้ในไฟล์เพื่อนำไปใช้ในการแพร่กลับในครั้งต่อไป

โปรแกรมที่พัฒนาขึ้นนี้เราจะใช้ชื่อว่า โปรแกรมนิวรอลเน็ตเวิร์กในส่วนของส่งค่าไปข้างหน้า โดยโปรแกรมจะมีขั้นตอนการทำงานดังที่กล่าวไว้แล้ว

4.4.2 นิวรอลเน็ตเวิร์กในส่วนของแพร่กลับของค่าความผิดพลาด

เป็นส่วนที่จะทำการคำนวณค่าความไว และค่าความผิดพลาดและส่งองค์ประกอบของค่าความผิดพลาดนั้นไปใช้ในการหาค่าเพื่อการแพร่กลับซึ่งจะมีขั้นตอนดังนี้

1) นำค่าเป้าหมาย (t_k) ไปลบกับค่าที่ได้จากการ feedforward ของชั้นสุดท้าย (y_k)

2) คำนวณหา δ_k จากสมการ (4-2)

$$\delta_k = (t_k - y_k) f'(y_{in_k}) \quad \dots(4-2)$$

3) คำนวณหาค่าน้ำหนักที่เปลี่ยนแปลงไปจากสมการ (4-3)

$$\Delta w_{jk} = \alpha \delta_k z_j \quad \dots(4-3)$$

4) จากนั้นจึงจะคำนวณค่าของน้ำหนักที่เปลี่ยนแปลงในชั้นต่อมาได้จาก

$$\delta_{in_i} = \sum_{k=1}^m \delta_k w_{jk} \quad \dots(4-4)$$

$$\delta_{i'} = \delta_{in} f'(z_{in}) \quad \dots(4-5)$$

น้ำหนักที่เปลี่ยนแปลงในชั้นนี้คือ

$$\Delta v_{i'} = \alpha \delta_{i'} x_{i'} \quad \dots(4-6)$$

5) ทำขั้นตอนที่ 4) จนกระทั่งถึงชั้นที่มีค่าน้ำหนักชั้นอินพุต

6) เก็บค่าน้ำหนักที่เปลี่ยนไปที่ได้จากทุกชั้นไว้ในไฟล์เพื่อนำไปใช้ในปรับค่าน้ำหนักก่อนที่จะทำการ feedforward ในครั้งต่อไป

โดยที่	r	คือการทำอนุพันธ์
	δ	คือค่าความไวที่จะนำไปคำนวณในส่วนของ การแพร่กลับ
	Z_j	คือค่าในชั้นซ่อนที่ต้องการแพร่กลับมีจำนวน j เซลล์
	X_i	คือค่าของเซลล์ในชั้นอินพุตจำนวน i เซลล์

โปรแกรมที่พัฒนาขึ้นนี้เราจะใช้ชื่อว่า โปรแกรมนิรอลเน็ตเวอร์กในส่วนของ การแพร่กลับของค่าความผิดพลาด โดยโปรแกรมจะมีขั้นตอนการทำงานดังที่กล่าวไว้แล้ว

4.4.3 นิรอลเน็ตเวอร์กในส่วนของ การปรับค่าน้ำหนัก

ในส่วนนี้จะเป็นการนำค่าน้ำหนักที่คำนวณได้มาทำการปรับเปลี่ยนร่วมกับค่าน้ำหนักเดิมในแต่ละชั้นซ่อน เพื่อให้ได้เป็นค่าน้ำหนักใหม่ในการนำไปใช้คำนวณในรอบต่อไป เนื่องจากการปรับค่าน้ำหนักจะเป็นการปรับข้อมูลทั้งหมด จำนวนค่าน้ำหนักที่เปลี่ยนไปในแต่ละชั้นซ่อนจะต้องมีจำนวนเท่ากับค่าน้ำหนักเดิม ซึ่งจะมีขั้นตอนการทำงานดังนี้

1) อ่านค่าน้ำหนักจากไฟล์ และค่าน้ำหนักที่เปลี่ยนแปลงจากผลของการแพร่กลับค่าความผิดพลาด

2) ทำการปรับค่าน้ำหนักในแต่ละชั้น ดังสมการ 4-7 และ 4-8

$$v_{i'}(new) = v_{i'}(old) + \Delta v_{i'} \quad \dots(4-7)$$

$$w_{j'}(new) = w_{j'}(old) + \Delta w_{j'} \quad \dots(4-8)$$

โดยที่ $\Delta v_{i'}$ คือค่าน้ำหนักของชั้นซ่อนที่ 1

$\Delta w_{j'}$ คือค่าน้ำหนักของชั้นแอตต์พุต

3) เขียนค่าน้ำหนักที่ได้ใหม่ลงไฟล์เพื่อใช้ในการ feedforward ในครั้งต่อไป

โปรแกรมที่พัฒนาขึ้นนี้เราจะใช้ชื่อว่า โปรแกรมนิรอลเน็ตเวอร์กในส่วนของ การปรับค่าน้ำหนัก โดยโปรแกรมจะมีขั้นตอนการทำงานดังที่กล่าวไว้แล้ว

4.5 สรุปการออกแบบระบบการทำงาน

เนื่องจากการทำงานของระบบจำแนกโดยรวมมีทางเลือกให้ทำได้ 3 อย่างคือ ทำการเรียนรู้ข้อมูลใหม่ ทำการเรียนรู้ข้อมูลเพิ่มเติมจากที่มีอยู่แล้วและการทำการจำแนก ดังที่กล่าวมาแล้วในตอนต้นของบทนี้ ซึ่งใน 3 ทางเลือกนั้นจะประกอบไปด้วยขั้นตอนบางขั้นตอนของเนื้อหาในบท ดังนี้

4.5.1 การทำการเรียนรู้ข้อมูลใหม่จะประกอบด้วย

- 1) โปรแกรมการรับภาพลายวงจรมิมพ์
- 2) โปรแกรมการปรับปรุงภาพลายวงจรมิมพ์
- 3) โปรแกรมนิรขลเน็ตเวิร์กในส่วนของส่งค่าไปข้างหน้า
- 4) โปรแกรมนิรขลเน็ตเวิร์กในส่วนของแพร่กลับของค่าความผิดพลาด
- 5) โปรแกรมนิรขลเน็ตเวิร์กในส่วนของปรับค่าน้ำหนัก

4.5.2 การทำการเรียนรู้ข้อมูลเพิ่มเติมจากที่มีอยู่แล้ว

- 1) โปรแกรมการออกแบบการรับภาพลายวงจรมิมพ์
- 2) โปรแกรมการปรับปรุงภาพลายวงจรมิมพ์
- 3) เก็บข้อมูลภาพใหม่ที่ต้องการเรียนรู้ลงไฟล์ข้อมูลภาพที่ใช้ในการเรียนรู้
- 4) อ่านข้อมูลไฟล์น้ำหนักเดิมที่ได้เรียนรู้เอาไว้ก่อนแล้ว
- 5) โปรแกรมนิรขลเน็ตเวิร์กในส่วนของส่งค่าไปข้างหน้า
- 6) โปรแกรมนิรขลเน็ตเวิร์กในส่วนของแพร่กลับของค่าความผิดพลาด
- 7) โปรแกรมนิรขลเน็ตเวิร์กในส่วนของปรับค่าน้ำหนัก

4.5.3 การทำการจำแนก

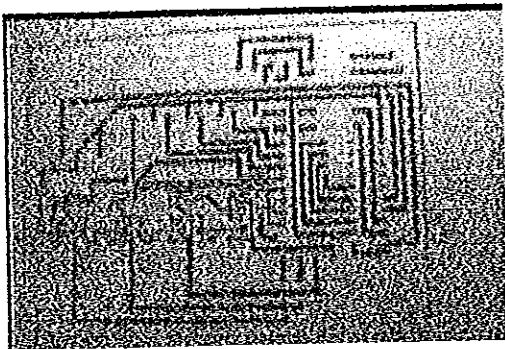
- 1) โปรแกรมการรับภาพลายวงจรมิมพ์
- 2) โปรแกรมการปรับปรุงภาพลายวงจรมิมพ์
- 3) จัดข้อมูลภาพเพื่อใช้ในการจำแนก
- 4) อ่านข้อมูลไฟล์น้ำหนักเดิมที่ได้เรียนรู้เอาไว้ก่อนแล้ว
- 5) โปรแกรมนิรขลเน็ตเวิร์กในส่วนของส่งค่าไปข้างหน้า

บทที่ 5

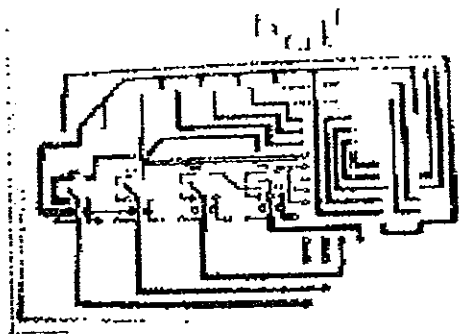
ผลการทดลอง

5.1 ผลการปรับปรุงภาพ

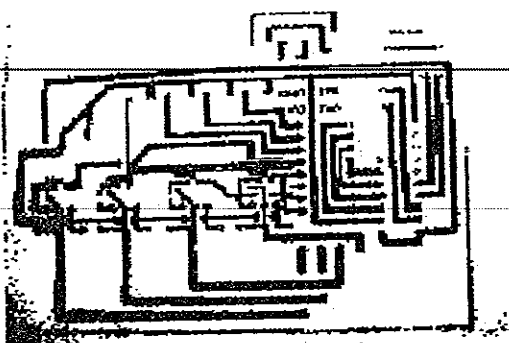
เนื่องจากกระบวนการจำแนกได้ใช้วิธีการเดียวในการปรับปรุงภาพคือ thresholding เพื่อที่จะทำการตัดในส่วนพื้นหลังของภาพออกไป ให้เหลือเพียงเส้นลายวงจรมิพท์ ผลจากการทดสอบในส่วนของการปรับปรุงภาพด้วยวิธีการ thresholding ทั้งในแบบที่ใช้ค่า threshold ค่าเดียวและหลายค่าในภาพ จะพบว่าวิธีที่ใช้สามารถที่จะตัดภาพพื้นหลังของภาพลายวงจรมิพท์ได้ ทำให้ข้อมูลภาพที่ได้จากการทำ thresholding เหลือเพียงข้อมูล 1 คือพิกเซลที่เป็นสีดำ กับ 0 คือพิกเซลที่เป็นสีขาวเท่านั้น ซึ่งข้อมูลภาพที่เหลือที่ได้เป็นสีดำนั้นก็คือลายวงจรมิพท์ที่ต้องการนำไปให้นิวรอลเน็ตเวิร์กเรียนรู้ และทำการจำแนก



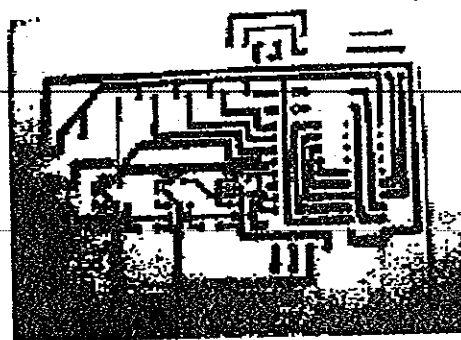
(ก)



(ข)



(ค)



(ง)

ภาพประกอบ 5-1 แสดงผลจากการทำ thresholding ค่าเดียวต่อภาพ จากภาพบนกระดาษ

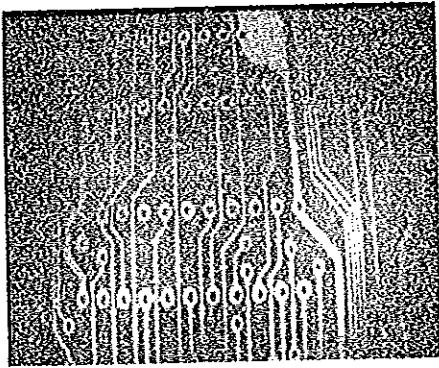
(ก) ภาพที่อ่านได้จากกล้อง CCD ก่อนทำการ thresholding

(ข) ภาพที่ได้หลังจากการทำ thresholding เมื่อค่า threshold = 120

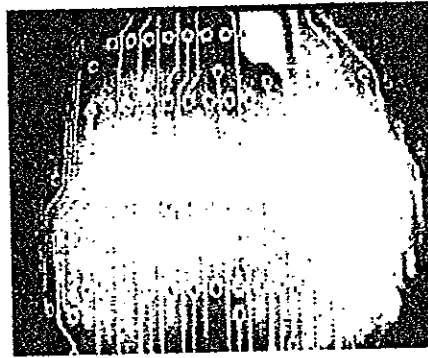
(ค) ภาพที่ได้หลังจากการทำ thresholding เมื่อค่า threshold = 140

(ง) ภาพที่ได้หลังจากการทำ thresholding เมื่อค่า threshold = 160

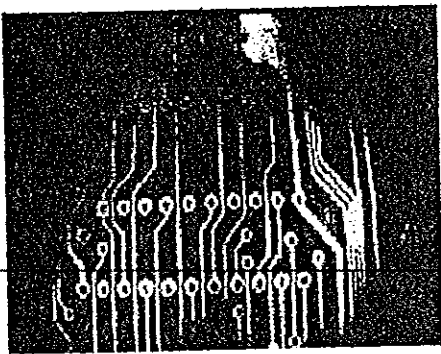
เมื่อทดลองใช้กับภาพลายวงจรมิมพ์ที่รับภาพมาจากลายวงจรมนกระดาษ และเมื่อทำการรับภาพลายวงจรมิมพ์จากแผ่นวงจรมิมพ์ จะพบว่าเมื่อรับภาพจากแผ่นวงจรมิมพ์จริง จะมีปัญหาเกี่ยวกับความสม่ำเสมอของแสงที่ให้กับภาพในตอนที่ได้รับภาพเข้ามา รวมทั้งเกิดการสะท้อนแสงที่ไม่เท่ากันทั้งภาพ ดังภาพประกอบ 5-2



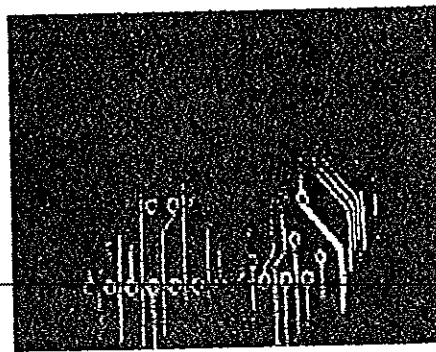
(ก)



(ข)



(ค)



(ง)

ภาพประกอบ 5-2 แสดงผลจากการทำ thresholding ค่าเดียวต่อภาพ จากภาพลายวงจรมิมพ์

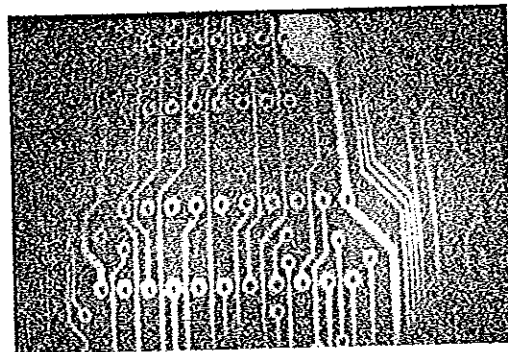
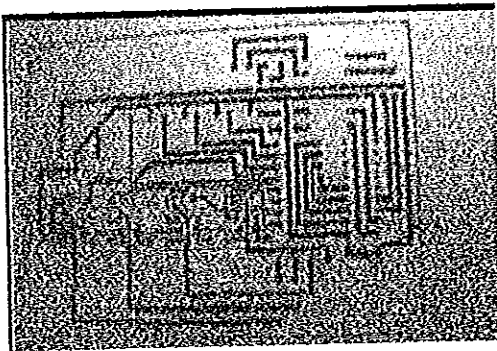
(ก) ภาพที่อ่านได้จากกล้อง CCD ก่อนทำการ thresholding

(ข) ภาพที่ได้หลังจากการทำ thresholding เมื่อค่า threshold = 150

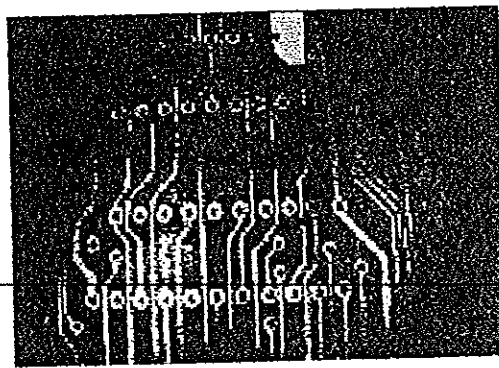
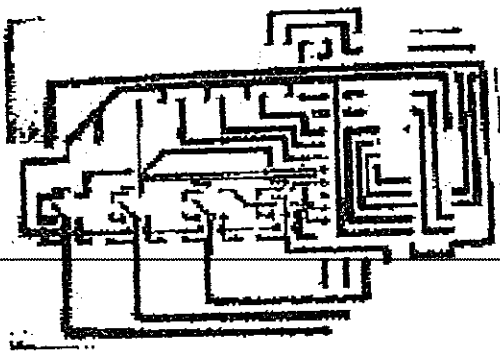
(ค) ภาพที่ได้หลังจากการทำ thresholding เมื่อค่า threshold = 180

(ง) ภาพที่ได้หลังจากการทำ thresholding เมื่อค่า threshold = 250

จากผลที่ได้จากการทำ thresholding ในแบบที่ใช้ค่า threshold เดียวกันทั้งภาพจะพบว่าภาพที่ได้เพื่อใช้ในการเรียนรู้ของนิวรอลเน็ตเวิร์กมีข้อมูลบางช่วงขาดหายไป อันเนื่องมาจากการให้แสงสว่างในภาพลายวงจรพิมพ์เพื่อใช้กับกล้อง ccd ให้ไม่ทั่วถึงทั้งแผ่นลายวงจรพิมพ์ ความสว่างจึงเป็นช่วงๆ ในขั้นตอนการ thresholding จึงต้องมีการใช้ค่า threshold หลายๆ ค่าในภาพเดียว ซึ่งจะได้ผลดังภาพประกอบ 5-3



(ก)



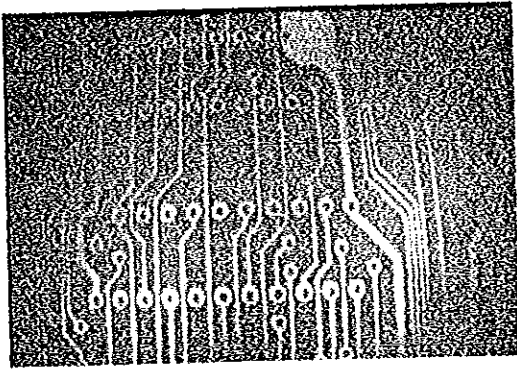
(ข)

ภาพประกอบ 5-3 แสดงผลจากการทำ thresholding สองค่าต่อภาพ

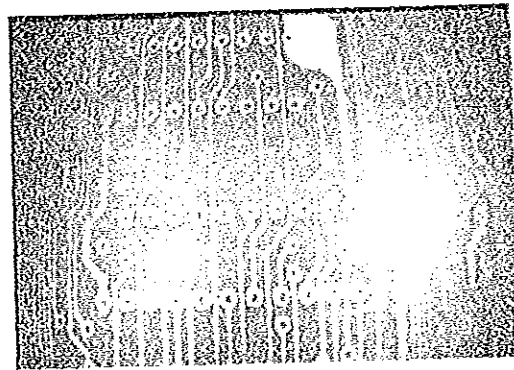
(ก) ภาพที่อ่านได้จากกล้อง CCD ก่อนทำการ thresholding

(ข) ภาพที่ได้หลังจากการทำ thresholding สองค่าต่อภาพ

ผลที่ได้จากการปรับปรุงภาพลายวงจรพิมพ์ด้วยวิธีการเพิ่มค่าความสว่างให้กับภาพ จะพบว่าสามารถทำให้เห็นรายละเอียดภายในภาพได้ชัดเจนขึ้น ดังภาพประกอบ 5-4 แต่ในการเพิ่มค่าความสว่างให้กับภาพนั้น ไม่สมควรที่จะเพิ่มค่าความสว่างมากเกินไป เพราะจะทำให้รายละเอียดหรือองค์ประกอบบางอย่างของภาพหายไปได้ โดยเฉพาะในส่วนที่อยู่ด้านที่ใกล้ขอบภาพ เนื่องจากภาพที่ได้รับมาจากกล้อง ccd ก็มีความผิดเพี้ยนของการมองเห็นเนื่องมาจากความโค้งของเลนส์มากพอสมควรอยู่แล้ว ถ้าทำการเพิ่มความสว่างมากเกินไปจะทำให้ในส่วนกลางของภาพกลายเป็นบริเวณที่เป็นสีขาวจนหมด ข้อมูลภาพจะเสียไปทันที



(ก)



(ข)

ภาพประกอบ 5-4 แสดงผลจากการทำ brightness

(ก) ภาพที่อ่านได้จากกล้อง CCD ก่อนทำการ brightness

(ข) ภาพที่ได้หลังจากการทำ brightness

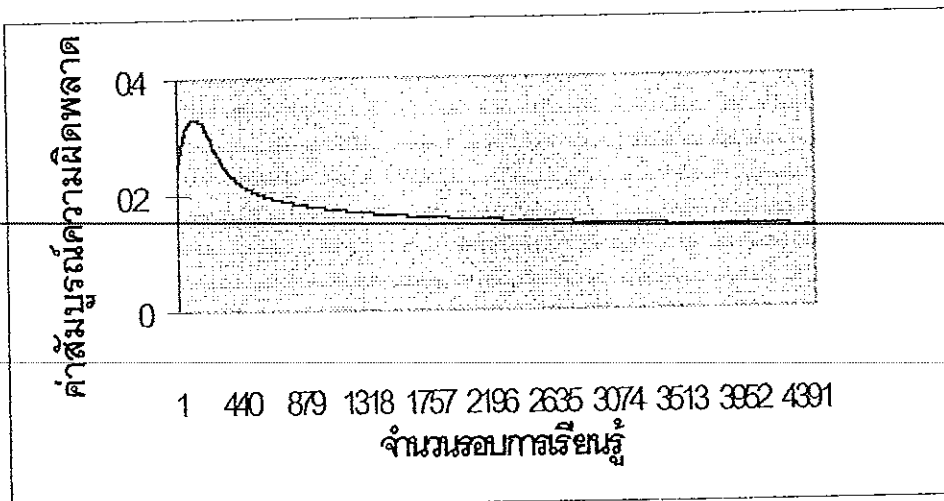
5.2 ผลการใช้นิวรอลเน็ตเวิร์ก

5.2.1 ผลจากการใช้นิวรอลเน็ตเวิร์กในส่วนของ การเรียนรู้

ในการป้อนข้อมูลที่สำคัญบางอย่างเพื่อให้นิวรอลเน็ตเวิร์กนำไปใช้ในการประมวลผลนั้นจะต้องประกอบด้วย จำนวนของชั้นซ่อน จำนวนเซลล์ในแต่ละชั้นซ่อน ค่าความผิดพลาดที่ต้องการ และอัตราการเรียนรู้ ในการทดลองใช้นิวรอลเน็ตเวิร์กแบบแพร่กลับเพื่อสังเกตพฤติกรรมบางอย่างของโครงข่าย พบว่าลักษณะการตอบสนองของนิวรอลเน็ตเวิร์กที่เป็นค่าสัมบูรณ์ความผิดพลาดจะเป็นดังภาพประกอบ 5-5 โดยให้อินพุตเป็นภาพลายวงจรพิมพ์ขนาด 10×10 จุด ใช้นิวรอลเน็ตเวิร์กแบบแพร่กลับ 1 ชั้นซ่อน มีจำนวนเซลล์ 15 เซลล์ ให้ค่าความผิดพลาดที่ 0.13

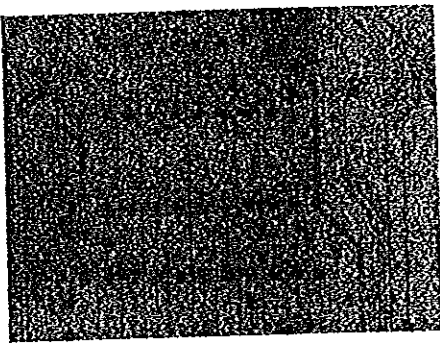
ตาราง 5-1 ถึง 5-3 เป็นการแสดงถึงจำนวนรอบที่นิรอลเน็ตเวอร์กแบบแพร์กัลป์ใช้ในการเรียนรู้ เพื่อสังเกตพฤติกรรมของนิรอลเน็ตเวอร์กและนำผลที่ได้ไปใช้ในการทดลอง โดยที่ภาพลายวงจรมิมพ์ที่เป็นอินพุตให้กับนิรอลเน็ตเวอร์กใช้ภาพลายวงจรมิมพ์ที่ยังไม่ได้เคลือบภาพลายวงจรมิมพ์ที่ใช้ในการเรียนรู้นั้นจะเป็นภาพที่ดีเพียง 1 ภาพ (ภาพขนาด 320×240 นั่นคือมีจำนวน 76,800 พิกเซลต่อภาพ) โดยมีอินพุตเป็นค่าระดับเทาที่อยู่ใต้ออกทุกพิกเซลของภาพลายวงจรมิมพ์จากนั้นจึงทำการทดลองกับนิรอลเน็ตเวอร์กแบบแพร์กัลป์ที่สร้างขึ้นมา ส่วนภาพที่จะให้ผลเป็นภาพลายวงจรมิมพ์ที่เสียนั้นจะมี 2 ภาพ ซึ่งได้มาจากการสุ่มสัญญาณรบกวนลงในภาพลายวงจรมิมพ์ที่ดี หลังจากนั้นจึงนำไปให้นิรอลเน็ตเวอร์กแบบแพร์กัลป์เรียนรู้ ซึ่งผลที่ได้จากการเรียนรู้นี้จะนำไปใช้ในการจำแนก ดังแสดงไว้ในหัวข้อ 5.2.2 โดยที่กำหนดค่าความผิดพลาดที่ 0.13 (โดยให้อัตราการเรียนรู้คงที่คือ 0.85) ส่วนจำนวนเซลล์ที่ใช้ในชั้นซ่อนที่ใช้ในการเรียนรู้ของนิรอลเน็ตเวอร์กแบบแพร์กัลป์นี้ ในแบบ 1 ชั้นซ่อนจะใช้ที่ 100, 500, 1000, 5000, 10000, 50000, 70000 และ 90000 ส่วนในแบบ 2 ชั้นซ่อนจะใช้ที่ 100, 500, 1000, 5000, 10000, 50000, 70000 และ 90000

การใช้งานนิรอลเน็ตเวอร์กแบบแพร์กัลป์ ได้ทำการทดลองให้โครงข่ายตั้งแต่ 1 ชั้นซ่อนไปจนถึง 2 ชั้นซ่อน โดยแบ่งเป็นลายวงจรมิมพ์ที่ยังไม่ได้ทำการเคลือบกับลายวงจรมิมพ์ในแบบที่ทำการเคลือบแล้ว

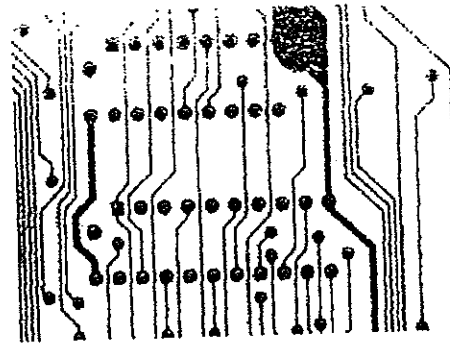


ภาพประกอบ 5-5 แสดงผลการลู่เข้าของค่าสัมบูรณ์ความผิดพลาด

จากการเรียนรู้ของนิรอลเน็ตเวอร์ก 1 ชั้นซ่อน เมื่อกำหนดค่าความผิดพลาด = 0.13



(ก)



(ข)

ภาพประกอบ 5-6 แสดงภาพลายวงจรพิมพ์ที่ใช้ในการทดสอบกับโครงข่าย

(ก) แสดงภาพที่ยังไม่ได้ผ่านกระบวนการปรับปรุงภาพ

(ข) แสดงภาพที่ผ่านกระบวนการปรับปรุงภาพแล้ว

ลักษณะของภาพลายวงจรพิมพ์ที่ใช้ในการเรียนรู้และทดสอบจำแนก จะเป็นลายวงจรพิมพ์ที่มีอยู่ทั่วไป โดยที่เส้นลายวงจรพิมพ์มีทั้งแบบที่เป็นเส้นเล็กๆ หรือเส้นใหญ่ไปจนกระทั่งเป็นแบบพื้นที่ลายวงจรพิมพ์

ตาราง 5-1 แสดงจำนวนรอบการเรียนรู้ของนิวรอลเน็ตเวอร์ก 1 ชั้นซ่อน

จำนวนเซลล์	จำนวนรอบในการเรียนรู้
100	ไม่ลู่เข้า
500	ไม่ลู่เข้า
1,000	ไม่ลู่เข้า
5,000	1,800,000
10,000	530,000
50,000	360,000
70,000	200,000
90,000	230,000
100,000	300,000

ตาราง 5-2 แสดงจำนวนรอบการเรียนรู้ของนิรโรคเน็ตเวิร์ก 2 ชั้นซ่อน

จำนวนเซลล์ในชั้นซ่อนที่ 1	จำนวนเซลล์ในชั้นซ่อนที่ 2	จำนวนรอบในการเรียนรู้
100	100	ไม่ลู่เข้า
500	500	430,000
1,000	1,000	320,000
5,000	5,000	380,000
10,000	10,000	843,000
50,000	50,000	ไม่ลู่เข้า
70,000	70,000	ไม่ลู่เข้า
90,000	90,000	ไม่ลู่เข้า
100,000	100,000	ไม่ลู่เข้า

ตาราง 5-3 แสดงจำนวนรอบการเรียนรู้ของนิรโรคเน็ตเวิร์ก 3 ชั้นซ่อน

จำนวนเซลล์ในชั้นซ่อนที่ 1	จำนวนเซลล์ในชั้นซ่อนที่ 2	จำนวนเซลล์ในชั้นซ่อนที่ 3	จำนวนรอบในการเรียนรู้
100	100	100	ไม่ลู่เข้า
500	500	500	740,000
1,000	1,000	1,000	1,100,000
5,000	5,000	5,000	1,830,000
10,000	10,000	10,000	ไม่ลู่เข้า
50,000	50,000	50,000	ไม่ลู่เข้า
70,000	70,000	70,000	ไม่ลู่เข้า
90,000	90,000	90,000	ไม่ลู่เข้า
100,000	100,000	100,000	ไม่ลู่เข้า

จากการเรียนรู้ของนิรอลเน็ตเวอร์กแบบแพร์กลับจะพบว่า

1) ที่นิรอลเน็ตเวอร์ก 1 ชั้นซ่อน

- นิรอลเน็ตเวอร์กแบบ 1 ชั้นซ่อน เมื่อใช้จำนวนเซลล์น้อยกว่า 5,000 เซลล์ จะทำให้โครงข่ายไม่สามารถเข้าสู่หาค่าความผิดพลาดคงที่ที่กำหนดไว้หรือเรียกว่าไม่ลู่เข้า

- จะมีช่วงของจำนวนเซลล์ในชั้นซ่อนค่าหนึ่งที่จะทำให้จำนวนรอบของการลู่เข้าของค่าความผิดพลาดมีค่าน้อยที่สุดช่วงหนึ่ง

2) ที่นิรอลเน็ตเวอร์ก 2 ชั้นซ่อน

- เมื่อจำนวนเซลล์ในโครงข่ายแบบ 2 ชั้นซ่อน มีจำนวนน้อยหรือมากเกินไป นิรอลเน็ตเวอร์กก็จะไม่สามารถปรับตัวเพื่อให้ค่าความผิดพลาดลู่เข้าได้

- จำนวนรอบที่ใช้ในการลู่เข้าจะสูงกว่าโครงข่ายแบบ 1 ชั้นซ่อน

3) ที่นิรอลเน็ตเวอร์ก 3 ชั้นซ่อน

- โครงข่ายแบบนี้ มีช่วงของเซลล์ในชั้นซ่อนที่สามารถทำให้ค่าความผิดพลาดลู่เข้าได้เพียงช่วง 500 – 10,000 จุด

- จำนวนรอบที่ใช้ในการลู่เข้าจะสูงกว่าโครงข่ายแบบ 1 และ 2 ชั้นซ่อน

5.2.2 ผลจากการใช้นิรอลเน็ตเวอร์กในส่วนของ การทดสอบจำแนก

ผลที่ได้จากการใช้งานนิรอลเน็ตเวอร์กหลังจากที่ได้ทำการเรียนรู้แล้วนั้น จะเป็นการป้อนภาพลายวงจรมุมที่ที่ไม่ได้ให้นิรอลเน็ตเวอร์กใช้ในการเรียนรู้ จำนวน 30 ภาพ โดยที่ทั้งหมดจะมีทั้งภาพลายวงจรมุมที่ให้การจำแนกดีและบกพร่อง เพื่อที่จะทำการสังเกตผลจากการทำงานของโครงข่าย จึงได้ทำการทดสอบการจำแนกดังนี้

- ที่ 1 ชั้นซ่อน มีกลุ่มของลายวงจรมุมที่ 2 แบบคือแบบที่ทำการเคลือบลายวงจรมุมกับแบบที่ยังไม่ได้ทำการเคลือบลายวงจรมุม ใช้จำนวนจุดผิดพลาดในการทดลองให้นิรอลเน็ต

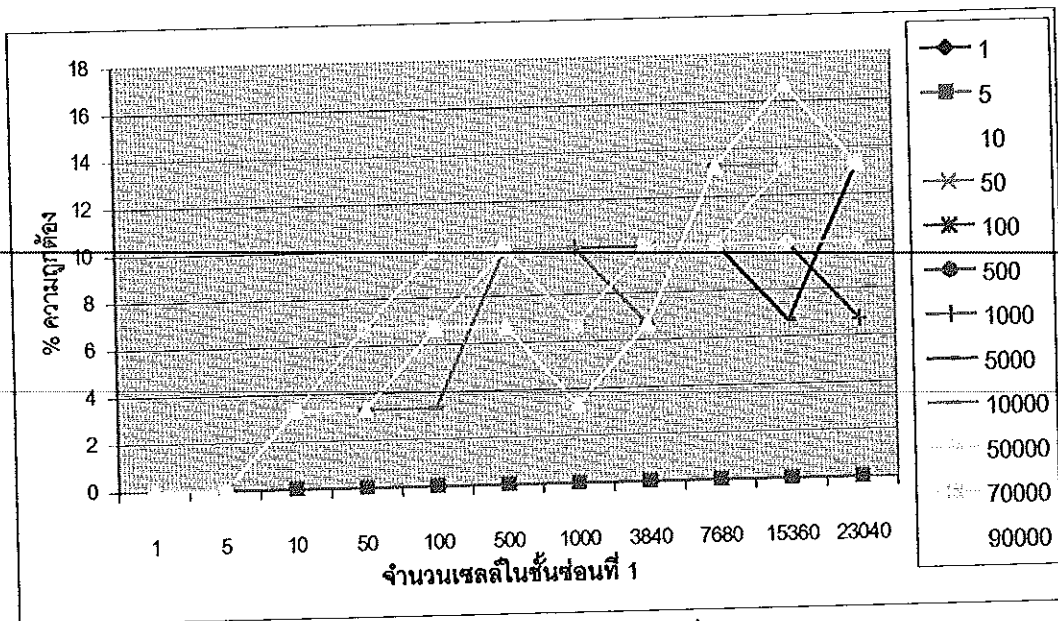
เวอร์กทำการจำแนกที่ 1, 5, 10, 50, 100, 500, 1000, 3840, 7680, 15360 และ 23040 จุด จำนวนเซลล์ในชั้นซ่อนคือ 1, 5, 10, 50, 100, 500, 1000, 5000, 10000, 50000, 70000 และ 90000

- ที่ 2 ชั้นซ่อน ได้ทำการทดสอบเฉพาะลายวงจรมุมที่ยังไม่ได้ทำการเคลือบใช้จำนวนจุดผิดพลาดในการทดลองให้นิรอลเน็ตเวอร์กทำการจำแนกที่ 100, 500, 1000, 3840, 7680, 15360 และ 23040 จุด จำนวนเซลล์ในชั้นซ่อนคือ 100, 500, 1000, 5000, 10000, 50000, 70000 และ 90000

มีผลการทดลองดังแสดงในตารางที่ 5-4 ถึง 5-28

ตาราง 5-4 แสดงความถูกต้องในการจำแนกในแบบ 1 ชั้นซ้อน
เมื่อใช้จำนวนจุดผิดพลาดในการเรียนรู้คือ 1 พิกเซล
กับลายวงจรมิมพ์ที่ยังไม่ได้ทำการเคลือบ

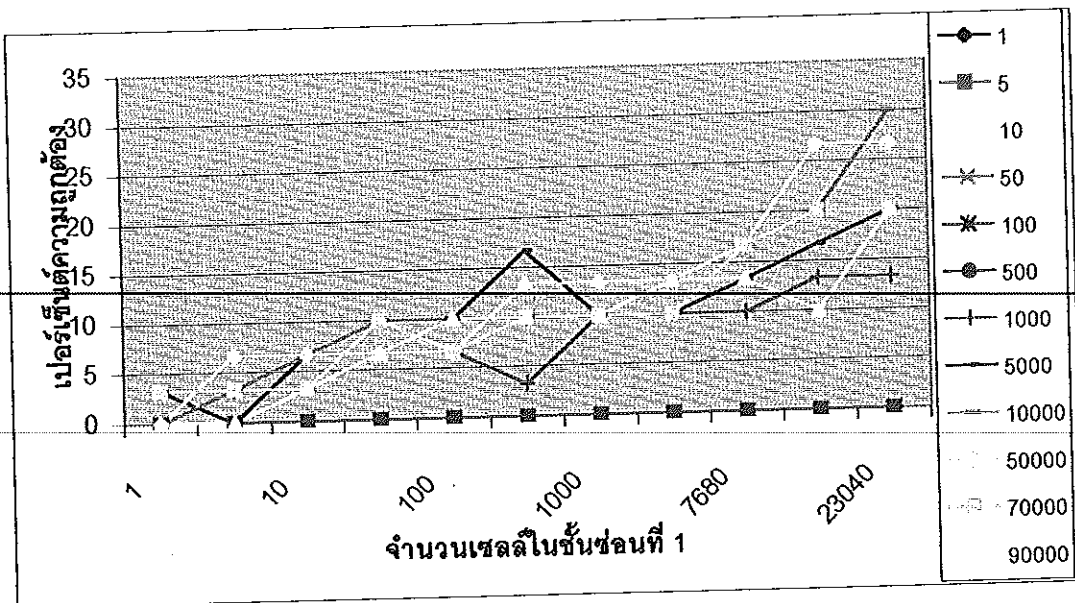
จำนวนเซลล์ ชั้นที่ 1	จำนวนจุดที่ผิดพลาดที่ใช้ในการทดสอบ										
	1	5	10	50	100	500	1000	3840	7680	15360	23040
1	0	0	0	0	0	0	0	0	0	0	0
5	0	0	0	0	0	0	0	0	0	0	0
10	0	0	0	0	0	0	0	0	0	0	0
50	0	0	0	0	0	0	0	0	0	0	0
100	0	0	0	0	0	0	0	0	0	0	0
500	0	0	0	0	0	0	0	0	0	0	0
1000	0	0	3.3	6.7	10	10	10	10	10	10	6.7
5000	0	0	3.3	6.7	6.7	10	10	10	10	6.7	13.3
10000	0	0	3.3	3.3	3.3	10	10	6.7	13.3	13.3	13.3
50000	0	0	3.3	6.7	10	10	6.7	10	10	10	10
70000	0	0	3.3	6.7	6.7	10	6.7	10	10	13.3	13.3
90000	0	0	3.3	3.3	6.7	6.7	3.3	6.7	13.3	16.7	13.3



ภาพประกอบ 5-7 แสดงข้อมูลจากตาราง 5-4 เมื่อนำมาแสดงเป็นกราฟ

ตาราง 5-5 แสดงความถูกต้องในการจำแนกในแบบ 1 ชั้นซ้อน
 เมื่อใช้จำนวนจุดผิดพลาดในการเรียนรู้ 5 พิกเซล
 กับลายวงจรมิมพ์ที่ยังไม่ได้ทำการเคลือบ

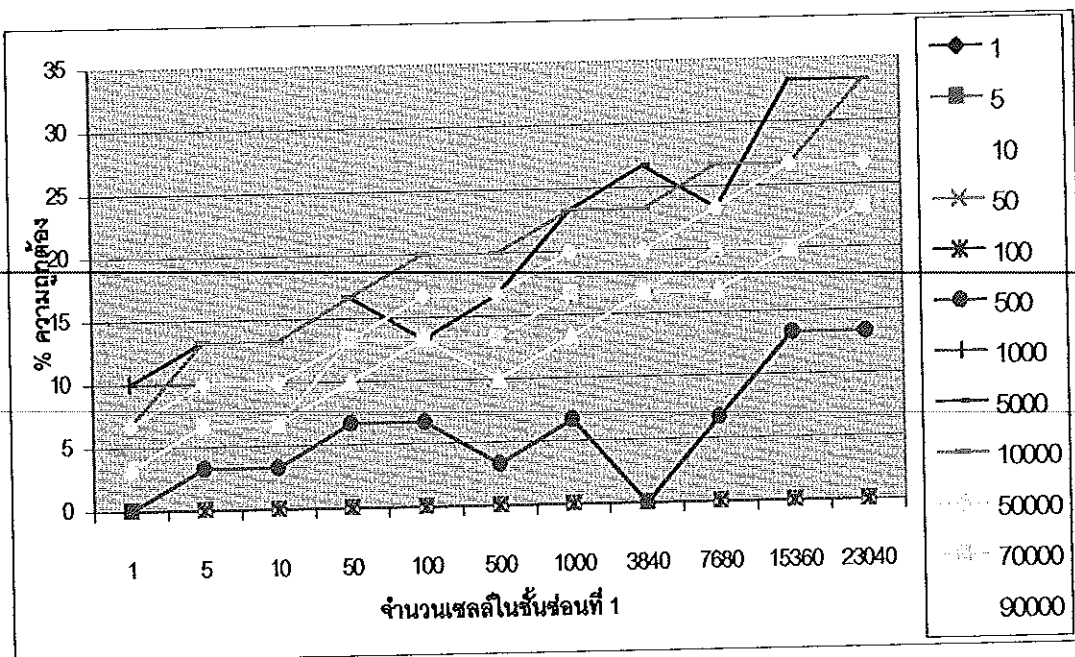
จำนวนเซลล์ ชั้นที่ 1	จำนวนจุดที่ผิดพลาดที่ใช้ในการทดสอบ										
	1	5	10	50	100	500	1000	3840	7680	15360	23040
1	0	0	0	0	0	0	0	0	0	0	0
5	0	0	0	0	0	0	0	0	0	0	0
10	0	0	0	0	0	0	0	0	0	0	0
50	0	0	0	0	0	0	0	0	0	0	0
100	0	0	0	0	0	0	0	0	0	0	0
500	0	0	0	0	0	0	0	0	0	0	0
1000	3.3	3.3	3.3	6.7	6.7	3.3	10	10	10	13.3	13.3
5000	3.3	0	6.7	6.7	10	16.7	10	10	13.3	16.7	20
10000	0	3.3	6.7	10	10	10	10	13.3	16.7	20	30
50000	0	6.7	6.7	6.7	6.7	13.3	13.3	13.3	16.7	26.7	26.7
70000	3.3	3.3	3.3	10	6.7	10	10	10	16.7	20	20
90000	0	0	3.3	6.7	10	10	10	13.3	13.3	10	20



ภาพประกอบ 5-8 แสดงข้อมูลจากตาราง 5-5 เมื่อนำมาแสดงเป็นกราฟ

ตาราง 5-6 แสดงความถูกต้องในการจำแนกในแบบ 1 ชั้นชอน
เมื่อใช้จำนวนจุดผิดพลาดในการเรียนรู้ 10 พิกเซล
กับลายวงจรมืดที่ขี้ยังไม่ได้ทำการเคลือบ

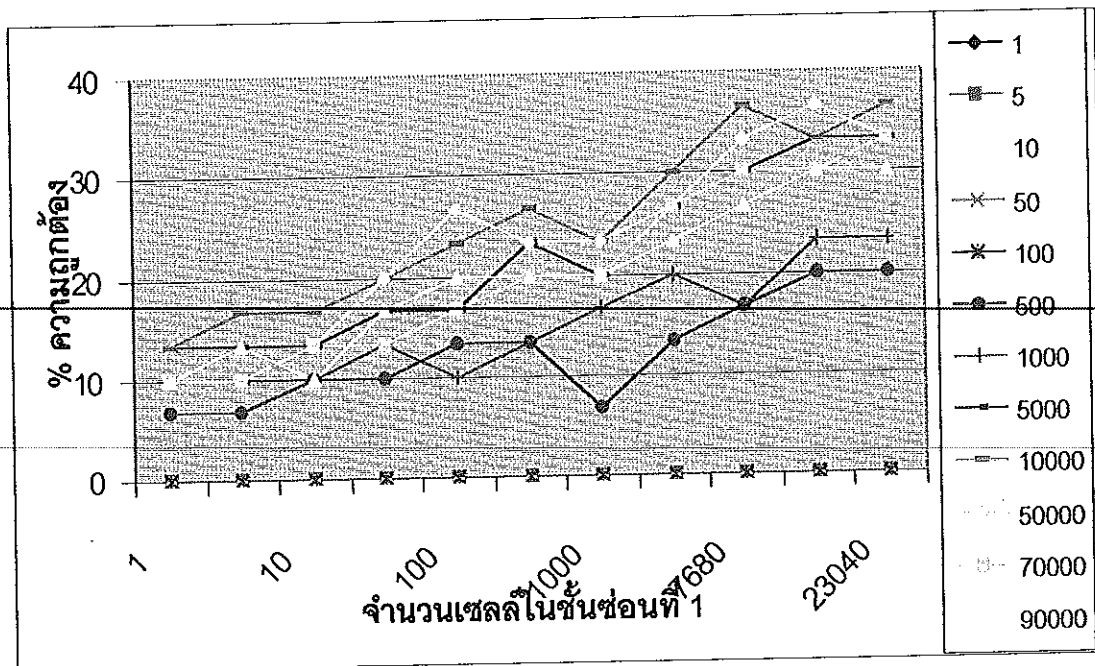
จำนวนเซลล์ ชั้นที่ 1	จำนวนจุดที่ผิดพลาดที่ใช้ในการทดสอบ										
	1	5	10	50	100	500	1000	3840	7680	15360	23040
1	0	0	0	0	0	0	0	0	0	0	0
5	0	0	0	0	0	0	0	0	0	0	0
10	0	0	0	0	0	0	0	0	0	0	0
50	0	0	0	0	0	0	0	0	0	0	0
100	0	0	0	0	0	0	0	0	0	0	0
500	0	3.3	3.3	6.7	6.7	3.3	6.7	0	6.7	13.3	13.3
1000	10	10	10	13.3	13.3	13.3	16.7	16.7	20	20	23.3
5000	10	13.3	13.3	16.7	13.3	16.7	23.3	26.7	23.3	33.3	33.3
10000	6.7	13.3	13.3	16.7	20	20	23.3	23.3	26.7	26.7	33.3
50000	6.7	10	10	13.3	16.7	16.7	20	20	23.3	26.7	26.7
70000	3.3	6.7	6.7	13.3	13.3	13.3	16.7	16.7	20	20	23.3
90000	3.3	6.7	6.7	10	13.3	10	13.3	16.7	16.7	20	23.3



ภาพประกอบ 5-9 แสดงข้อมูลจากตาราง 5-6 เมื่อนำมาแสดงเป็นกราฟ

ตาราง 5-7 แสดงความถูกต้องในการจำแนกในแบบ 1 ชั้นซ้อน
เมื่อใช้จำนวนจุดผิดพลาดในการเรียนรู้ 50 พิกเซล
กับลายวงจรมืดที่ขี้ยังไม่ได้ทำการเคลือบ

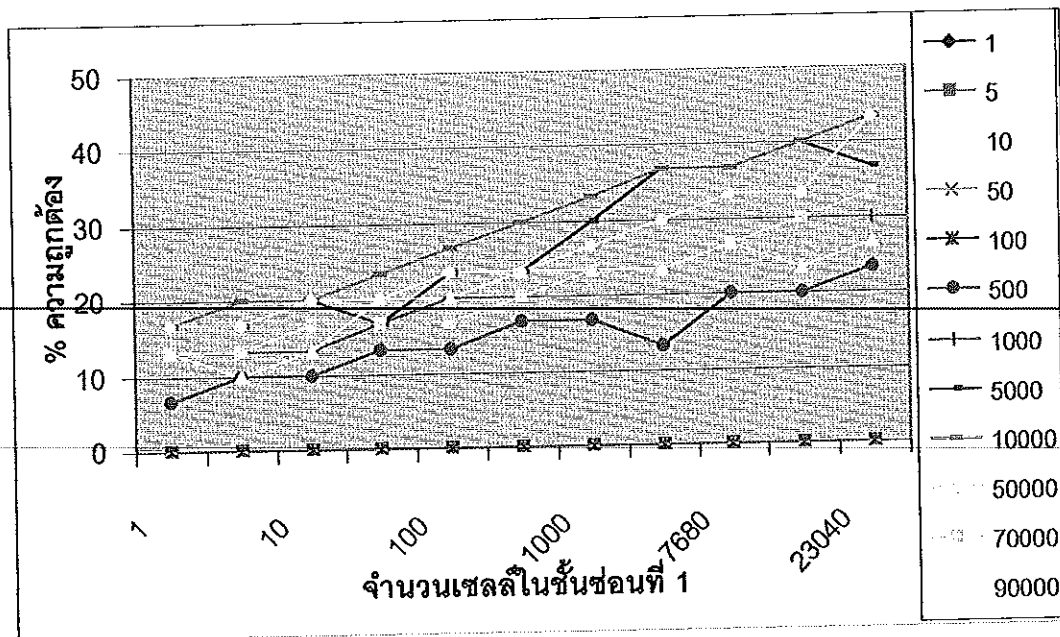
จำนวนเซลล์ ชั้นที่ 1	จำนวนจุดที่ผิดพลาดที่ใช้ในการทดสอบ										
	1	5	10	50	100	500	1000	3840	7680	15360	23040
1	0	0	0	0	0	0	0	0	0	0	0
5	0	0	0	0	0	0	0	0	0	0	0
10	0	0	0	0	0	0	0	0	0	0	0
50	0	0	0	0	0	0	0	0	0	0	0
100	0	0	0	0	0	0	0	0	0	0	0
500	6.7	10	10	13.3	13.3	16.7	16.7	13.3	20	20	23.3
1000	13.3	13.3	13.3	16.7	20	20	23.3	23.3	26.7	30	30
5000	16.7	16.7	20	16.7	23.3	23.3	30	36.7	36.7	40	36.7
10000	16.7	20	20	23.3	26.7	30	33.3	36.7	36.7	40	43.3
50000	16.7	16.7	20	20	23.3	23.3	26.7	30	33.3	33.3	43.3
70000	13.3	13.3	16.7	16.7	16.7	20	23.3	23.3	26.7	30	33.3
90000	13.3	10	13.3	20	20	23.3	23.3	23.3	26.7	23.3	26.7



ภาพประกอบ 5-10 แสดงข้อมูลจากตาราง 5-7 เมื่อนำมาแสดงเป็นกราฟ

ตาราง 5-8 แสดงความถูกต้องในการจำแนกในแบบ 1 ชั้นซ้อน
เมื่อใช้จำนวนจุดผิดพลาดในการเรียนรู้ 100 พิกเซล
กับลายวงจรมืดที่ขี้ยังไม่ได้ทำการเคลือบ

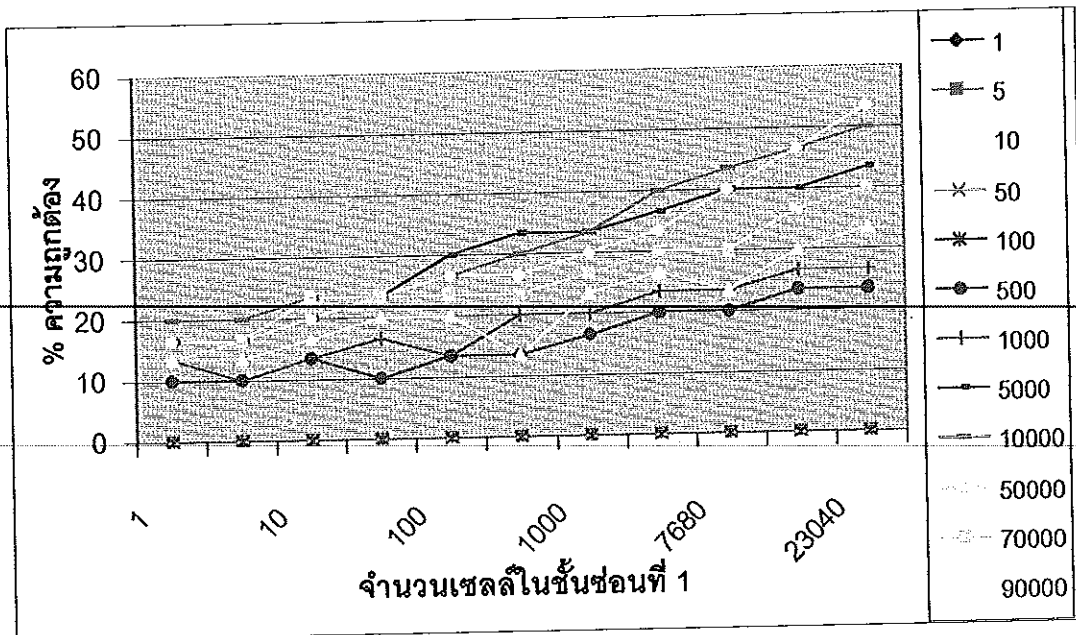
จำนวนเซลล์ ชั้นที่ 1	จำนวนจุดที่ผิดพลาดที่ใช้ในการทดสอบ										
	1	5	10	50	100	500	1000	3840	7680	15360	23040
1	0	0	0	0	0	0	0	0	0	0	0
5	0	0	0	0	0	0	0	0	0	0	0
10	0	0	0	0	0	0	0	0	0	0	0
50	0	0	0	0	0	0	0	0	0	0	0
100	0	0	0	0	0	0	0	0	0	0	0
500	6.7	6.7	10	10	13.3	13.3	6.7	13.3	16.7	20	20
1000	10	10	10	13.3	10	13.3	16.7	20	16.7	23.3	23.3
5000	13.3	13.3	13.3	16.7	16.7	23.3	20	26.7	30	33.3	33.3
10000	13.3	16.7	16.7	20	23.3	26.7	23.3	30	36.7	33.3	36.7
50000	10	10	13.3	20	26.7	23.3	23.3	26.7	33.3	36.7	33.3
70000	10	10	13.3	13.3	16.7	20	20	26.7	30	30	33.3
90000	10	13.3	10	16.7	20	20	20	23.3	26.7	30	30



ภาพประกอบ 5-11 แสดงข้อมูลจากตาราง 5-8 เมื่อนำมาแสดงเป็นกราฟ

ตาราง 5-9 แสดงความถูกต้องในการจำแนกในแบบ 1 ชั้นซ้อน
เมื่อใช้จำนวนจุดผิดพลาดในการเรียนรู้ 500 พิกเซล
กับลายวงจรมิมพ์ที่ยังไม่ได้ทำการเคลือบ

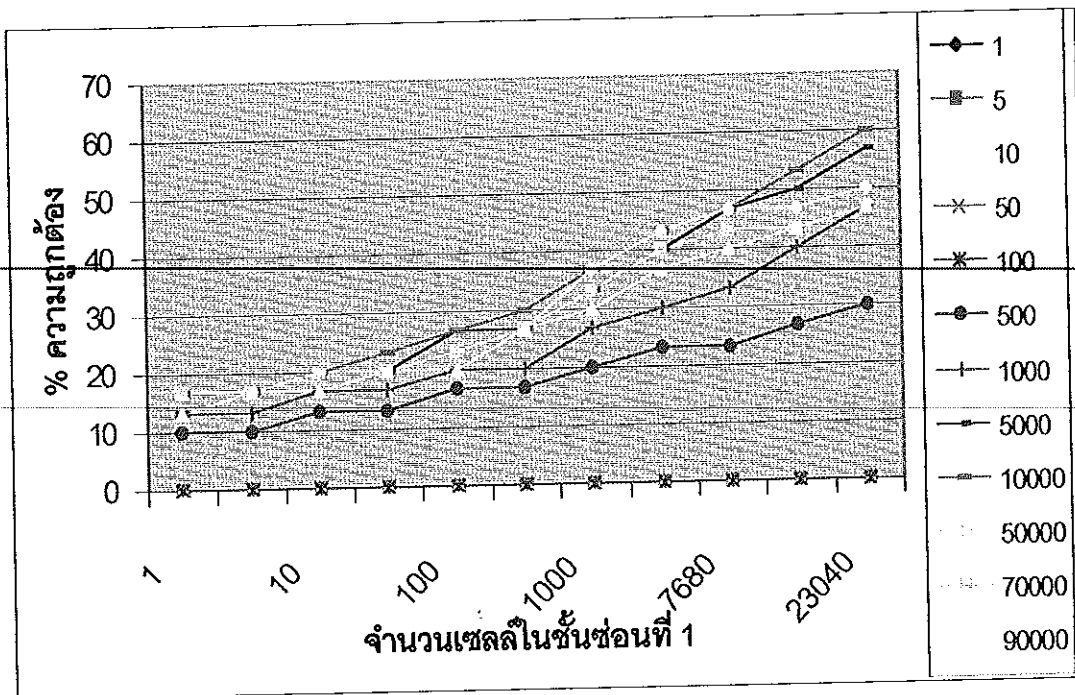
จำนวนเซลล์ ชั้นที่ 1	จำนวนจุดที่ผิดพลาดที่ใช้ในการทดสอบ										
	1	5	10	50	100	500	1000	3840	7680	15360	23040
1	0	0	0	0	0	0	0	0	0	0	0
5	0	0	0	0	0	0	0	0	0	0	0
10	0	0	0	0	0	0	0	0	0	0	0
50	0	0	0	0	0	0	0	0	0	0	0
100	0	0	0	0	0	0	0	0	0	0	0
500	10	10	13.3	10	13.3	13.3	16.7	20	20	23.3	23.3
1000	13.3	10	13.3	16.7	13.3	20	20	23.3	23.3	26.7	26.7
5000	16.7	16.7	20	23.3	30	33.3	33.3	36.7	40	40	43.3
10000	20	20	23.3	23.3	26.7	30	33.3	40	43.3	46.7	50
50000	16.7	16.7	20	23.3	26.7	26.7	30	33.3	40	46.7	53.3
70000	13.3	16.7	23.3	23.3	23.3	23.3	26.7	30	30	36.7	40
90000	13.3	13.3	16.7	20	20	13.3	23.3	26.7	23.3	30	33.3



ภาพประกอบ 5-12 แสดงข้อมูลจากตาราง 5-9 เมื่อนำมาแสดงเป็นกราฟ

ตาราง 5-10 แสดงความถูกต้องในการจำแนกในแบบ 1 ชั้นซ้อน
เมื่อใช้จำนวนจุดผิดพลาดในการเรียนรู้ 1000 พิกเซล
กับลายวงจรมิมพ์ที่ยังไม่ได้ทำการเคลือบ

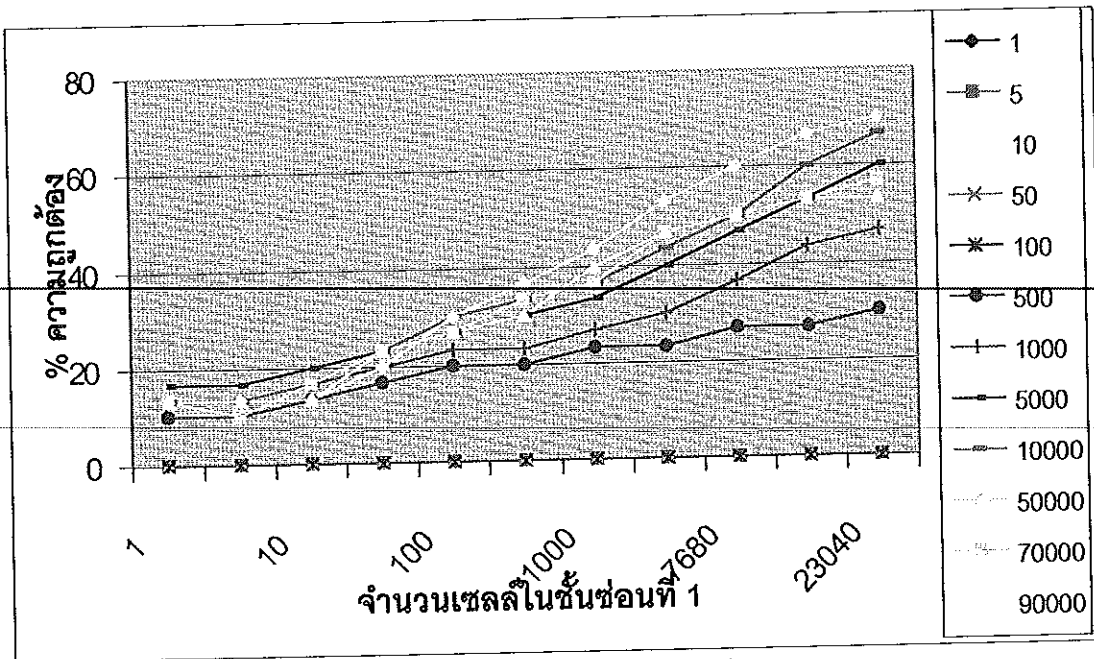
จำนวนเซลล์ ชั้นที่ 1	จำนวนจุดที่ผิดพลาดที่ใช้ในการทดสอบ											
	1	5	10	50	100	500	1000	3840	7680	15360	23040	
1	0	0	0	0	0	0	0	0	0	0	0	0
5	0	0	0	0	0	0	0	0	0	0	0	0
10	0	0	0	0	0	0	0	0	0	0	0	0
50	0	0	0	0	0	0	0	0	0	0	0	0
100	0	0	0	0	0	0	0	0	0	0	0	0
500	10	10	13.3	13.3	16.7	16.7	20	23.3	23.3	26.7	30	30
1000	13.3	13.3	16.7	16.7	20	20	26.7	30	33.3	40	46.7	46.7
5000	16.7	16.7	20	20	26.7	26.7	33.3	40	46.7	50	56.7	56.7
10000	13.3	16.7	20	23.3	26.7	30	36.7	43.3	46.7	53.3	60	60
50000	16.7	16.7	20	20	23.3	26.7	36.7	43.3	46.7	46.7	50	50
70000	16.7	16.7	20	20	23.3	26.7	33.3	40	43.3	43.3	46.7	46.7
90000	13.3	16.7	16.7	20	20	26.7	30	36.7	40	43.3	46.7	46.7



ภาพประกอบ 5-13 แสดงข้อมูลจากตาราง 5-10 เมื่อนำมาแสดงเป็นกราฟ

ตาราง 5-11 แสดงความถูกต้องในการจำแนกโหนดแบบ 1 ชั้นซ้อน
 เมื่อใช้จำนวนจุดผิดพลาดในการเรียนรู้ 5000 พิกเซล
 กับลายวงจรมิมพีที่ยังไม่ได้ทำการเคลือบ

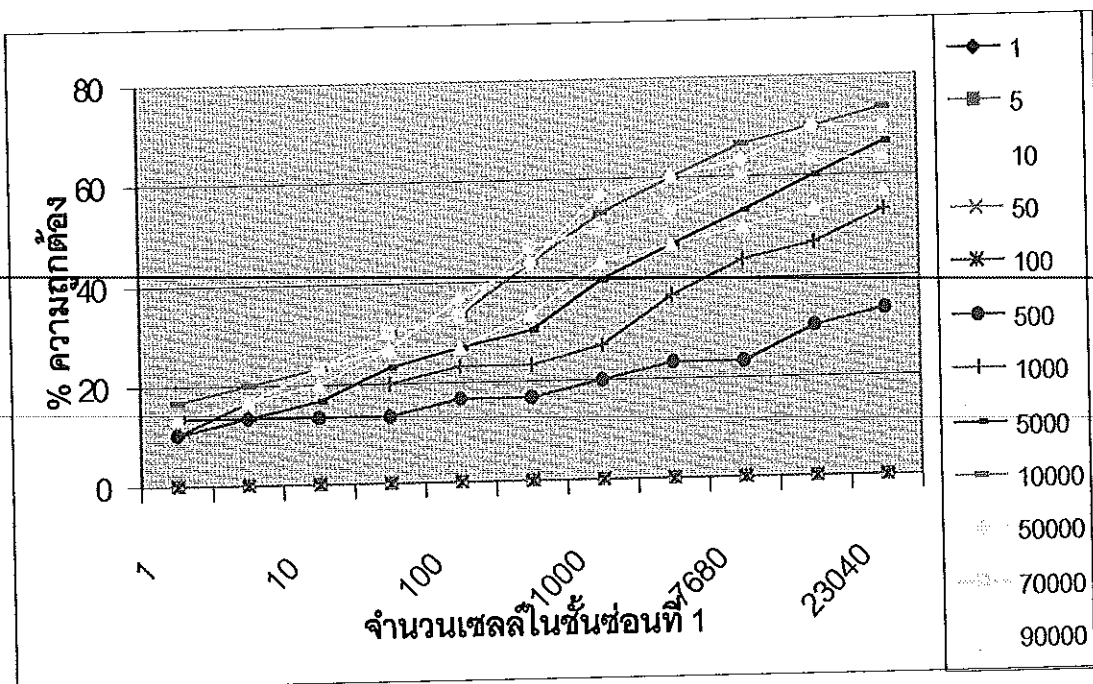
จำนวนเซลล์ ชั้นที่ 1	จำนวนจุดที่ผิดพลาดที่ใช้ในการทดสอบ										
	1	5	10	50	100	500	1000	3840	7680	15360	23040
1	0	0	0	0	0	0	0	0	0	0	0
5	0	0	0	0	0	0	0	0	0	0	0
10	0	0	0	0	0	0	0	0	0	0	0
50	0	0	0	0	0	0	0	0	0	0	0
100	0	0	0	0	0	0	0	0	0	0	0
500	10	10	13.3	16.7	20	20	23.3	23.3	26.7	26.7	30
1000	13.3	13.3	16.7	20	23.3	23.3	26.7	30	36.7	43.3	46.7
5000	16.7	16.7	20	23.3	26.7	30	33.3	40	46.7	53.3	60
10000	13.3	13.3	16.7	23.3	30	33.3	36.7	43.3	50	60	66.7
50000	13.3	13.3	13.3	20	30	36.7	43.3	53.3	60	66.7	70
70000	13.3	10	16.7	23.3	26.7	33.3	36.7	46.7	50	53.3	56.7
90000	13.3	13.3	13.3	23.3	26.7	30	40	46.7	50	53.3	53.3



ภาพประกอบ 5-14 แสดงข้อมูลจากตาราง 5-11 เมื่อนำมาแสดงเป็นกราฟ

ตาราง 5-12 แสดงความถูกต้องในการจำแนกในแบบ 1 ชั้นซ้อน
 เมื่อใช้จำนวนจุดผิดพลาดในการเรียนรู้ 10000 พิกเซล
 กับลายวงจรมิมพีที่ยังไม่ได้ทำการเคลือบ

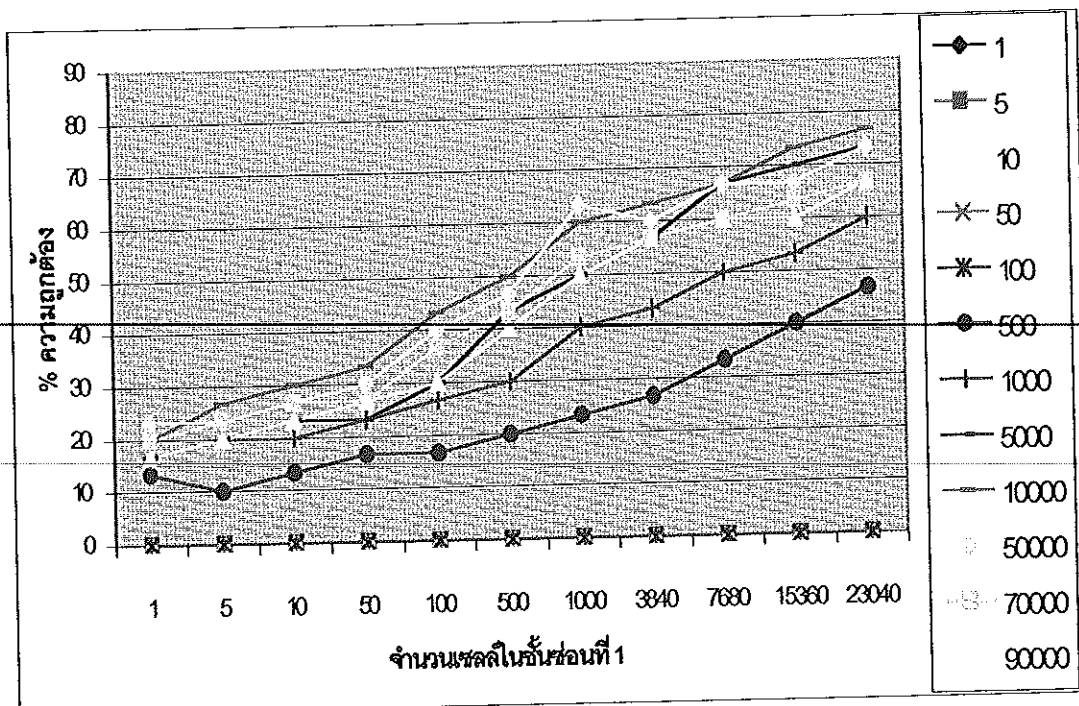
จำนวนเซลล์ ชั้นที่ 1	จำนวนจุดที่ผิดพลาดที่ใช้ในการทดสอบ											
	1	5	10	50	100	500	1000	3840	7680	15360	23040	
1	0	0	0	0	0	0	0	0	0	0	0	
5	0	0	0	0	0	0	0	0	0	0	0	
10	0	0	0	0	0	0	0	0	0	0	0	
50	0	0	0	0	0	0	0	0	0	0	0	
100	0	0	0	0	0	0	0	0	0	0	0	
500	10	13.3	13.3	13.3	16.7	16.7	20	23.3	23.3	30	33.3	
1000	10	16.7	20	20	23.3	23.3	26.7	36.7	43.3	46.7	53.3	
5000	13.3	13.3	16.7	23.3	26.7	30	40	46.7	53.3	60	66.7	
10000	16.7	20	23.3	30	33.3	43.3	53.3	60	66.7	70	73.3	
50000	13.3	16.7	23.3	26.7	36.7	43.3	56.7	60	63.3	70	70	
70000	13.3	16.7	23.3	30	33.3	46.7	50	53.3	60	63.3	63.3	
90000	13.3	16.7	20	26.7	26.7	33.3	43.3	46.7	50	53.3	56.7	



ภาพประกอบ 5-15 แสดงข้อมูลจากตาราง 5-12 เมื่อนำมาแสดงเป็นกราฟ

ตาราง 5-13 แสดงความถูกต้องในการจำแนกในแบบ 1 ชั้นซ้อน
เมื่อใช้จำนวนจุดผิดพลาดในการเรียนรู้ 50000 พิกเซล
กับลายวงจรมิมพ์ที่ยังไม่ได้ทำการเคลือบ

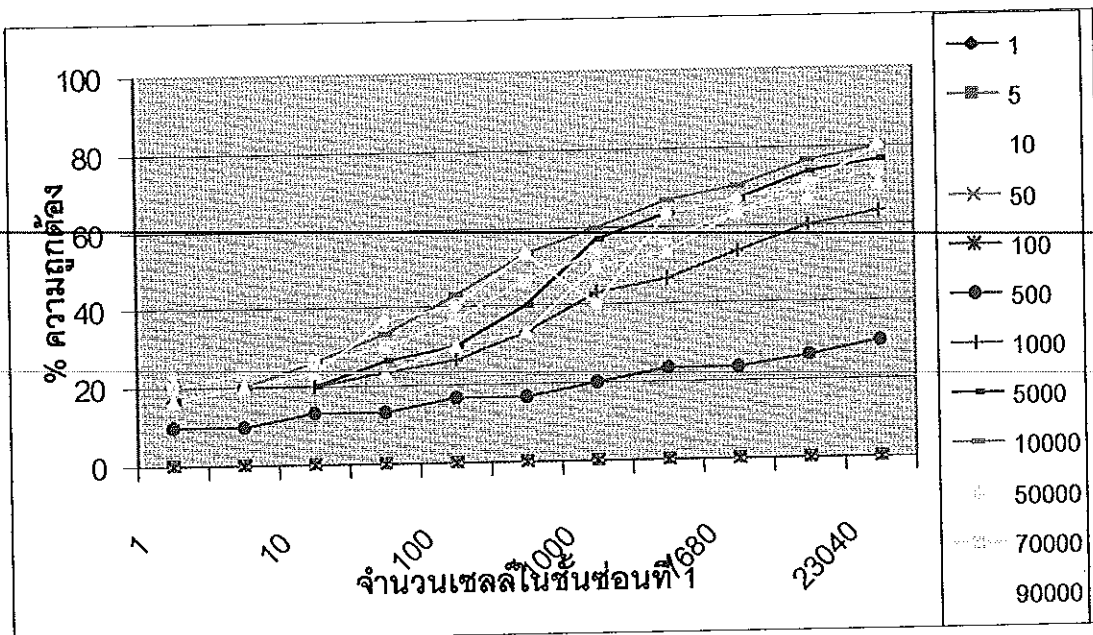
จำนวนเซลล์ ชั้นที่ 1	จำนวนจุดที่ผิดพลาดที่ใช้ในการทดสอบ										
	1	5	10	50	100	500	1000	3840	7680	15360	23040
1	0	0	0	0	0	0	0	0	0	0	0
5	0	0	0	0	0	0	0	0	0	0	0
10	0	0	0	0	0	0	0	0	0	0	0
50	0	0	0	0	0	0	0	0	0	0	0
100	0	0	0	0	0	0	0	0	0	0	0
500	13.3	10	13.3	16.7	16.7	20	23.3	26.7	33.3	40	46.7
1000	16.7	20	20	23.3	26.7	30	40	43.3	50	53.3	60
5000	16.7	20	23.3	23.3	30	43.3	50	56.7	66.7	70	73.3
10000	20	26.7	30	33.3	43.3	50	60	63.3	66.7	73.3	76.7
50000	23.3	23.3	26.7	30	40	46.7	63.3	60	66.7	66.7	73.3
70000	20	23.3	26.7	26.7	36.7	43.3	53.3	56.7	60	63.3	66.7
90000	16.7	20	23.3	26.7	30	40	50	56.7	60	60	66.7



ภาพประกอบ 5-16 แสดงข้อมูลจากตาราง 5-13 เมื่อนำมาแสดงเป็นกราฟ

ตาราง 5-14 แสดงความถูกต้องในการจำแนกในแบบ 1 ชั้นซ้อน
เมื่อใช้จำนวนจุดผิดพลาดในการเรียนรู้ 70000 พิกเซล
กับลายวงจรมืดที่ยังไม่ได้ทำการเคลือบ

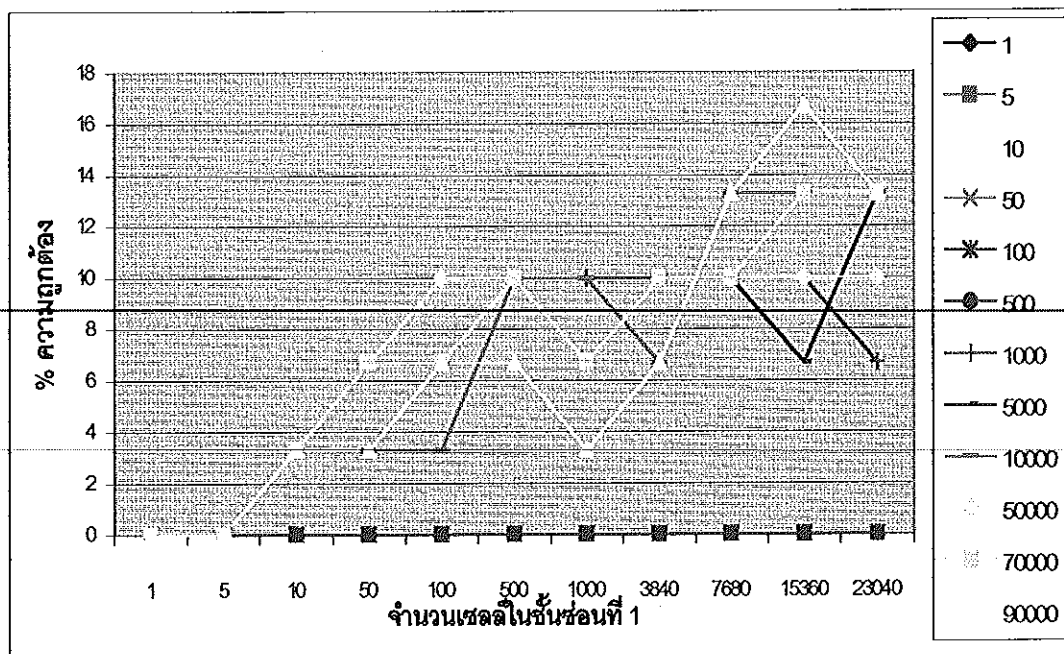
จำนวนเซลล์ ชั้นที่ 1	จำนวนจุดที่ผิดพลาดที่ใช้ในการทดสอบ										
	1	5	10	50	100	500	1000	3840	7680	15360	23040
1	0	0	0	0	0	0	0	0	0	0	0
5	0	0	0	0	0	0	0	0	0	0	0
10	0	0	0	0	0	0	0	0	0	0	0
50	0	0	0	0	0	0	0	0	0	0	0
100	0	0	0	0	0	0	0	0	0	0	0
500	10	10	13.3	13.3	16.7	16.7	20	23.3	23.3	26.7	30
1000	16.7	20	20	23.3	26.7	33.3	43.3	46.7	53.3	60	63.3
5000	16.7	20	20	26.7	30	40	56.7	63.3	66.7	73.3	76.7
10000	20	20	26.7	33.3	43.3	53.3	60	66.7	70	76.7	80
50000	23.3	23.3	23.3	36.7	40	53.3	40	63.3	66.7	70	80
70000	20	23.3	26.7	30	36.7	46.7	53.3	56.7	63.3	70	73.3
90000	16.7	20	23.3	23.3	30	33.3	50	53.3	63.3	66.7	70



ภาพประกอบ 5-17 แสดงข้อมูลจากตาราง 5-14 เมื่อนำมาแสดงเป็นกราฟ

ตาราง 5-15 แสดงความถูกต้องในการจำแนกในแบบ 1 ชั้นซ้อน
เมื่อใช้จำนวนจุดผิดพลาดในการเรียนรู้ 1 พิกเซล
กับลายวงจรมิมพ์ที่ทำการเคลือบแล้ว

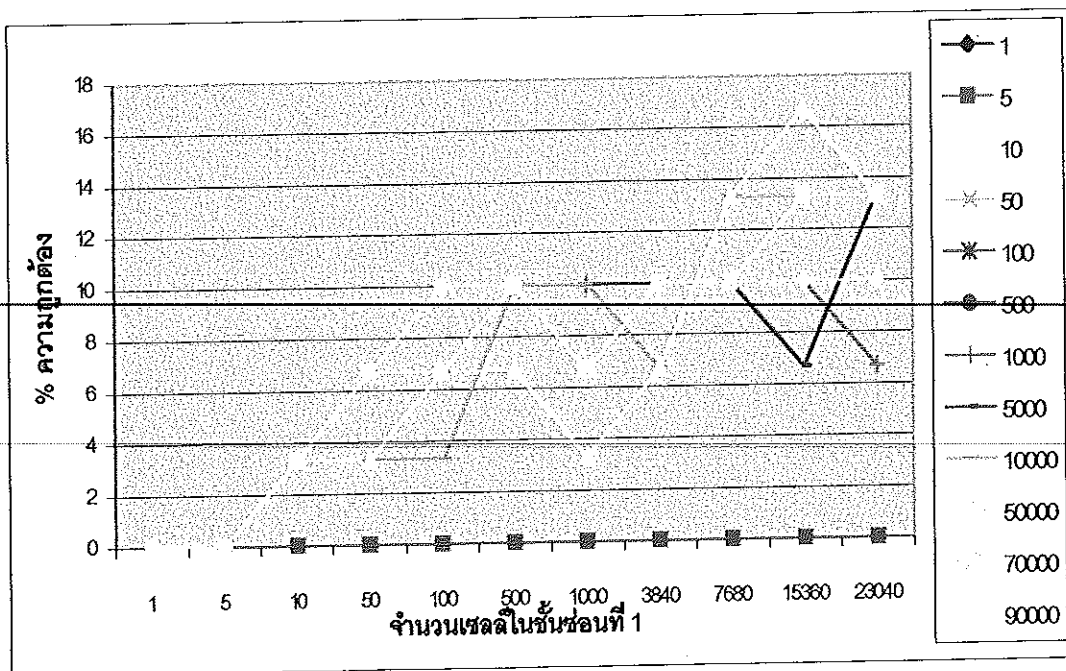
จำนวนเซลล์ ชั้นที่ 1	จำนวนจุดที่ผิดพลาดที่ใช้ในการทดสอบ										
	1	5	10	50	100	500	1000	3840	7680	15360	23040
1	0	0	0	0	0	0	0	0	0	0	0
5	0	0	0	0	0	0	0	0	0	0	0
10	0	0	0	0	0	0	0	0	0	0	0
50	0	0	0	0	0	0	0	0	0	0	0
100	0	0	0	0	0	0	0	0	0	0	0
500	0	0	0	0	0	0	0	0	0	0	0
1000	0	0	3.3	6.7	10	10	10	10	10	10	6.7
5000	0	0	3.3	6.7	6.7	10	10	10	10	6.7	13.3
10000	0	0	3.3	3.3	3.3	10	10	6.7	13.3	13.3	13.3
50000	0	0	3.3	6.7	10	10	6.7	10	10	10	10
70000	0	0	3.3	6.7	6.7	10	6.7	10	10	13.3	13.3
90000	0	0	3.3	3.3	6.7	6.7	3.3	6.7	13.3	16.7	13.3



ภาพประกอบ 5-18 แสดงข้อมูลจากตาราง 5-15 เมื่อนำมาแสดงเป็นกราฟ

ตาราง 5-15 แสดงความถูกต้องในการจำแนกในแบบ 1 ชั้นซ้อน
เมื่อใช้จำนวนจุดผิดพลาดในการเรียนรู้ 1 พิกเซล
กับลายวงจรมิมพ์ที่ทำการเคลือบแล้ว

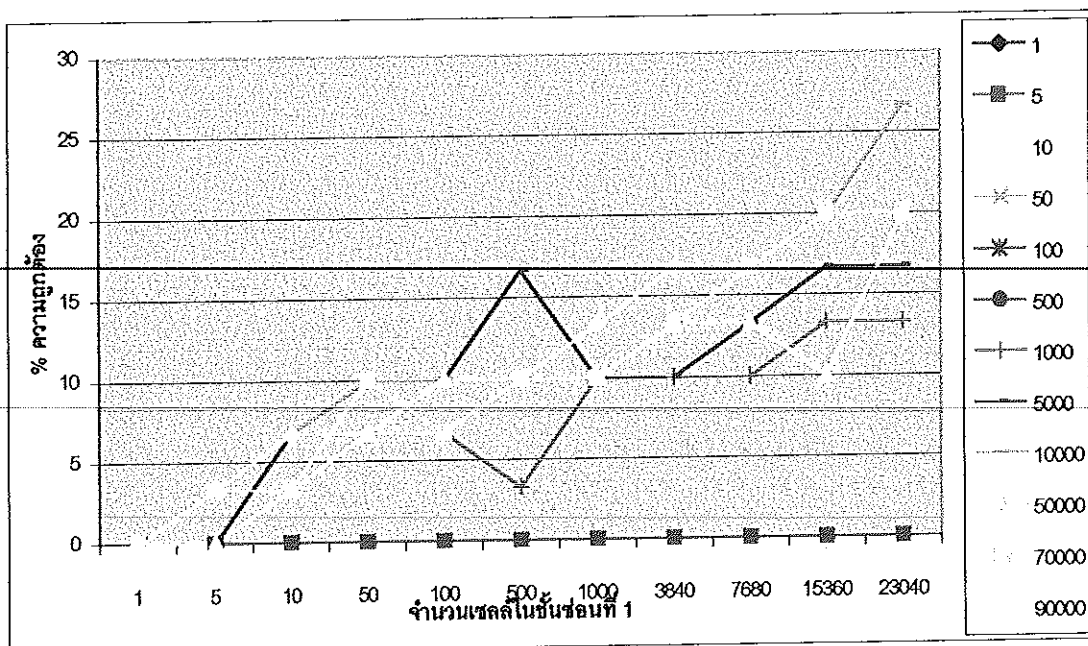
จำนวนเซลล์ ชั้นที่ 1	จำนวนจุดที่ผิดพลาดที่ใช้ในการทดสอบ										
	1	5	10	50	100	500	1000	3840	7680	15360	23040
1	0	0	0	0	0	0	0	0	0	0	0
5	0	0	0	0	0	0	0	0	0	0	0
10	0	0	0	0	0	0	0	0	0	0	0
50	0	0	0	0	0	0	0	0	0	0	0
100	0	0	0	0	0	0	0	0	0	0	0
500	0	0	0	0	0	0	0	0	0	0	0
1000	0	0	3.3	6.7	10	10	10	10	10	10	6.7
5000	0	0	3.3	6.7	6.7	10	10	10	10	6.7	13.3
10000	0	0	3.3	3.3	3.3	10	10	6.7	13.3	13.3	13.3
50000	0	0	3.3	6.7	10	10	6.7	10	10	10	10
70000	0	0	3.3	6.7	6.7	10	6.7	10	10	13.3	13.3
90000	0	0	3.3	3.3	6.7	6.7	3.3	6.7	13.3	16.7	13.3



ภาพประกอบ 5-18 แสดงข้อมูลจากตาราง 5-15 เมื่อนำมาแสดงเป็นกราฟ

ตาราง 5-16 แสดงความถูกต้องในการจำแนกในแบบ 1 ชั้นซ้อน
เมื่อใช้จำนวนจุดผิดพลาดในการเรียนรู้ 5 พิกเซล
กับลายวงจรมิมพีที่ทำการเคลือบแล้ว

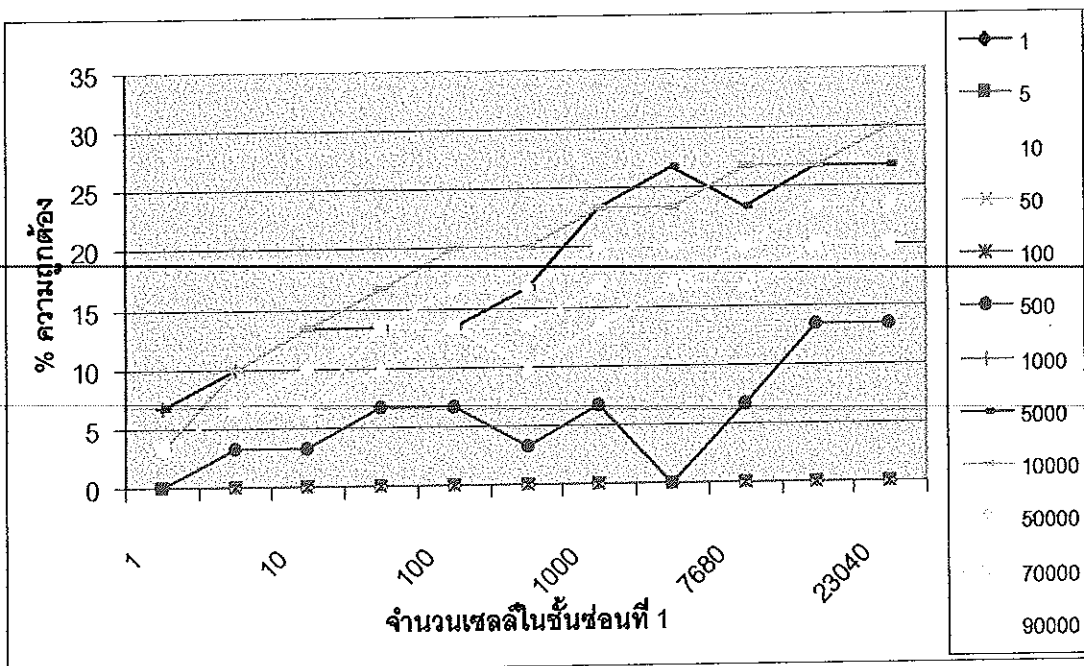
จำนวนเซลล์ ชั้นที่ 1	จำนวนจุดที่ผิดพลาดที่ใช้ในการทดสอบ										
	1	5	10	50	100	500	1000	3840	7680	15360	23040
1	0	0	0	0	0	0	0	0	0	0	0
5	0	0	0	0	0	0	0	0	0	0	0
10	0	0	0	0	0	0	0	0	0	0	0
50	0	0	0	0	0	0	0	0	0	0	0
100	0	0	0	0	0	0	0	0	0	0	0
500	0	0	0	0	0	0	0	0	0	0	0
1000	0	3.3	3.3	6.7	6.7	3.3	10	10	10	13.3	13.3
5000	0	0	6.7	6.7	10	16.7	10	10	13.3	16.7	16.7
10000	0	3.3	6.7	10	10	10	10	13.3	16.7	20	26.7
50000	0	3.3	6.7	6.7	6.7	10	13.3	16.7	16.7	20	20
70000	0	3.3	3.3	10	6.7	10	10	13.3	16.7	20	20
90000	0	0	3.3	6.7	10	10	10	13.3	13.3	10	20



ภาพประกอบ 5-19 แสดงข้อมูลจากตาราง 5-16 เมื่อนำมาแสดงเป็นกราฟ

ตาราง 5-17 แสดงความถูกต้องในการจำแนกในแบบ 1 ชั้นซ้อน
 เมื่อใช้จำนวนจุดผิดพลาดในการเรียนรู้ 10 พิกเซล
 กับลายวงจรมิมพีที่ทำการเคลือบแล้ว

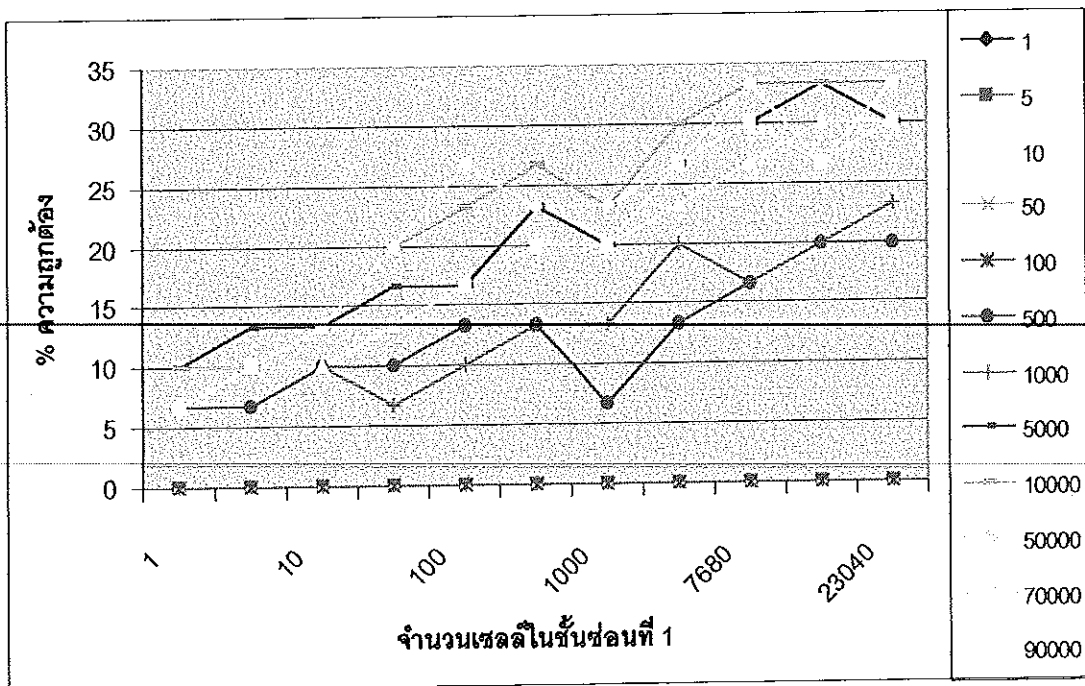
จำนวนเซลล์ ชั้นที่ 1	จำนวนจุดที่ผิดพลาดที่ใช้ในการทดสอบ										
	1	5	10	50	100	500	1000	3840	7680	15360	23040
1	0	0	0	0	0	0	0	0	0	0	0
5	0	0	0	0	0	0	0	0	0	0	0
10	0	0	0	0	0	0	0	0	0	0	0
50	0	0	0	0	0	0	0	0	0	0	0
100	0	0	0	0	0	0	0	0	0	0	0
500	0	3.3	3.3	6.7	6.7	3.3	6.7	0	6.7	13.3	13.3
1000	6.7	10	10	13.3	13.3	13.3	16.7	16.7	20	20	20
5000	6.7	10	13.3	13.3	13.3	16.7	23.3	26.7	23.3	26.7	26.7
10000	3.3	10	13.3	16.7	20	20	23.3	23.3	26.7	26.7	30
50000	3.3	6.7	10	13.3	16.7	16.7	20	20	20	23.3	23.3
70000	3.3	6.7	6.7	13.3	13.3	13.3	16.7	16.7	20	20	20
90000	3.3	6.7	6.7	10	13.3	10	13.3	16.7	16.7	20	20



ภาพประกอบ 5-20 แสดงข้อมูลจากตาราง 5-17 เมื่อนำมาแสดงเป็นกราฟ

ตาราง 5-18 แสดงความถูกต้องในการจำแนกในแบบ 1 ชั้นซ้อน
เมื่อใช้จำนวนจุดผิดพลาดในการเรียนรู้ 50 พิกเซล
กับลายวงจรมิมพ์ที่ทำการเคลือบแล้ว

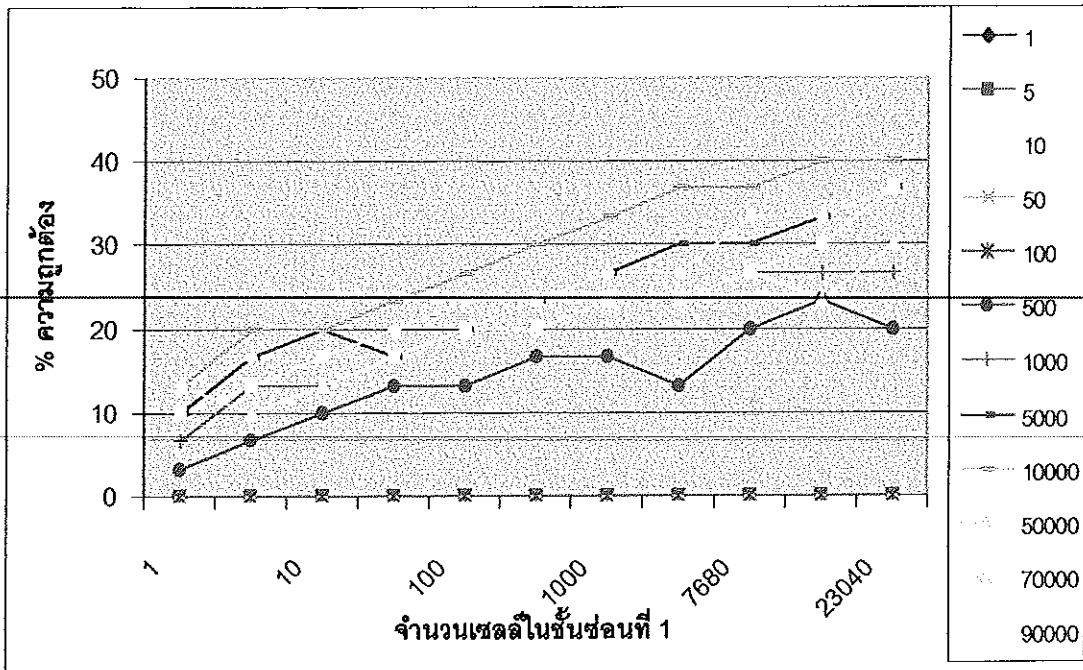
จำนวนเซลล์ ชั้นที่ 1	จำนวนจุดที่ผิดพลาดที่ใช้ในการทดสอบ										
	1	5	10	50	100	500	1000	3840	7680	15360	23040
1	0	0	0	0	0	0	0	0	0	0	0
5	0	0	0	0	0	0	0	0	0	0	0
10	0	0	0	0	0	0	0	0	0	0	0
50	0	0	0	0	0	0	0	0	0	0	0
100	0	0	0	0	0	0	0	0	0	0	0
500	6.7	6.7	10	10	13.3	13.3	6.7	13.3	16.7	20	20
1000	6.7	10	10	6.7	10	13.3	13.3	20	16.7	20	23.3
5000	10	13.3	13.3	16.7	16.7	23.3	20	26.7	30	33.3	30
10000	10	10	13.3	20	23.3	26.7	23.3	30	33.3	33.3	33.3
50000	6.7	10	13.3	20	26.7	23.3	23.3	26.7	33.3	26.7	33.3
70000	6.7	10	13.3	13.3	16.7	20	20	26.7	30	26.7	30
90000	6.7	10	10	13.3	16.7	20	20	23.3	26.7	30	30



ภาพประกอบ 5-21 แสดงข้อมูลจากตาราง 5-18 เมื่อนำมาแสดงเป็นกราฟ

ตาราง 5-19 แสดงความถูกต้องในการจำแนกในแบบ 1 ชั้นซ้อน
เมื่อใช้จำนวนจุดผิดพลาดในการเรียนรู้ 100 พิกเซล
กับลายวงจรมิมพีที่ทำการเคลือบแล้ว

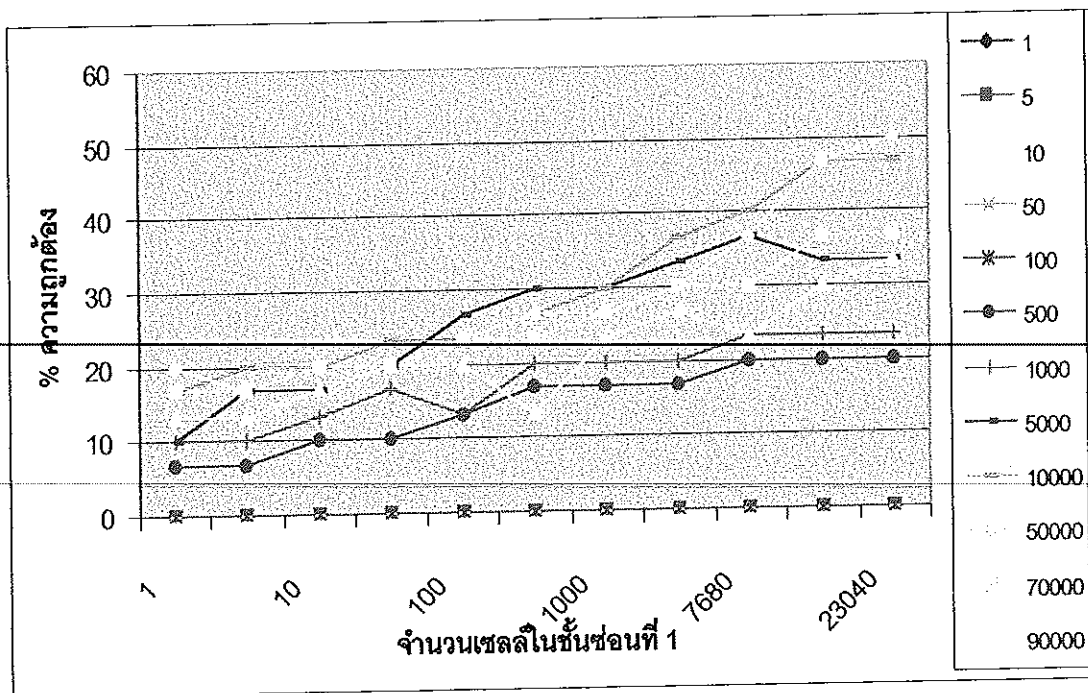
จำนวนเซลล์ ชั้นที่ 1	จำนวนจุดที่ผิดพลาดที่ใช้ในการทดสอบ										
	1	5	10	50	100	500	1000	3840	7680	15360	23040
1	0	0	0	0	0	0	0	0	0	0	0
5	0	0	0	0	0	0	0	0	0	0	0
10	0	0	0	0	0	0	0	0	0	0	0
50	0	0	0	0	0	0	0	0	0	0	0
100	0	0	0	0	0	0	0	0	0	0	0
500	3.3	6.7	10	13.3	13.3	16.7	16.7	13.3	20	23.3	20
1000	6.7	13.3	13.3	16.7	20	20	23.3	23.3	26.7	26.7	26.7
5000	10	16.7	20	16.7	20	23.3	26.7	30	30	33.3	36.7
10000	13.3	20	20	23.3	26.7	30	33.3	36.7	36.7	40	40
50000	13.3	16.7	16.7	20	23.3	23.3	26.7	26.7	33.3	33.3	36.7
70000	10	13.3	16.7	16.7	20	20	23.3	23.3	26.7	30	36.7
90000	13.3	10	13.3	16.7	20	23.3	23.3	23.3	26.7	23.3	30



ภาพประกอบ 5-22 แสดงข้อมูลจากตาราง 5-19 เมื่อนำมาแสดงเป็นกราฟ

ตาราง 5-20 แสดงความถูกต้องในการจำแนกในแบบ 1 ชั้นซ้อน
 เมื่อใช้จำนวนจุดผิดพลาดในการเรียนรู้ 500 พิกเซล
 กับลายวงจรมิมพ์ที่ทำการเคลือบแล้ว

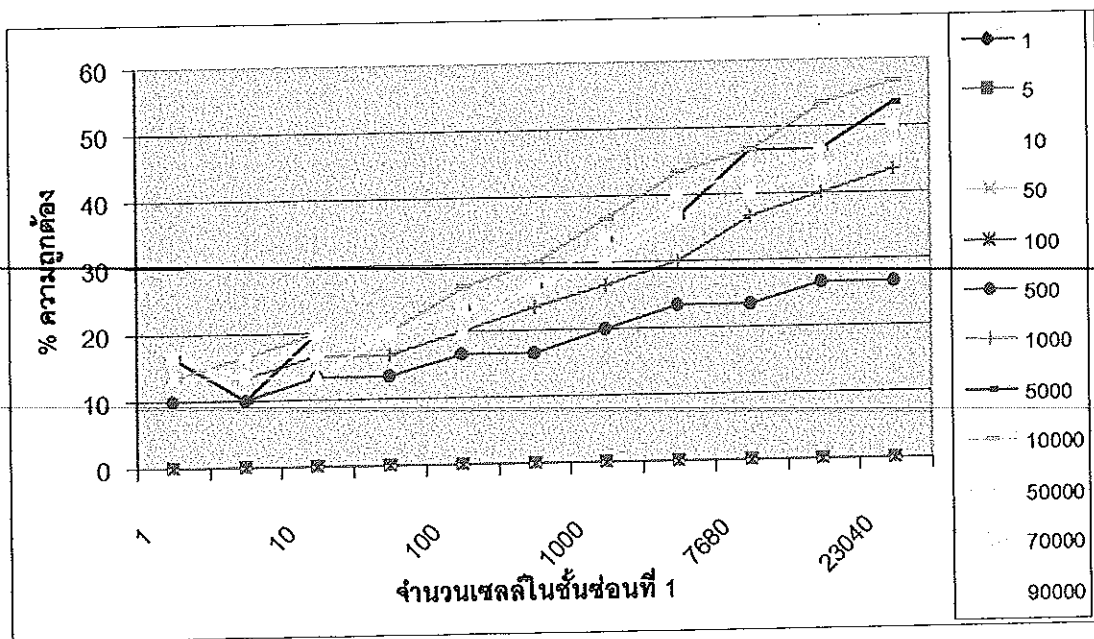
จำนวนเซลล์ ชั้นที่ 1	จำนวนจุดที่ผิดพลาดที่ใช้ในการทดสอบ										
	1	5	10	50	100	500	1000	3840	7680	15360	23040
1	0	0	0	0	0	0	0	0	0	0	0
5	0	0	0	0	0	0	0	0	0	0	0
10	0	0	0	0	0	0	0	0	0	0	0
50	0	0	0	0	0	0	0	0	0	0	0
100	0	0	0	0	0	0	0	0	0	0	0
500	6.7	6.7	10	10	13.3	16.7	16.7	16.7	20	20	20
1000	10	10	13.3	16.7	13.3	20	20	20	23.3	23.3	23.3
5000	10	16.7	16.7	20	26.7	30	30	33.3	36.7	33.3	33.3
10000	16.7	20	20	23.3	23.3	26.7	30	36.7	40	46.7	46.7
50000	20	16.7	20	20	23.3	26.7	26.7	30	36.7	46.7	50
70000	16.7	16.7	20	20	23.3	23.3	26.7	30	30	36.7	36.7
90000	13.3	13.3	16.7	20	20	13.3	23.3	26.7	23.3	30	33.3



ภาพประกอบ 5-23 แสดงข้อมูลจากตาราง 5-20 เมื่อนำมาแสดงเป็นกราฟ

ตาราง 5-21 แสดงความถูกต้องในการจำแนกในแบบ 1 ชั้นซ้อน
เมื่อใช้จำนวนจุดผิดพลาดในการเรียนรู้ 1000 พิกเซล
กับลายวงจรมิมพ์ที่ทำการเคลือบแล้ว

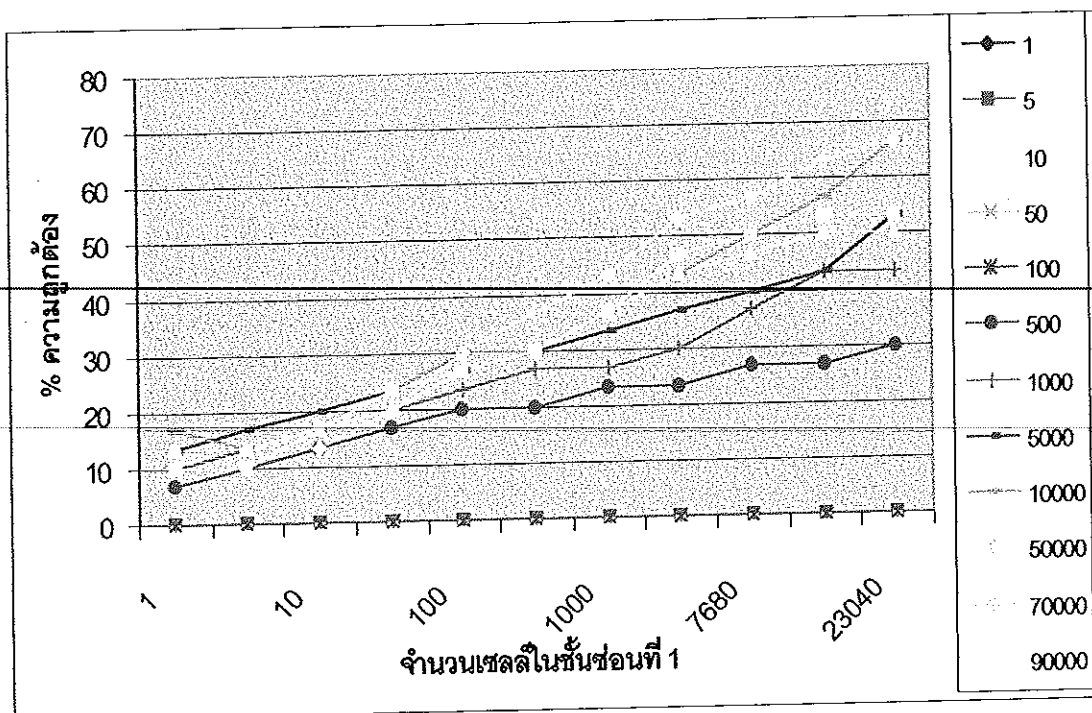
จำนวนเซลล์ ชั้นที่ 1	จำนวนจุดที่ผิดพลาดที่ใช้ในการทดสอบ										
	1	5	10	50	100	500	1000	3840	7680	15360	23040
1	0	0	0	0	0	0	0	0	0	0	0
5	0	0	0	0	0	0	0	0	0	0	0
10	0	0	0	0	0	0	0	0	0	0	0
50	0	0	0	0	0	0	0	0	0	0	0
100	0	0	0	0	0	0	0	0	0	0	0
500	10	10	13.3	13.3	16.7	16.7	20	23.3	23.3	26.7	26.7
1000	13.3	13.3	16.7	16.7	20	23.3	26.7	30	36.7	40	43.3
5000	16.7	10	20	20	23.3	26.7	33.3	36.7	46.7	46.7	53.3
10000	13.3	16.7	20	20	26.7	30	36.7	43.3	46.7	53.3	56.7
50000	16.7	16.7	16.7	20	23.3	26.7	30	40	43.3	46.7	50
70000	16.7	13.3	20	20	23.3	26.7	33.3	36.7	40	43.3	46.7
90000	13.3	13.3	13.3	20	20	26.7	30	36.7	40	43.3	46.7



ภาพประกอบ 5-24 แสดงข้อมูลจากตาราง 5-21 เมื่อนำมาแสดงเป็นกราฟ

ตาราง 5-22 แสดงความถูกต้องในการจำแนกในแบบ 1 ชั้นซ้อน
เมื่อใช้จำนวนจุดผิดพลาดในการเรียนรู้ 5000 พิกเซล
กับลายวงจรมิมพ์ที่ทำการเคลือบแล้ว

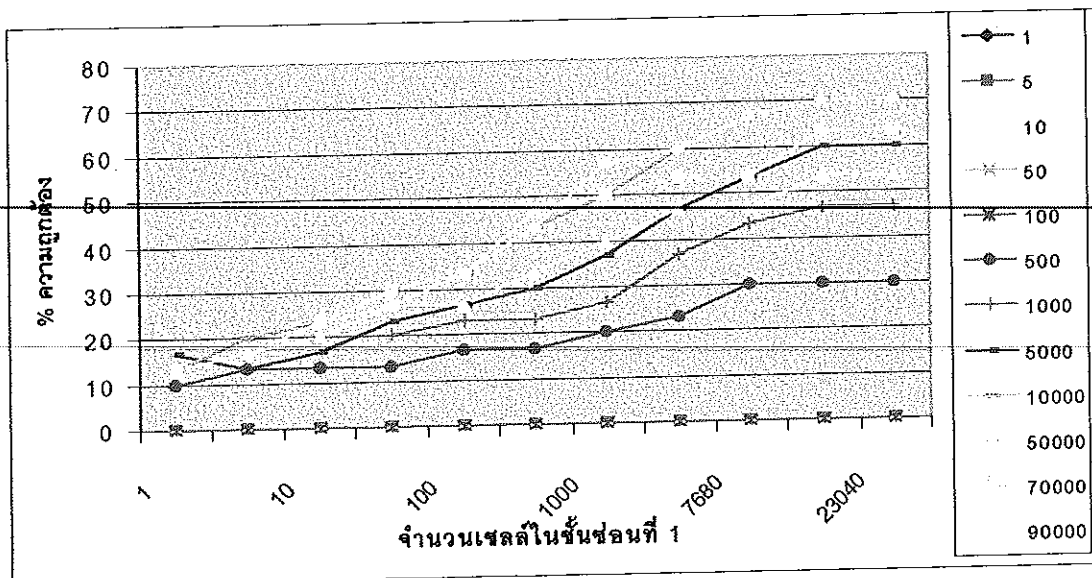
จำนวนเซลล์ ชั้นที่ 1	จำนวนจุดที่ผิดพลาดที่ใช้ในการทดสอบ										
	1	5	10	50	100	500	1000	3840	7680	15360	23040
1	0	0	0	0	0	0	0	0	0	0	0
5	0	0	0	0	0	0	0	0	0	0	0
10	0	0	0	0	0	0	0	0	0	0	0
50	0	0	0	0	0	0	0	0	0	0	0
100	0	0	0	0	0	0	0	0	0	0	0
500	6.7	10	13.3	16.7	20	20	23.3	23.3	26.7	26.7	30
1000	10	13.3	16.7	20	23.3	26.7	26.7	30	36.7	43.3	43.3
5000	13.3	16.7	20	23.3	26.7	30	33.3	36.7	40	43.3	53.3
10000	16.7	13.3	16.7	23.3	30	30	36.7	43.3	50	56.7	66.7
50000	13.3	13.3	13.3	20	30	36.7	43.3	53.3	56.7	63.3	66.7
70000	10	10	16.7	23.3	26.7	30	36.7	46.7	50	53.3	53.3
90000	13.3	13.3	16.7	20	26.7	30	36.7	43.3	46.7	50	50



ภาพประกอบ 5-25 แสดงข้อมูลจากตาราง 5-22 เมื่อนำมาแสดงเป็นกราฟ

ตาราง 5-23 แสดงความถูกต้องในการจำแนกในแบบ 1 ชั้นซ้อน
เมื่อใช้จำนวนจุดผิดพลาดในการเรียนรู้ 10000 พิกเซล
กับลายวงจรมิมพ์ที่ทำการเคลือบแล้ว

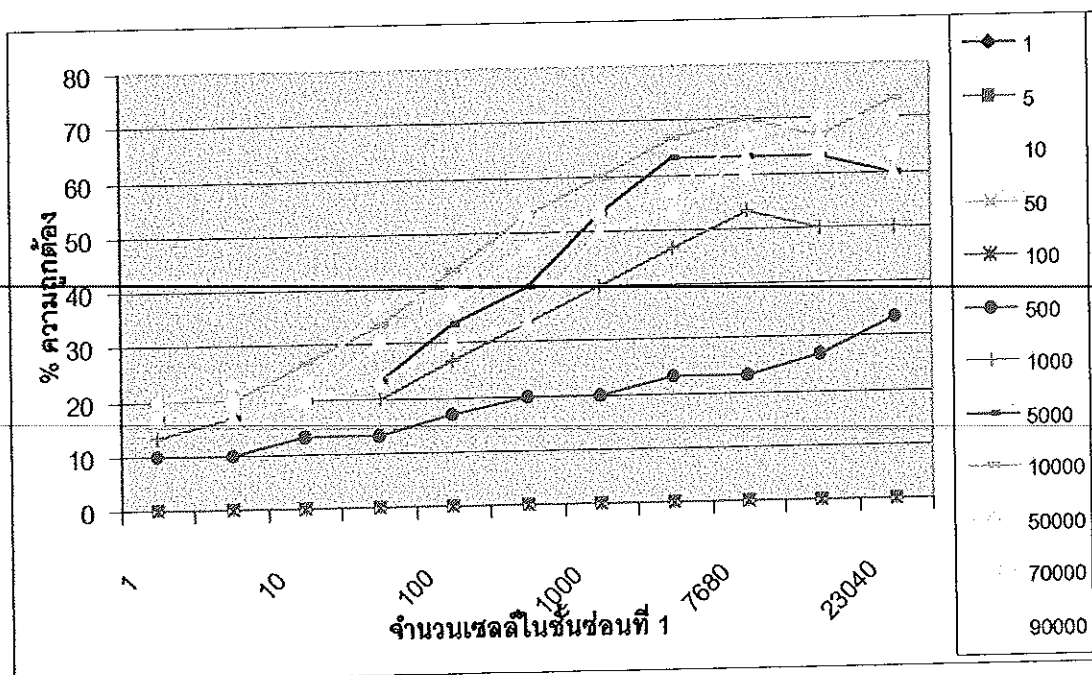
จำนวนเซลล์ ชั้นที่ 1	จำนวนจุดที่ผิดพลาดที่ใช้ในการทดสอบ										
	1	5	10	50	100	500	1000	3840	7680	15360	23040
1	0	0	0	0	0	0	0	0	0	0	0
5	0	0	0	0	0	0	0	0	0	0	0
10	0	0	0	0	0	0	0	0	0	0	0
50	0	0	0	0	0	0	0	0	0	0	0
100	0	0	0	0	0	0	0	0	0	0	0
500	10	13.3	13.3	13.3	16.7	16.7	20	23.3	30	30	30
1000	13.3	16.7	20	20	23.3	23.3	26.7	36.7	43.3	46.7	46.7
5000	16.7	13.3	16.7	23.3	26.7	30	36.7	46.7	53.3	60	60
10000	13.3	20	23.3	30	33.3	43.3	50	60	66.7	70	70
50000	13.3	16.7	23.3	26.7	33.3	43.3	56.7	60	66.7	70	70
70000	13.3	16.7	23.3	30	33.3	46.7	50	53.3	53.3	63.3	63.3
90000	13.3	16.7	20	26.7	26.7	33.3	40	46.7	46.7	53.3	53.3



ภาพประกอบ 5-26 แสดงข้อมูลจากตาราง 5-23 เมื่อนำมาแสดงเป็นกราฟ

ตาราง 5-24 แสดงความถูกต้องในการจำแนกในแบบ 1 ชั้นซ้อน
เมื่อใช้จำนวนจุดผิดพลาดในการเรียนรู้ 50000 พิกเซล
กับลายวงจรมิมพ์ที่ทำการเคลือบแล้ว

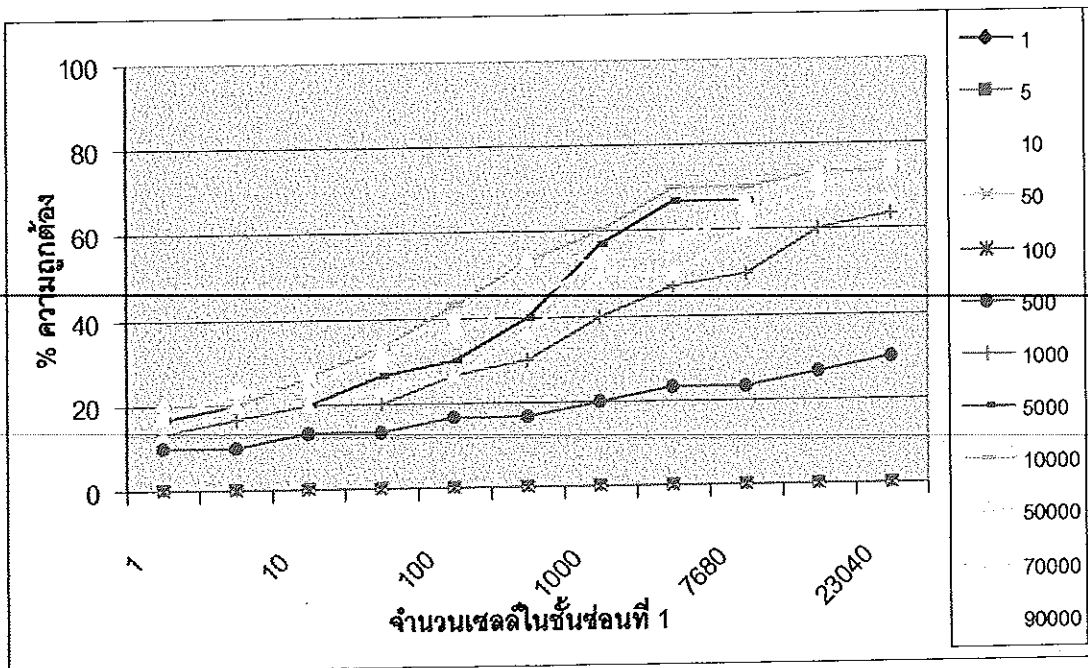
จำนวนเซลล์ ชั้นที่ 1	จำนวนจุดที่ผิดพลาดที่ใช้ในการทดสอบ										
	1	5	10	50	100	500	1000	3840	7680	15360	23040
1	0	0	0	0	0	0	0	0	0	0	0
5	0	0	0	0	0	0	0	0	0	0	0
10	0	0	0	0	0	0	0	0	0	0	0
50	0	0	0	0	0	0	0	0	0	0	0
100	0	0	0	0	0	0	0	0	0	0	0
500	10	10	13.3	13.3	16.7	20	20	23.3	23.3	26.7	33.3
1000	13.3	16.7	20	20	26.7	33.3	40	46.7	53.3	50	50
5000	16.7	16.7	20	23.3	33.3	40	53.3	63.3	63.3	63.3	60
10000	20	20	26.7	33.3	43.3	53.3	60	66.7	70	66.7	73.3
50000	20	23.3	23.3	36.7	40	53.3	53.3	56.7	66.7	70	70
70000	16.7	20	20	30	36.7	46.7	53.3	56.7	60	63.3	63.3
90000	16.7	16.7	20	23.3	30	33.3	50	53.3	63.3	66.7	60



ภาพประกอบ 5-27 แสดงข้อมูลจากตาราง 5-24 เมื่อนำมาแสดงเป็นกราฟ

ตาราง 5-25 แสดงความถูกต้องในการจำแนกในแบบ 1 ชั้นซ้อน
เมื่อใช้จำนวนจุดผิดพลาดในการเรียนรู้ 70000 พิกเซล
กับลายวงจรมิมพ์ที่ทำการ เคลือบแล้ว

จำนวนเซลล์ ชั้นที่ 1	จำนวนจุดที่ผิดพลาดที่ใช้ในการทดสอบ										
	1	5	10	50	100	500	1000	3840	7680	15360	23040
1	0	0	0	0	0	0	0	0	0	0	0
5	0	0	0	0	0	0	0	0	0	0	0
10	0	0	0	0	0	0	0	0	0	0	0
50	0	0	0	0	0	0	0	0	0	0	0
100	0	0	0	0	0	0	0	0	0	0	0
500	10	10	13.3	13.3	16.7	16.7	20	23.3	23.3	26.7	30
1000	13.3	16.7	20	20	26.7	30	40	46.7	50	60	63.3
5000	16.7	20	20	26.7	30	40	56.7	66.7	66.7	73.3	73.3
10000	20	20	26.7	33.3	43.3	53.3	60	70	70	73.3	73.3
50000	20	23.3	23.3	33.3	40	53.3	53.3	56.7	66.7	73.3	76.7
70000	16.7	23.3	26.7	30	36.7	43.3	53.3	56.7	63.3	70	73.3
90000	13.3	20	20	23.3	26.7	36.7	50	50	60	66.7	66.7



ภาพประกอบ 5-28 แสดงข้อมูลจากตาราง 5-25 เมื่อนำมาแสดงเป็นกราฟ

ตาราง 5-28 (ต่อ)

จำนวน เซลล์ชั้นที่ 1	จำนวน เซลล์ชั้นที่ 2	จำนวนจุดที่ผิดพลาดที่ใช้ในการทดสอบ										
		1	5	10	50	100	500	1000	3840	7680	15360	23040
70,000	100	0	0	0	0	0	0	0	0	0	0	0
70,000	500	0	0	0	0	0	0	0	0	0	0	0
70,000	1,000	0	0	0	0	0	0	0	0	0	0	0
70,000	5,000	10	10	10	13.3	16.7	26.7	26.7	30	33.3	36.7	40
70,000	10,000	0	0	0	0	0	0	0	0	0	0	0
70,000	50,000	0	0	0	0	0	0	0	0	0	0	0
70,000	70,000	0	0	0	0	0	0	0	0	0	0	0
70,000	90,000	0	0	0	0	0	0	0	0	0	0	0

จากตารางที่ 5-4 และ 5-25 จะเป็นการแสดงถึงเปอร์เซ็นต์ความถูกต้องของการจำแนก
ลายวงจรมิพระหว่างแบบที่ยังไม่ได้ทำการเคลือบกับแบบที่ได้ทำการเคลือบลายวงจรมิพแล้ว
ในโครงข่ายแบบ 1 ชั้นซ้อน เพื่อให้ในการสังเกตว่ามีความแตกต่างกันหรือไม่ในการจำแนก
ระหว่างลายวงจรมิพที่ยังไม่ได้เคลือบกับลายวงจรมิพที่ทำการเคลือบแล้ว ก็จะสามารถได้ข้อ
สังเกตดังนี้

- ลายวงจรมิพที่ได้เคลือบแล้วจะสามารถจำแนกได้ถูกต้องน้อยกว่าลายวงจรมิพแบบที่ยังไม่ได้เคลือบ

- จำนวนเซลล์ในการจำแนกที่ให้ผลดีที่สุดจะอยู่ในช่วง 10,000 ถึง 50,000 เซลล์

- เมื่อใช้จำนวนพิกเซลความผิดพลาด 1 - 5 จุด ในการเรียนรู้และจำแนกจะมีความถูกต้องในการจำแนกต่ำมากจนถึงไม่สามารถจำแนกได้

จากตารางที่ 5-26 และ 5-28 จะทดลองเฉพาะลายวงจรมิพที่ยังไม่ได้เคลือบ ซึ่งแสดงถึงเปอร์เซ็นต์ความถูกต้องของการจำแนก ในโครงข่ายแบบ 2 ชั้นซ้อน (เนื่องจากในนิเวรอลเน็ตเวอร์กแบบ 1 ชั้นซ้อนได้พบว่าลายวงจรมิพแบบที่ยังไม่ได้เคลือบให้ผลในการจำแนกได้ดีกว่าในแบบที่ทำการเคลือบแล้ว) ซึ่งจะสามารถได้ข้อสังเกตจากการจำแนกดังนี้

- จากตาราง 5-26 จะสามารถจำแนกได้ถูกต้องสูงสุด 73.3 เปอร์เซ็นต์ โดยใช้จำนวนเซลล์ในชั้นที่ 1 และ 2 เป็น 5,000 และ 5,000 ตามลำดับ

- จากตาราง 5-26 ความถูกต้องน้อยที่สุดที่จำแนกได้เป็นศูนย์
- จากตาราง 5-26 เมื่อใช้จำนวนเซลล์ในชั้นซ้อน 500 และ 100 โคจรข่ายจะ

ไม่สามารถดูเข้าได้

- จากตาราง 5-26 เมื่อใช้จำนวนเซลล์ในชั้นซ้อนที่ 2 เป็น 90,000 โคจรข่าย จะไม่สามารถดูเข้าได้

- จากตาราง 5-27 จะสามารถจำแนกได้ถูกต้องสูงสุด 83.3 เปอร์เซ็นต์ โดยใช้จำนวนเซลล์ในชั้นที่ 1 และ 2 เป็น 5,000 และ 5,000 ตามลำดับ

- จากตาราง 5-27 ความถูกต้องน้อยที่สุดที่จำแนกได้เป็น 0 เปอร์เซ็นต์
- จากตาราง 5-27 เมื่อใช้จำนวนเซลล์ในชั้นซ้อน 500 และ 100 โคจรข่ายจะ

ไม่สามารถดูเข้าได้

- จากตาราง 5-27 เมื่อใช้จำนวนเซลล์ในชั้นซ้อนที่ 2 เป็น 70,000 กับ 90,000 โคจรข่ายจะไม่สามารถดูเข้าได้

- จากตาราง 5-28 จะสามารถจำแนกได้ถูกต้องสูงสุด 83.3 เปอร์เซ็นต์ โดยใช้จำนวนเซลล์ในชั้นที่ 1 และ 2 เป็น 5,000 และ 5,000 ตามลำดับ

- จากตาราง 5-28 ความถูกต้องน้อยที่สุดที่จำแนกได้เป็น 3.3 เปอร์เซ็นต์
- จากตาราง 5-28 เมื่อใช้จำนวนเซลล์ในชั้นซ้อน 500 และ 100 ค่าความผิดพลาด

ไม่สามารถดูเข้าได้

- จากตาราง 5-28 เมื่อใช้จำนวนเซลล์ในชั้นซ้อนที่ 2 เป็น 70,000 กับ 90,000 ค่าความผิดพลาดไม่สามารถดูเข้าได้เลย

บทที่ 6

วิจารณ์และสรุป

จากการทดลองใช้นิวรอลเน็ตเวอร์กแบบแพร่กลับแบบ 1 และ 2 ชั้นซ่อน ในการจำแนกลายวงจรมิมพ์ ทำให้ทราบถึงวิธีการทำงานของโครงข่ายและประสิทธิภาพในการทำงานของการจำแนกลายวงจรมิมพ์ สรุปได้ดังนี้

6.1 วิจารณ์และข้อเสนอแนะ

- ในการรับภาพควรคำนึงถึงความสว่างของแสง ต้องให้ความสว่างอย่างเพียงพอ และสม่ำเสมอทั้งภาพ เพื่อให้ข้อมูลภาพลายวงจรมิมพ์ในการป้อนเข้านิวรอลเน็ตเวอร์ก สมบูรณ์ที่สุด

- การทำ thresholding, brightness และ contrast มีความสำคัญ ซึ่งถ้าปรับได้ดี ก็จะสามารถให้ผลในการจำแนกดีตามไปด้วย ถ้ามีอัลกอริทึมที่เป็นอัตโนมัติก็จะสามารถทำการจำแนกได้เร็วมากขึ้นไปอีก

6.2 สรุป

- นิวรอลเน็ตเวอร์กแบบ 2 ชั้นซ่อนจะให้ผลการจำแนกถูกต้องที่สุด
- เมื่อใช้จุดผิดพลาดในการเรียนรู้มากกว่า 15360 จุดขึ้นไป จะให้ค่าความถูกต้องในการจำแนกที่ดี

- นิวรอลเน็ตเวอร์กแบบ 1 ชั้นซ่อน เมื่อใช้จำนวนเซลล์ 10000 – 50000 เซลล์จะให้ความถูกต้องในการจำแนกสูงที่สุด

- นิวรอลเน็ตเวอร์กแบบ 2 ชั้นซ่อน เมื่อใช้จำนวนเซลล์ในชั้นซ่อนที่ 1 และ 2 คือ 5000 และ 5000 เซลล์ตามลำดับ จะให้ความถูกต้องในการจำแนกสูงที่สุด

บรรณานุกรม

บทความจากวารสาร

Iren, Valova. 1995. "Image Decomposition by Answer-in-Weights Neural Network",
IEICE TRANS. INF. & SYST. (September, 1995), E79-D9

Jain, Anil K. 1996. "Object Matching Using Deformable Templates", IEEE
TRANS on Pattern Analysis and Machine Intelligence, (Mar. 1996), Vol.
18, No. 3, 267-278

Kosugi, Yukio. 1997. "Definition of Artificial Neural Networks", Basis of Neural
Networks, Tokyo : Interdisciplinary Graduate School of Science and
Engineering Tokyo Institute of Technology, 1997, 2-15.

วิทยานิพนธ์

จรรยา ไชยนิติก. 2542. "เครื่องตรวจขวดอัตโนมัติ (Automatic Bottle Inspecting Machine)".
วิทยานิพนธ์วิศวกรรมศาสตรมหาบัณฑิต สาขาวิชาวิศวกรรมไฟฟ้า คณะวิศวกรรม
ศาสตร์ มหาวิทยาลัยสงขลานครินทร์. (สำเนา)

Books

Craig, Lindley. 1991. Practical Image Processing In C. 1st ed. Toronto :
John Wiley & Sons. Inc.,

Fausett, Laurence V. 1994. Fundamentals of Neural Networks. Englewood Cliffs,
New Jersey : Prentice-Hall, Inc.,

- Freeman, James A. 1994. Simulating Neural Networks. Atlanta : Addison – Wesley Publishing Company, Inc.,
- Gottfried, Byron S. 1990. Schaum's Theory and Problems of Programming with C Outline Series. Newyork : McGraw-Hill, Inc.,
- Harley, R. Myler and Arthur R. Weeks. 1993. The Pocket Handbook of Imaging Processing Algorithms in C. Englewood Cliffs, New Jersey : PTR Prentice Hall, Inc.,
- Ioannis, Pitas. 1993. Digital Image Processing Algorithms. Englewood Cliffs, New Jersey: Prentice-Hall, Inc.,
- Kulkarni, A. D. 1994. Artificial Neural Networks for Image Understanding. Newyork : Van Nostrand Reinhold.
- Marilyn, McCord Nelson and W.T. Illingworth. 1991. A Partial Guide To Neural Nets. Atlanta : Addison – Wesley Publishing Company, Inc.,
- Michael, Chester. 1993. NEURAL NETWORKS A Tutorial. Englewood Cliffs, New Jersey : Prentice-Hall, Inc.,
-
- Rimmer, Steve. 1993. Windows Bitmapped Graphics. Newyork : McGraw-Hill, Inc.,
-
- Tager, Ranold R. and Zadeh, Lofti A. 1994. Fuzzy Sets, Neural Networks and Soft Computing. Newyork : Van Nostrand Reinhold.
- Veelenturf, L.P.J. 1995. Analysis and Applications of Artificial Neural Networks. Englewood Cliffs, New Jersey : Prentice-Hall, Inc.,

มนตรี พจนารถลาวัฒน์. 2540. การเขียนโปรแกรมคอมพิวเตอร์ด้วยเทอร์โบซี. กรุงเทพฯ :
บริษัทซีเอ็ดยูเคชั่นจำกัด (มหาชน)

ภาคผนวก

ภาคผนวก ก

โปรแกรมการทำงานในส่วนต่างๆ ของนิวยอร์กเน็ตเวิร์ก

```
#include<string.h>
#include<stdio.h>
#include<dos.h>
#include<alloc.h>
#include<conio.h>
#include<math.h>
#include<stdlib.h>
#include<stdarg.h>
```

```
typedef struct {
    char    id[2];
    long    filesize;
    int     reserve[2];
    long    headersize;
    long    infosize;
    long    width;
    long    depth;
    int     biplanes;
    int     bits;
    long    biCompression;
    long    biSizeImage;
    long    biXPelsPerMeter;
    long    biYPelsPerMeter;
    long    biClrUsed;
    long    ClrImportant;
} BMPHEAD;

BMPHEAD bmp;

char *buffer = NULL;

int width,depth,bytes,bits,h,i,j,k,l,count;

int k1, k2, k3, k4, k5, k6;

long int kk, errt, error;
```

```

int no_hid, no_hidt, no_hidb, no_hidup, no_help, pic, pictu;
unsigned char * image[321];
float image1[41][321];
float wp, iisum, iwsum, sumk, n, error, err, alpha;
float past, past1, past2, past3;
float yk, tk, sk[6], del[6], delt[6][80000], dj[6][80000], bias[6];
char buff[10];
double pat;
int tar[10];
int no_file, node[7], w[7];
int target[100] = {1, 1, 0, 0};

```

```
// Transfer Function Log Sigmoid
```

```
double Logsig(float n);
```

```
void main(void){
```

```

FILE *fp;           FILE *hp;
FILE *hid1;         FILE *hid2;
FILE *hid3;         FILE *hid4;         FILE *hid5;
FILE *s1;           FILE *s2;           FILE *s3;
FILE *s4;           FILE *s5;           FILE *s6;
FILE *hidc1;        FILE *hidc2;        FILE *hidc3;
FILE *hidc4;        FILE *hidc5;

```

```

no_hid = 1;         /* Number of hidden layer */
node[1] = 5;        /* Number of node in first layer */
node[2] = 3;        /* Number of node in second layer */
node[3] = 4;        /* Number of node in third layer */
node[4] = 2;        /* Number of node in fourth layer */
node[5] = 3;        /* Number of node in fifth layer */
node[6] = 1;        /* Number of node in sixth layer */

```

```

pic = 3;          /* Number image to train */

clrscr();

for (pictu=0; pictu<pic; pictu++){
    // Open Image file from *.BMP
    printf("%s",listfile[pictu]);
    if((fp = fopen(listfile[pictu],"rb")) == NULL){
        printf("error in open file\n");
        exit(1);
    }
    fread(&bmp,sizeof bmp,1,fp);
    width = (int)bmp.width;
    depth = (int)bmp.depth;

    printf("\nwidth = %5d : depth = %5d header_size = %5d\n", width, depth, bmp.headersize);
    printf("\nbits = %5d : bitplans = %5d\n", bmp.bits, bmp.biplanes);

    fseek(fp,(long)bmp.headersize,SEEK_SET);

    /* OPEN FILE TO COLLECT DATA OF IMAGE */
    if((s1 = fopen("c:\\ang\\turboc\\s1.nn","wb+")) == NULL){
        printf("error in open file s1\n");
        exit(1);
    }
    past = 1;

    fwrite(&past,sizeof(float), 1, s1);
    printf("%f\n", past);

    for (j=0; j<depth; j++){
        for (i=0; i<width; i++){

```



```

    fgetc(fp);
    past = fgetc(fp);
    printf("%f",past);
    past = past / 255;
    printf("%f\n", past);
    fwrite(&past,sizeof(float),1,s1);
    fgetc(fp);
    fgetc(fp);
}
}
fclose(fp);
fclose(s1);

```

```

/*****

```

```

/* To insert Image Processing here */

```

```

*****/

```

```

    if((s1 = fopen("c:\\lang\\turbo\\s1.nn","rb")) == NULL){
        printf("error in open file s1\n");
        exit(1);
    }

```

```

for (i=0; i<((width*depth)+1); i++){

```

```

    fread(&past,4,1,s1);

```

```

    ss[pictu][i] = past ;

```

```

    printf("%8.6f", past);

```

```

}

```

```

fclose(s1);

```

```

} //finish for read picture and transform to array ss[pictu][i]

```

```

// start small value for initial weight by random value
randomize();

// THE No. OF WEIGHT IN 1_st HIDDEN LAYER is node[1]
if((hid1 = fopen("c:\\lang\\turbo\\h1.nn", "wb+")) == NULL){
    printf("error in open file h1\n");
    exit(1);
}
node[1] = (width * depth) + 1;
k1 = node[1] * node[2];
for (i=0; i<k1; i++){
    past = random (100);
    past = past/100;
    fwrite(&past, sizeof(float), 1, hid1);
    printf("%f\n", past);
}
fclose(hid1);
if (no_hid == 1) goto train;

/* THE No. OF WEIGHT IN 2_nd HIDDEN LAYER is node[2] */
if((hid2 = fopen("c:\\lang\\turbo\\h2.nn", "wb+")) == NULL){
    printf("error in open file h2\n");
    exit(1);
}
k1 = (node[2] + 1) * node[3];
for (i=0; i<k1; i++){
    past = random (100);
    past = past/100;
    fwrite(&past, sizeof(float), 1, hid2);
}
fclose(hid2);

```

```
if (no_hid == 2) goto train;
```

```
/* THE No. OF WEIGHT IN 3_rd HIDDEN LAYER is node[3] */
```

```
if((hid3 = fopen("c:\\lang\\turboc\\h3.nn","wb+")) == NULL){
```

```
    printf("error in open file h3\n");
```

```
    exit(1);
```

```
}
```

```
k1 = (node[3] + 1) * node[4] ;
```

```
for (i=0; i<k1; i++){
```

```
    past = random (100);
```

```
    past = past/100;
```

```
    fwrite(&past,sizeof(float),1,hid3);
```

```
}
```

```
fclose(hid3);
```

```
if (no_hid == 3) goto train;
```

```
/* THE No. OF WEIGHT IN 4_th HIDDEN LAYER is node[4] */
```

```
if((hid4 = fopen("c:\\lang\\turboc\\h4.nn","wb+")) == NULL){
```

```
    printf("error in open file h4\n");
```

```
    exit(1);
```

```
}
```

```
k1 = (node[4] + 1) * node[5] ;
```

```
for (i=0; i<k1; i++){
```

```
    past = random (100);
```

```
    past = past/100;
```

```
    fwrite(&past,sizeof(float),1,hid4);
```

```
}
```

```
fclose(hid4);
```

```
if (no_hid == 4) goto train;
```

```

/* THE No. OF WEIGHT IN 5_th HIDDEN LAYER is node[5] */
    if((hid5 = fopen("c:\\lang\\turbo\\h5.nn","wb+")) == NULL){
        printf("error in open file h5\n");
        exit(1);
    }
    k1 = (node[5] + 1) * node[6];
    for (i=0; i<k1; i++){
        past = random (100);
        past = past/100;
        write(&past,sizeof(float),1,hid5);
    }
    fclose(hid5);
    if (no_hid == 5) goto train;

/*****
/* TO TRAIN NEURAL NETWORK */
/*****
train: printf("\nSTART TO TRAIN\n");

count = 0;
do {

for(pictu=0; pictu<pic; pictu++){
    count += 1,

if((hid1 = fopen("c:\\lang\\turbo\\h1.nn","rb+")) == NULL){
    printf("\nError in open file h1_train\n");
    exit(1);}
if((s2 = fopen("c:\\lang\\turbo\\s2.nn","wb+")) == NULL){
    printf("\nError in open file\n");
    exit(1);}

```

```

past = 1 ;
fwrite(&past,sizeof(float),1,s2);
for (i=0; i<node[2]; i++){
    sumk = 0;
    for (j=0; j<(node[1]); j++){
        fread(&past1 , 4, 1, hid1);
        sumk += ss[pictu][j] * past1;
    }
    past = Logsig(sumk);
    fwrite(&past,sizeof(float),1,s2);
}
fclose(hid1);
fclose(s2);
if (no_hid == 1) goto back1;

if((hid2 = fopen("c:\\lang\\turbo\\h2.nn","rb+")) == NULL){
    printf("\nError in open file\n");
    exit(1);}
if((s3 = fopen("c:\\lang\\turbo\\s3.nn","wb+")) == NULL){
    printf("\nError to open file\n");
    exit(1);}
past = 1 ;
fwrite(&past,sizeof(float),1,s3);
for (i=0; i<node[3]; i++){
    if((s2 = fopen("c:\\lang\\turbo\\s2.nn","rb+")) == NULL){
        printf("\nError to open file\n");
        exit(1); }

    sumk = 0;
    for (j=0; j<(node[2]+1); j++){
        fread(&past, 4, 1, s2);
        fread(&past1, 4, 1, hid2);

```

```
    sumk += past * past1 ;
}
fclose(s2);
past = Logsig(sumk);
fwrite(&past,sizeof(float),1,s3);
}
fclose(hid2);
fclose(s3);
if (no_hid == 2) goto back2;

if((hid3 = fopen("c:\\lang\\turbo\\h3.nn","rb+")) == NULL){
    printf("\nError in open file\n");
    exit(1);
}
if((s4 = fopen("c:\\lang\\turbo\\s4.nn","wb+")) == NULL){
    printf("\nError to open file\n");
    exit(1);
}
past = 1 ;
fwrite(&past,sizeof(float),1,s4);
for (i=0; i<node[4] ; i++){
    if((s3 = fopen("c:\\lang\\turbo\\s3.nn","rb+")) == NULL){
        printf("\nError to open file\n");
        exit(1);
    }
    sumk = 0;
    for (j=0; j<(node[3]+1); j++){
        fread(&past, 4, 1, s3);
        fread(&past1, 4, 1, hid3);
        sumk += past * past1 ;
    }
}
```

```

fclose(s3);
past = Logsig(sumk);
fwrite(&past,sizeof(float),1,s4);
}
fclose(hid3);
fclose(s4);
if (no_hid == 3) goto back3;

if((hid4 = fopen("c:\\lang\\turbo\\h4.nn","rb+")) == NULL){
    printf("\nError in open file\n");
    exit(1);
}
if((s5 = fopen("c:\\lang\\turbo\\s5.nn","wb+")) == NULL){
    printf("\nError to open file\n");
    exit(1);
}
past = 1 ;
fwrite(&past,sizeof(float),1,s5);
for (i=0; i<node[5] ; i++){
    if((s4 = fopen("c:\\lang\\turbo\\s4.nn","rb+")) == NULL){
        printf("\nError to open file\n");
        exit(1);
    }
    sumk = 0;
    for (j=0; j<(node[4]+1); j++){
        fread(&past, 4, 1, s4);
        fread(&past1, 4, 1, hid4);
        sumk += past * past1 ;
    }
    fclose(s4);
    past = Logsig(sumk);

```

```

    fwrite(&past,sizeof(float),1,s5);
}
fclose(hid4);
fclose(s5);
if (no_hid == 4) goto back4;
if((hid5 = fopen("c:\\lang\\turbo\\h5.nn","rb+")) == NULL){
    printf("\nError in open file\n");
    exit(1);
}
if((s6 = fopen("c:\\ang\\turbo\\s6.nn","wb+")) == NULL){
    printf("\nError to open file\n");
    exit(1);
}
for (i=0; i<node[6] ; i++){
    if((s5 = fopen("c:\\ang\\turbo\\s5.nn","rb+")) == NULL){
        printf("\nError to open file\n");
        exit(1);
    }
    sumk = 0;
    for (j=0; j<(node[5]+1); j++){
        fread(&past, 4, 1, s5);
        fread(&past1 ,4, 1, hid5);
        sumk += past * past1;
    }
    fclose(s5);
    past = Logsig(sumk);
    fwrite(&past,sizeof(float),1,s6);
}
fclose(hid5);
fclose(s6);
if (no_hid == 5) goto back5;

```



```

/*****
/*  BACK PROPAGATION  */
/*****
/*****
/*  Back propagation 3 layers  */
/*****

back3:

    if((s4 = fopen("c:\\lang\\turbo\\s4.nn","rb")) == NULL){
        printf("\nError to open file 1\n");
        exit(1);}
    if((hidc3 = fopen("c:\\lang\\turbo\\hc3.nn","wb+")) == NULL){
        printf("\nError to open file 3\n");
        exit(1);}

    fread(&past, 4, 1, s4);
    err = target[pictu] - past;
    del[4] = err * past * (1 - past);
    for (k=1; k<=node[4]; k++){
        if((s3 = fopen("c:\\lang\\turbo\\s3.nn","rb")) == NULL){
            printf("\nError to open file s3.nn\n");
            exit(1); }
        for (j=0; j<=node[3]; j++){
            fread(&past, 4, 1, s3);

            past = alpha * del[4] * past ; /* for weight and bias layer 3 */
            fwrite(&past,sizeof(float),1,hidc3);
        }
        fclose(s3);
    }
    fclose(s4);
    fclose(hidc3);

// End change hidc3

```

```
//BPN 2
```

```

for(j=0; j<node[3]; j++){
  if((hid3 = fopen("c:\\lang\\turbo\\h3.nn","rb")) == NULL){
    printf("\nError in open file\n");
    exit(1); }
  fread(&past,4,(1+j),hid3);
  sumk = 0;
  for (h=0; h<node[4]; h++){
    fread(&past,4,1,hid3);
    sumk += dell[4][h] * past;
    fseek(hid3,(4*node[3]),SEEK_CUR);
  }
  dell[3][j] = sumk;
  fclose(hid3);
}

if((s3 = fopen("c:\\lang\\turbo\\s3.nn","rb")) == NULL){
  printf("\nError to open file\n");
  exit(1); }
for (j=0; j<node[3]; j++){
  fread(&past, 4, 1, s3);
  dell[3][j] = dell[3][j] * past * (1 - past);
}
fclose(s3);

```

```

if((hidc2 = fopen("c:\\lang\\turbo\\hc2.nn","wb+")) == NULL){
  printf("\nError in open file\n");
  exit(1);}
for (h=0; h<node[3]; h++){

```

```

if((s2 = fopen("c:\\lang\\turbo\\s2.nn","rb")) == NULL){
    printf("\nError to open file\n");
    exit(1);}
for (j=0; j<=node[2]; j++){
    fread(&past,4,1,s2);
    past1 = alpha * del[3][h] * past;
    fwrite(&past1,sizeof(float),1,hidc2);
}
fclose(s2);
}
fclose(hidc3);
// End change hidc2

//BPN 1

for(j=0; j<node[2]; j++){
if((hid2 = fopen("c:\\lang\\turbo\\h2.nn","rb")) == NULL){
    printf("\nError in open file\n");
    exit(1); }
fread(&past,4,(1+j),hid2);
sumk = 0;
for (h=0; h<node[3]; h++){
    fread(&past,4,1,hid2);

sumk += del[3][h] * past;
    fseek(hid2,(4*node[2]),SEEK_CUR);
}

del[2][j] = sumk;
    fclose(hid2);
}

if((s2 = fopen("c:\\lang\\turbo\\s2.nn","rb")) == NULL){

```

```

printf("\nError to open file\n");
exit(1); }
for (j=0; j<node[2]; j++){
    fread(&past, 4, 1, s2);
        delt[2][j] = dell[2][j] * past * (1 - past);
    }
fclose(s2);

if((hidc1 = fopen("c:\\Wang\\turboc\\hc1.nn", "wb+")) == NULL){
    printf("\nError in open file \n");
    exit(1);}
for (h=0; h<node[2]; h++){
    if((s1 = fopen("c:\\Wang\\turboc\\s1.nn", "rb")) == NULL){
        printf("\nError to open file\n");
        exit(1); }
    for (j=0; j<=node[1]; j++){
        fread(&past, 4, 1, s1);
        past1 = alpha * dell[3][h] * past;
        fwrite(&past1, sizeof(float), 1, hidc1);
    }
    fclose(s1);
}
fclose(hidc1);

goto Upweight;
// End change hidc1

```

```

/*****/
/* Back propagation 2 layers */
/*****/

```

```
back2:
```

```

if((s3 = fopen("c:\\lang\\turbo\\s3.nn","rb")) == NULL){
    printf("\nError to open file 1\n");
    exit(1);}
if((hidc2 = fopen("c:\\lang\\turbo\\hc2.nn","wb+")) == NULL){
    printf("\nError to open file 3\n");
    exit(1);}
fread(&past, 4, 1, s3);
err = target[pictu] - past;
del[3] = err * past * (1 - past);

for (k=1; k<=node[3]; k++){
    if((s2 = fopen("c:\\lang\\turbo\\s2.nn","rb")) == NULL){
        printf("\nError to open file s2.nn\n");
        exit(1); }
    for (j=0; j<=node[2]; j++){
        fread(&past, 4, 1, s2);
        past = alpha * del[3] * past ; /* for weight and bias layer 2 */
        fwrite(&past,sizeof(float),1,hidc2);
    }
    fclose(s2);
}
fclose(s3);
fclose(hidc2);

```

```
// End change hidc2
```

```
//BPN 1
```

```

for(j=0; j<node[2]; j++){
if((hid2 = fopen("c:\\lang\\turbo\\h2.nn","rb")) == NULL){
    printf("\nError in open file\n");
    exit(1); }

```

```

fread(&past,4,(1+j),hid2);
sumk = 0;
    for (h=0; h<node[3]; h++){
        fread(&past,4,1,hid2);
        sumk += delt[3][h] * past;
        fseek(hid2,(4*node[2]),SEEK_CUR);
    }
delt[2][j] = sumk;
    fclose(hid2);
}

if((s2 = fopen("c:\\lang\\turbo\\s2.nn","rb")) == NULL){
printf("\nError to open file\n");
exit(1); }
for (j=0; j<node[2]; j++){
    fread(&past, 4, 1, s2);
        delt[2][j] = delt[2][j] * past * (1 - past);
    }
fclose(s2);

if((hidc1 = fopen("c:\\lang\\turbo\\hc1.nn","wb+")) == NULL){
    printf("\nError in open file\n");
    exit(1);}

for (h=0; h<node[2]; h++){
    if((s1 = fopen("c:\\lang\\turbo\\s1.nn","rb")) == NULL){
        printf("\nError to open file\n");
        exit(1); }
    for (j=0; j<=node[1]; j++){
        fread(&past, 4, 1, s1);
        past1 = alpha * delt[3][h] * past;
        fwrite(&past1,sizeof(float),1,hidc1);
    }
}

```

```

}
fclose(s1);
}
fclose(hidc1);
goto Upweight;
// End change hidc1

/*****/
/* Back propagation 1 layer */
/*****/

back1:

if((s2 = fopen("c:\\Wang\\turboc\\s2.nn","rb")) == NULL){
    printf("\nError to open file \n");
    exit(1);}
if((hidc1 = fopen("c:\\Wang\\turboc\\hc1.nn","wb+")) == NULL){
    printf("\nError to open file \n");
    exit(1);}

fread(&past, 4, 1, s2);
err = target[pictu] - past;
del[2] = err * past * (1 - past);

for (k=1; k<=node[2]; k++){
    if((s1 = fopen("c:\\Wang\\turboc\\s1.nn","rb")) == NULL){
        printf("\nError to open file s1.nn\n"); exit(1); }
    for (j=0; j<=node[1]; j++){
        fread(&past, 4, 1, s1);
        past = alpha * del[2] * past ; /* for weight and bias layer 1 */
        fwrite(&past,sizeof(float),1,hidc1);
    }
    fclose(s1);
}

```

```

    }
    fclose(s2);
    fclose(hidc1);
goto Upweight;
// End change hidc1

/*****/
/* FEED FORWARD TO UPDATE WEIGHT */
/*****/

Upweight:

/* UPDATE WEIGHT LAYER 1 */
    hid1 = fopen("c:\\lang\\turboc\\h1.nn","rb+");
    hidc1 = fopen("c:\\lang\\turboc\\hc1.nn","rb");
    hp = fopen("c:\\lang\\turboc\\hp.nn","wb+");
    for (i=0; i<(node[1]*node[2]); i++){
        fread(&past,4,1,hidc1);
        fread(&past1,4,1,hid1);
        past1 = past1 + past;
        fwrite(&past1,sizeof(float),1,hp);
    }
    fclose(hidc1);

fclose(hid1);
fclose(hp);
hid1 = fopen("c:\\lang\\turboc\\h1.nn","wb+");
hp = fopen("c:\\lang\\turboc\\hp.nn","rb+");
for (i=0; i<((node[1]+1)*node[2]); i++){
    fread(&past,4,1,hp);
    past1 = past;
    fwrite(&past1,sizeof(float),1,hid1);

```



```

}
fclose(hid1);
fclose(hp);
if (no_hid == 1) goto final;

```

```
/* UPDATE WEIGHT LAYER 2 */
```

```

hidc2 = fopen("c:\\lang\\turbo\\hc2.nn","rb");
hid2 = fopen("c:\\lang\\turbo\\h2.nn","rb+");
hp = fopen("c:\\lang\\turbo\\hp.nn","wb+");
for (i=0; i<((node[2]+1)*node[3]); i++){
    fread(&past,4,1,hidc2);
    fread(&past1,4,1,hid2);
    past1 = past1 + past;
    fwrite(&past1,sizeof(float),1,hp);
}

```

```

fclose(hidc2);
fclose(hid2);
fclose(hp);
hid2 = fopen("c:\\lang\\turbo\\h2.nn","wb+");
hp = fopen("c:\\lang\\turbo\\hp.nn","rb+");
for (i=0; i<((node[2]+1)*node[3]); i++){
    fread(&past,4,1,hp);
    past1 = past;

```

```

    fwrite(&past1,sizeof(float),1,hid2);

```

```

}
fclose(hid2);

```

```

fclose(hp);
if (no_hid == 2) goto final;

```

```
/* UPDATE WEIGHT LAYER 3 */
```

```

hidc3 = fopen("c:\\lang\\turbo\\hc3.nn","rb");

```

```

hid3 = fopen("c:\\lang\\turboc\\h3.nn","rb+");
hp = fopen("c:\\lang\\turboc\\hp.nn","wb+");
for (i=0; i<((node[3]+1)*node[4]); i++){
    fread(&past,4,1,hid3);
    fread(&past1,4,1,hid3);
    past1 = past1 + past;
    fwrite(&past1,sizeof(float),1,hp);
}
fclose(hid3);
fclose(hid3);
fclose(hp);
hid3 = fopen("c:\\lang\\turboc\\h3.nn","wb+");
hp = fopen("c:\\lang\\turboc\\hp.nn","rb+");
for (i=0; i<((node[3]+1)*node[4]); i++){
    fread(&past,4,1,hp);
    past1 = past;
    fwrite(&past1,sizeof(float),1,hid3);
}
fclose(hid3);
fclose(hp);
if (no_hid == 3) goto final;

```

final:

```

printf("\nround = %d  err = %f",count,err);
}

```

```

} while (err > error);

```

```

printf("\n%d",count);

```

```

getch();

```

```

}          /* THE END MAIN OF FILE */

```

```
/* Transfer function Logsig */
```

```
double Logsig(float n)
```

```
{
```

```
return(1/(1+exp(-n)));
```

```
}
```

ภาคผนวก ข
ศัพท์บัญญัติ

ศัพท์บัญญัติ

ภาษาอังกฤษ	ภาษาไทย
axon	=> ส่วนที่อยู่ระหว่าง cell body กับ synaptic transmission ดังภาพประกอบ 3-1 หน้า 13
backpropagation	=> การแพร่กลับ
brightness correction	=> การปรับค่าความสว่างภาพในภาพ
chain rule	=> กฎลูกโซ่
contrast correction	=> การปรับค่าความต่างกันภาพในภาพ
dendrites	=> ส่วนที่รับสัญญาณเข้าของเซลล์ประสาท
feed forward	=> การส่งค่าไปข้างหน้า
gray scall	=> ระดับเทา
hidden layer	=> ชั้นซ่อน
histogram	=> การแสดงจำนวนพิกเซลว่าที่ระดับเทาค่าหนึ่งมีจำนวนกี่พิกเซล
input layer	=> ชั้นที่รับข้อมูลเข้า
interconnection	=> การเชื่อมต่อกันภายใน
matrix	=> เมตริกซ์
neural network	=> นิวรอลเน็ตเวิร์ก, โครงข่ายประสาท
neuron, nerve cells	=> นิวรอน หรือ เซลล์ประสาท
output layer	=> ชั้นที่ส่งข้อมูลออก
pixel	=> จุดข้อมูลภาพ
segmentation	=> การแบ่งภาพ
synapse	=> ส่วนที่เป็นรอยต่อระหว่างเซลล์ประสาทสองเซลล์
transfer function	=> ฟังก์ชันโอนย้าย

ประวัติผู้เขียน

ชื่อ นายยุทธชัย นิลแพทย์
วัน เดือน ปี เกิด 12 กันยายน 2515
วุฒิการศึกษา

วุฒิ	ชื่อสถาบัน	ปีที่สำเร็จการศึกษา
วิศวกรรมศาสตรบัณฑิต (สาขาวิศวกรรมอิเล็กทรอนิกส์)	มหาวิทยาลัยเทคโนโลยีมหานคร	2536